

**PERAMALAN JUMLAH PENUMPANG DARI PELAYARAN DALAM
NEGERI DI PELABUHAN KOTA MAKASSAR MENGGUNAKAN
METODE *SEASONAL AUTOREGRESSIVE INTEGRATED MOVING
AVERAGE (SARIMA)***



SKRIPSI

*Diajukan untuk Memenuhi Salah Satu Syarat untuk Meraih Gelar S.Si
Jurusan Matematika Fakultas Sains dan Teknologi
UIN Alauddin Makassar*

Oleh :

WAHIDA YANTI MOH. NASIR

60600111071

**JURUSAN MATEMATIKA
FAKULTAS SAINS DAN TEKNOLOGI
UNIVERSITAS ISLAM NEGERI ALAUDDIN
MAKASSAR
2015**

PENGESAHAN SKRIPSI

Skripsi yang berjudul “Peramalan Jumlah Penumpang dari Pelayaran Dalam Negeri di Pelabuhan Kota Makassar Menggunakan Metode Seasonal Autoregressive Integrated Moving Average (SARIMA)”, yang disusun oleh saudari **WAHIDA YANTI MOH. NASIR**, Nim: **60600111071** Mahasiswa Jurusan Matematika pada Fakultas Sains dan Teknologi Universitas Islam Negeri (UIN) Alauddin Makassar, telah diuji dan dipertahankan dalam sidang *munaqasyah* yang diselenggarakan pada hari Jumat tanggal **21 Agustus 2015 M**, bertepatan dengan **06 Dzulkaidah 1436 H**, dinyatakan telah dapat diterima sebagai salah satu syarat untuk memperoleh gelar Sarjana Sains (S.Si.).

Makassar, 21 Agustus 2015 M
06 Dzulkaidah 1436 H

DEWAN PENGUJI

Ketua : Prof. Dr. H. Arifuddin Ahmad, M.Ag. (.....)
Sekretaris : Khalilah Nurfadilah, S.Si., M.Si. (.....)
Munaqisy I : Irwan, S.Si., M.Si. (.....)
Munaqisy II : Ermawati, S.Pd., M.Si. (.....)
Munaqisy III : Dr. Hasyim Haddade, S.Ag., M.Ag. (.....)
Pembimbing I : Try Azisah Nurman, S.Pd., M. Pd. (.....)
Pembimbing II : Faihatuz Zuhairoh, S.Si., M. Sc. (.....)

Diketahui oleh:

Dekan Fakultas Sains dan Teknologi
UIN Alauddin Makassar

Prof. Dr. H. Arifuddin Ahmad, M.Ag.
Nip. 19691205 199303 1 001

SURAT PERNYATAAN KEASLIAN SKRIPSI

Saya yang bertanda tangan dibawah ini:

Nama : Wahida Yanti Moh. Nasir
NIM : 60600111071
Fakultas/ Jurusan : Sains dan Teknologi/ Matematika
Judul Skripsi : Peramalan Jumlah Penumpang dari Pelayaran dalam Negeri di Pelabuhan Kota Makassar Menggunakan Metode *Seasonal Autoregressive Integrated Moving Average*

Menyatakan engan sebenar-benarnya bahwa skripsi ini tidak terapat karya yang pernah diajukan untuk memperoleh gelar kesarjanaan di suatu Perguruan Tinggi, dan sepanjang sepengetahuan saya juga tidak terdapat karya atau pendapat yang pernah ditulis atau diterbitkan oleh orang lain, kecuali yang secara tertulis diacu dalam naskah ini dan disebutkan dalam daftar pustaka.

Makassar, Agustus 2015

Mahasiswa,

Wahida Yanti Moh. Nasir

NIM. 60600111071

MOTTO

“Sesungguhnya sesudah kesulitan itu ada kemudahan, maka apabila kamu telah selesai (dari suatu urusan) kerjakanlah dengan sungguh-sungguh (urusan) yang lain. Dan hanya kepada Rabb-mulah hendaknya kamu berharap”.

(Q.S Al-Insyirah: 6-8)

“Bedoalah kamu kepada Rabb-mu dengan rendah diri dan suara yang lembut. Sesungguhnya Allah tidak menyukai orang-orang yang melampaui batas”.

(Q.S Al-Mu'min: 60)

Kurangnya kemampuan bukan alasan untuk keberhasilan, kesungguhan penuh semangat adalah modal keberhasilan

PERSEMBAHAN

Aku persembahkan karya ini kepada-Mu ya Allah,
terima kasih telah menitipkanku kepada kedua orang tua yang dengan
penuh kasih sayangnya telah membesarkanku, yang selalu berdoa untuk

kesuksesanku,

orang tua yang selalu meridhoi jalan ku pilih.

Karena ridhonya adalah ridho-Mu sang penguasa segala hal...

Aku persembahkan kepada Kakek dan Nenek yang bermimpi

dan berharap anak-anaknya menjadi sarjana.

"Jika anakmu tidak mampu, biarkanlah cucumu yang mengabdikan

mimpimu"...

Kepada seluruh keluarga besarku, sahabat-sahabat yang selalu

memberikan doa, dukungan dan motivasi...

Almamater kebanggaanku terkhusus Fakultas Sains dan Teknologi

Universitas Islam Negeri Alauddin Makassar..

Kepada calon suami yang akan menjadi imam dan pemimpin dalam keluarga

kecilku,

yang akan selalu membahagiakanku, menyayangi, dan menjagaku,

yang selalu ada dalam suka dan dukaku.

KATA PENGANTAR

Segala puji dan syukur bagi Allah SWT Tuhan semesta alam atas segala limpahan ramhat dan kasih sayang-Nya. Atas ridho Allah lah sehingga tulisan ini dapat terselesaikan. Sholawat serta salam senantiasa tercurah kepada uswatun khasanah seluruh umat Muhammad SAW, pembawa risalah kebenaran, pembawa obor penerag kehidupan.

Skripsi ini dimaksudkan untuk memperoleh gelar sarjana Sains (Matematika). Skripsi ini berisi tentang pembahasan deret waktu dengan data musiman, seperti yang disajikan dalam bab empat.

Keberhasilan dalam penulisan skripsi ini tidak lepas dari bantuan, arahan, bimbingan, dan dukungan berbagai pihak. Terkhusus untuk Bapak dan Mama tersayang Moh. Nasir dan Hj. Darnawati, yang selama ini selalu memberikan semangat, dukungan dan yang terpenting adalah doa restu untuk mencapai kesuksesan. Selain itu penulis menyampaikan rasa hormat dan terima kasih yang sebesar-besarnya kepada:

1. Dr. Muhammad Khalifah Mustami, M.Pd, selaku Dekan Fakultas Sains dan Teknologi UIN Alauddin Makassar periode 2011-2015 atas pemberian kesempatan pada penulis untuk melakukan studi ini,
2. Prof. Dr. H. Arifuddin Ahmad, M.Ag, selaku Dekan Fakultas Sains dan Teknologi UIN Alauddin Makassar periode 2015-2019 atas pemberian kesempatan pada penulis untuk melanjutkan studi ini,

3. Ibu Ermawati, S.Pd., M.Si, selaku Ketua Jurusan Matematika serta penguji kedua atas bimbingan, arahan, motivasi dan ilmu yang diberikan dalam penyusunan skripsi ini,
4. Ibu Try Azisah Nurman, S.Pd., M.Pd, selaku Penasehat Akademik serta Pembimbing pertama atas bimbingan serta arahan selama perkuliahan dan penyusunan skripsi,
5. Ibu Faihatus Zukhairoh, S.Si., M.Si, selaku pembimbing kedua atas bimbingan, arahan serta ilmu yang diberikan kepada penulis dengan penuh kesabaran,
6. Bapak Irwan, S.Si., M.Si, selaku penguji pertama atas waktu dan ilmu yang diberikan dalam penyempurnaan skripsi ini,
7. Bapak Hasyim Haddade, selaku penguji ketiga atas waktu dan ilmu agama yang diberikan dalam penyempurnaan skripsi ini,
8. Bapak/Ibu Dosen di Jurusan Matematika yang tidak dapat disebutkan satu persatu yang telah memberikan bantuan ilmu, arahan dan motivasi dari awal perkuliahan hingga skripsi ini selesai,
9. Staff Karyawan Fakultas Sains dan Teknologi yang selama ini telah membantu dalam pengurusan akademik dan persuratan dalam penulisan,
10. Moh. Hidayat dan Moh. Taufiq, adik-adik tersayang yang selalu mendoakan kesuksesan kakaknya,
11. Pemerintah yang memberikan bantuan beasiswa “BIDIKMISI” sehingga penulis dapat membantu meringankan beban orang tua dalam pembiayaan perkuliahan,

12. Teman-teman seperjuangan angkatan 2011 “L1M1T” yang selalu memberikan semangat bersaing sehat dan inspirasi mulai dari awal perkuliahan hingga penulisan skripsi,
13. Christophora CH.D, selaku GM PT. Pelindo IV cabang Makassar yang telah memberikan izin kepada peneliti untuk melakukan penelitian di PT. Pelindo IV cabang Makassar,
14. Kepada seluruh keluarga, sahabat dan pihak-pihak yang tidak disebutkan satu persatu, terima kasih atas segala doa dan motivasinya.

Penulis menyadari masih banyak kesalahan dan kekurangan dalam penulisan skripsi ini, untuk itu sangat diharapkan saran dan kritik yang bersifat membangun demi kesempurnaan skripsi ini. Namun demikian, penulis tetap berharap semoga skripsi ini bermanfaat dan apat membantu terwujudnya bangsa yang cerdas.

Makassar, Agustus 2015

Penulis,

Wahida Yanti Moh. Nasir
NIM. 60600111071

DAFTAR ISI

HALAMAN SAMBUL	i
PENGESAHAN SKRIPSI	ii
SURAT PERNYATAAN KEASLIAN SKRIPSI	iii
MOTTO	iv
PERSEMBAHAN	v
KATA PENGANTAR	vi
DAFTAR ISI	ix
DAFTAR GAMBAR	xi
DAFTAR TABEL	xiii
DAFTAR SIMBOL	xiv
ABSTRAK	xvi
BAB 1 PENDAHULUAN	1
A. Latar Belakang	1
B. Rumusan Masalah	9
C. Tujuan	9
D. Manfaat Penulisan.....	10
E. Batasan Masalah.....	10
F. Sistematika Penulisan	11
BAB II TINJAUAN PUSTAKA	13
A. Deret Waktu	13
B. Stokastik, Stasioner dan Invertibility	17
C. Rata-rata, Autokovariansi dan Autokorelasi	25

D. ACF dan PACF	27
E. White Noise.....	30
F. Uji Normalitas Residu.....	31
G. Metode <i>Autoregressive Integrated Moving Average</i>	32
H. Model <i>Seasonal Autoregressive Integrated Moving Average</i>	43
I. Pemilihan Model Terbaik.....	46
J. Peramalan.....	47
BAB III METODE PENELITIAN	52
A. Jenis Penelitian.....	52
B. Lokasi Penelitian.....	52
C. Waktu Penelitian	52
D. Jenis dan Sumber Data	52
E. Variabel Penelitian	53
F. Defenisi Operasional Variabel	53
G. Prosedur Penelitian.....	54
BAB IV HASIL DAN PEMBAHASAN	57
A. Hasil	57
B. Pembahasan.....	80
BAB V PENUTUP	84
A. Kesimpulan	84
B. Saran.....	85

DAFTAR PUSTAKA

LAMPIRAN-LAMPIRAN

DAFTAR GAMBAR

Gambar 2.1	: Jenis-jenis pola data.....	14
Gambar 2.2	: Diagram deret waktu non stasioner dalam rata-rata.....	20
Gambar 2.3	: Diagram deret waktu non stasioner dalam rata-rata dan variansi.....	20
Gambar 2.4	: Diagram data deret waktu stasioner dalam rata-rata dan variansi.....	21
Gambar 2.5	: Diagram ACF data deret waktu stasioner.....	21
Gambar 2.6	: Diagram ACF data deret waktu non stasioner.....	22
Gambar 2.7	: Grafik data berdistribusi normal.....	31
Gambar 4.1	: Diagram deret waktu penumpang naik.....	58
Gambar 4.2(a)	: Diagram ACF Data Penumpang Naik.....	59
Gambar 4.2(b)	: Diagram PACF Data Penumpang Naik.....	59
Gambar 4.3	: Diagram Deret Waktu Data Penumpang Naik hasil diferensiasi satu non-musiman.....	60
Gambar 4.4(a)	: Diagram ACF Data Penumpang Naik hasil diferensiasi satu non-musiman.....	60
Gambar 4.4(b)	: Diagram PACF Data Penumpang Naik hasil diferensiasi satu non-musiman.....	60
Gambar 4.5	: Diagram Deret Waktu Data Penumpang Naik hasil diferensiasi satu non-musiman dan musiman 12.....	61
Gambar 4.6(a)	: Diagram ACF Data Penumpang Naik hasil diferensiasi satu non-musiman dan musiman 12.....	62
Gambar 4.6(b)	: Diagram PACF Data Penumpang Naik hasil diferensiasi satu non-musiman dan musiman 12.....	62
Gambar 4.7	: Diagram Normalitas Residual ARIMA (0,1,1)(0,1,1) ¹²	66
Gambar 4.8	: Diagram Deret Waktu Data Penumpang Turun.....	67

Gambar 4.9(a)	: Diagram ACF Data Penumpang Turun.....	68
Gambar 4.9(b)	: Diagram PACF Data Penumpang Turun.....	68
Gambar 4.10	: Diagram Deret Waktu Data Penumpang Turun hasil diferensiasi satu non-musiman.....	69
Gambar 4.11(a)	: Diagram ACF Data Penumpang Turun hasil diferensiasi satu non-musiman.....	69
Gambar 4.11(b)	: Diagram PACF Data Penumpang Turun hasil diferensiasi satu non-musiman.....	69
Gambar 4.12	: Diagram Deret Waktu Data Penumpang Turun hasil diferensiasi satu non-musiman dan musiman 1.....	70
Gambar 4.13(a)	: Diagram ACF Data Penumpang Turun hasil diferensiasi satu non-musiman dan musiman 12.....	71
Gambar 4.13(b)	: Diagram PACF Data Penumpang Turun hasil diferensiasi satu non-musiman dan musiman 12.....	71
Gambar 4.14	: Diagram Normalitas Residual ARIMA (0,1,1)(1,1,0) ¹²	73

DAFTAR TABEL

Tabel 2.1	: Nilai-nilai λ dengan transformasinya	19
Tabel 2.2	: Kondisi kestasioneran dan <i>invertibility</i> untuk beberapa model non-musiman.....	42
Tabel 2.3	: Bentuk ACF dan PACF dari model ARIMA (p,0,q) yang stasioner.....	42
Tabel 4.1	: <i>Conditional Last Squares Estimation</i> ARIMA (0,1,1)(1,1,1) ¹²	63
Tabel 4.2	: <i>Conditional Last Squares Estimation</i> ARIMA (0,1,1)(1,1,0) ¹²	64
Tabel 4.3	: <i>Conditional Last Squares Estimation</i> ARIMA (0,1,1)(0,1,1) ¹²	64
Tabel 4.4	: <i>Autocorelation Check of Residual</i> ARIMA (0,1,1)(0,1,1) ¹² ...	65
Tabel 4.5	: <i>Conditional Last Squares Estimation</i> ARIMA (0,1,1)(1,1,0) ¹²	72
Tabel 4.6	: <i>Autocorelation Check of Residual</i> ARIMA (0,1,1)(1,1,0) ¹² ...	72
Tabel 4.7	: Hasil Peramalan Penumpang Naik.....	76
Tabel 4.8	: Hasil Peramalan Penumpang Turun.....	80
Tabel 4.9	: Peramalan Penumpang Naik dan Turun di Pelabuhan Kota Makassar.....	83

DAFTAR SIMBOL

Z_t	: Variabel Z pada periode t
Z_{t+k}	: Variabel Z pada periode t+k
$E[Z_t]$: Mean untuk Z_t
$var(Z_t)$: Variansi untuk Z_t
$cov(Z_t, Z_{t+k})$: Kovariansi antara Z_t dan Z_{t+k}
γ_k	: Koefisien autokovariansi pada lag ke-k
ρ_k	: Koefisien autokorelasi pada lag ke-k
$Cov(X, Y)$: Kovariansi antara X dan Y
$Corr(X, Y)$: Korelasi antara X dan Y
B	: Operator langkah mundur (<i>backshift operator</i>)
λ	: Parameter transformasi
Ln	: Logaritma natural
s_{γ_k}	: Kesalahan baku (<i>standar error</i>) dari γ_k
t_{γ_k}	: Statistik uji t untuk γ_k
ϕ_{kk}	: Koefisien autokorelasi parsial pada lag ke-k
$\phi_p(B)$: Operator <i>autoregressive</i> dengan derajat p non-musiman

$\theta_q(B)$: Operator <i>moving average</i> dengan derajat q non-musiman
a_t	: Nilai kesalahan pada saat t
p, d, q	: Orde AR, diferensiasi dan MA non-musiman
$(1 - B)^d$: Orde diferensiasi non-musiman
$\Phi_P(B^s)$: Operator <i>autoregressive</i> dengan derajat P musiman
$\Theta_Q(B^s)$: Operator <i>moving average</i> dengan derajat Q musiman
P, D, Q	: Orde AR, diferensiasi dan MA musiman
$(1 - B^s)^D$: Orde diferensiasi musiman
$SE(\hat{\theta})$: <i>Standar error</i> yang diestimasi dari $\hat{\theta}$
Q^*	: Statistik uji <i>Ljung Box</i> atau <i>Box-Pierce Modified</i>
N	: Banyaknya sisa
K	: <i>lag</i> maksimum yang dilakukan
$\hat{Z}_t(k)$: Variabel Peramalan Z pada periode k kedepan
X_t	: Variabel penumpang naik pada periode t
Y_t	: variabel penumpang turun pada periode t

ABSTRAK

Nama : Wahida Yanti Moh. Nasir
NIM : 60600111071
Judul : **Peramalan Jumlah Penumpang dari Pelayaran dalam Negeri di Pelabuhan Kota Makassar menggunakan Metode *Seasonal Autoregressive Integrated Moving Average* (SARIMA)**

Peramalan merupakan gambaran dimasa akan datang menggunakan data sebelumnya. Penelitian ini merupakan penelitian terapan yang membahas tentang peramalan jumlah penumpang dari pelabuhan Kota Makassar menggunakan metode SARIMA. Penelitian ini bertujuan untuk menentukan model peramalan terbaik untuk memprediksi jumlah penumpang dari pelayaran dalam Negeri di pelabuhan Kota Makassar menggunakan metode SARIMA dan mendeskripsikan hasil peramalan jumlah penumpang dari pelayaran dalam Negeri di pelabuhan Kota Makassar 2 tahun ke depan. Penelitian ini membahas tentang langkah-langkah menentukan model peramalan dengan menggunakan metode SARIMA. Metode ini terdiri dari beberapa tahap, yaitu identifikasi model, pendugaan nilai parameter model, pengecekan diagnostik dan peramalan. Tahap identifikasi model dilakukan dengan mengidentifikasi model yang dianggap paling sesuai dengan melihat plot ACF dan PACF. Tahap pendugaan nilai parameter dilakukan dengan penaksiran terhadap parameter-parameter dalam model tersebut. Tahap pengecekan diagnostik untuk menguji kesesuaian dari parameter yang didapat pada tahap sebelumnya. Setelah model sesuai selanjutnya adalah menggunakan model tersebut untuk peramalan. Hasil dari penelitian ini menunjukkan bahwa model terbaik untuk prediksi jumlah penumpang naik dipelabuhan Kota Makassar yaitu ARIMA (0,1,1)(0,1,1)¹² dengan jumlah penumpang meningkat untuk tahun 2015 yaitu pada bulan Juli dan tahun 2016 juga terjadi pada bulan Juli dan model terbaik untuk prediksi jumlah penumpang turun dipelabuhan Kota Makassar yaitu ARIMA (0,1,1)(1,1,0)¹² dengan jumlah penumpang meningkat untuk tahun 2015 yaitu pada bulan Juli dan tahun 2016 juga terjadi pada bulan Juli.

Kata Kunci: Peramalan, Deret Waktu, ARIMA, SARIMA, *Box-Jenkins*

BAB I

PENDAHULUAN

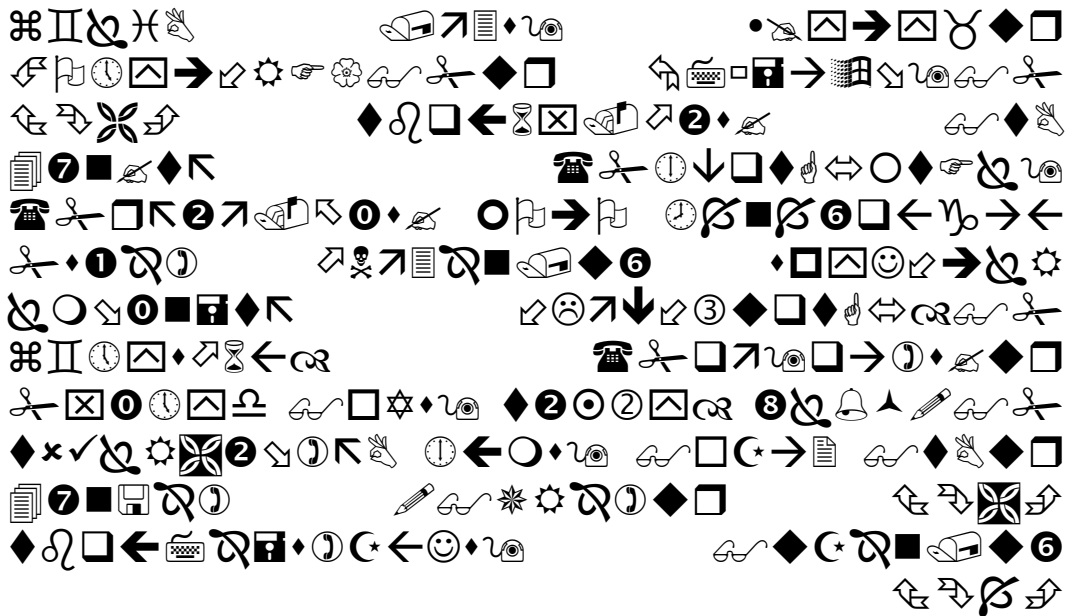
A. Latar Belakang

Perkembangan ilmu pengetahuan dan teknologi semakin berkembang dan berbanding lurus dengan tingginya tingkat peradaban manusia. Tingginya tingkat peradaban menimbulkan persaingan yang ketat dalam meraih kejayaan dan menjadi yang terbaik. Oleh karena itu, sebelum melakukan kegiatan harus membuat strategi dan menyusun rencana agar memperoleh hasil yang optimal.

Peramalan merupakan gambaran kondisi di masa akan datang dengan menggunakan data di masa lalu. Peramalan merupakan bagian penting dalam pembuatan rencana dan pengambilan keputusan, karena tidak akan ada rencana dan keputusan tanpa peramalan.

Peramalan yang efektif sangat dibutuhkan untuk mencapai tujuan strategis dan operasional dari semua organisasi. Misalnya perusahaan, peramalan mengenalkan sistem kendali informasi pemasaran, keuangan dan produksi. Begitu pula untuk sektor publik, peramalan merupakan bagian yang tidak terpisahkan dari perancangan kebijakan dan program, baik dalam bidang kesehatan masyarakat dan pendidikan. Sama halnya untuk bidang transportasi. Seiring dengan bertambahnya jumlah penduduk, maka kebutuhan akan alat transportasi juga meningkat karena alat transportasi merupakan sarana penting bagi penduduk untuk melakukan aktivitasnya. Allah berfirman dalam QS. Al Zukhruf/ 43: 12-14:





Terjemahnya:

“Dan yang menciptakan semua yang berpasang-pasangan dan menjadikan untukmu kapal dan binatang ternak yang kamu tanggungi. Supaya kamu duduk di atas punggungnya. Kemudian kamu ingat nikmat Tuhanmu apabila kamu Telah duduk di atasnya; dan supaya kamu mengucapkan: "Maha Suci Tuhan yang Telah menundukkan semua Ini bagi kami padahal kami sebelumnya tidak mampu menguasainya, dan Sesungguhnya kami akan kembali kepada Tuhan kami".¹

Sehubungan dengan ayat di atas, dijelaskan bahwa Dialah Tuhan yang telah menjadikan berbagai macam tumbuhan dan binatang, baik yang telah manusia ketahui ataupun yang belum diketahui, yang selalu berpasang-pasangan. Dia pulalah Tuhan yang telah menjadikan perahu-perahu untuk manusia naiki di laut dan menjadikan binatang untuk kamu tanggungi di darat, seperti kuda, keledai, unta dan sebagainya. Demikian pula Allah menciptakan alat-alat perhubungan dan pengangkutan (transportasi), baik darat, laut bahkan juga udara, yang belum diketahui sekarang. Dan ketika manusia duduk di atas punggung kendaraannya, maka katakanlah: “Maha suci Tuhan yang telah menundukkan

¹ Departemen Agama RI, *Al-Qur'an dan Terjemahnya*, (Bandung: CV Penerbit J-ART, 2005), h. 491

kendaraan ini bagi kami dan kami tidaklah mempunyai kekuasaan untuk mengendalikan kendaraan ini. Hanya Allahlah yang telah menundukkannya untuk kami”.²

Dari ayat diatas dapat diketahui bahwa Allah menciptakan makhluknya selalu berpasang-pasangan baik manusia, hewan dan tumbuhan untuk menghasilkan keturunan serta menciptakan kapal dan binatang ternak sebagai alat transportasi untuk mempermudah pekerjaan manusia dan hendaklah manusia selalu mengucapkan syukur atas apa yang dimilikinya dan ketika bepergian ucapkanlah “Maha suci Tuhan yang telah menundukkan kendaraan ini bagi kami dan kami tidaklah mempunyai kekuasaan untuk mengendalikan kendaraan ini. Hanya Allahlah yang telah menundukkannya untuk kami”.

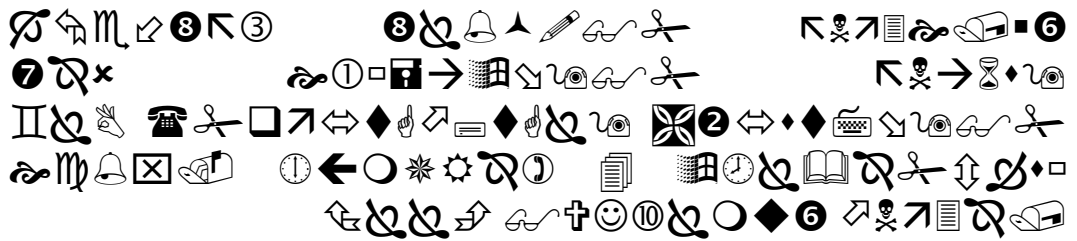
Dalam bidang transportasi, peramalan sangat dibutuhkan untuk mengetahui prediksi jumlah penumpang dan alat transportasi yang akan dipersiapkan, serta jalur yang akan dilalui. Hal ini diharapkan agar mengurangi kemacetan pada hari-hari tertentu. Oleh karena itu, peramalan tentang jumlah penumpang menjadi hal yang penting bagi pemerintah karena dengan mengetahui prediksi jumlah penumpang dimasa yang akan datang, pemerintah dapat mempersiapkan fasilitas-fasilitas untuk mengantisipasi kenaikan jumlah penumpang, seperti menyiapkan tambahan alat transportasi, tempat parkir yang lebih luas serta perbaikan jalan atau jalur transportasi.

Transportasi terbagi atas 3 bagian, yaitu transportasi darat, laut dan udara. Ketiga jenis transportasi ini memiliki kelebihan dan kekurangan masing-masing.

² Teugku Muhammad Hasbi ash-Shiddieqy, *Tafsir Al-Qur'anul Majid An-Nuur* 5, (Semarang: Pustaka Rizki Putra, 2000), h. 3731-3732

Dalam hal ini penulis akan lebih membahas tentang jenis transportasi laut. Transportasi laut merupakan jenis transportasi yang relatif murah dan dapat dijangkau oleh kalangan rendah hingga kalangan tinggi. Selain itu, wilayah Indonesia yang merupakan wilayah kepulauan yang dipisahkan oleh samudera mengakibatkan tidak semua wilayah tersebut dapat dijangkau dengan menggunakan transportasi darat atau udara, terdapat beberapa wilayah Indonesia yang hanya dapat dijangkau dengan transportasi laut. Transportasi laut juga merupakan jenis transportasi yang dapat menghemat tenaga dengan bersantai dalam sarana transportasinya dan dapat membawa barang dalam jumlah yang banyak. Hal inilah yang mengakibatkan banyaknya masyarakat lebih memilih jenis transportasi laut dibandingkan jenis transportasi lainnya. Setiap tahun, jumlah penumpang selalu mengalami peningkatan. Namun hal ini tidak sebanding dengan peningkatan infrastruktur dan sarana transportasi. Salah satu masalah rawan terkait moda transportasi laut, khususnya pada musim lebaran yaitu sumbatan arus bongkar muat bersamaan dengan jumlah pemudik yang meningkat. Akibatnya terjadi penumpukan kendaraan penumpang dan barang bongkar muat, sehingga menimbulkan kemacetan berjam-jam. Hal ini berpengaruh pada sirkulasi penjadwalan pelayaran yang juga menyebabkan penumpang membludak diruang tunggu pelabuhan berhari-hari, sementara kapasitas ruang tunggu terbatas dan sempit. Oleh karena itu, perhatian pemerintah akan sarana transportasi dan infrastruktur sangat dibutuhkan dalam menangani peningkatan jumlah penumpang setiap tahunnya.

Sehubungan dengan transportasi laut, Allah berfirman dalam QS. Al-israa’/ 17: 66:

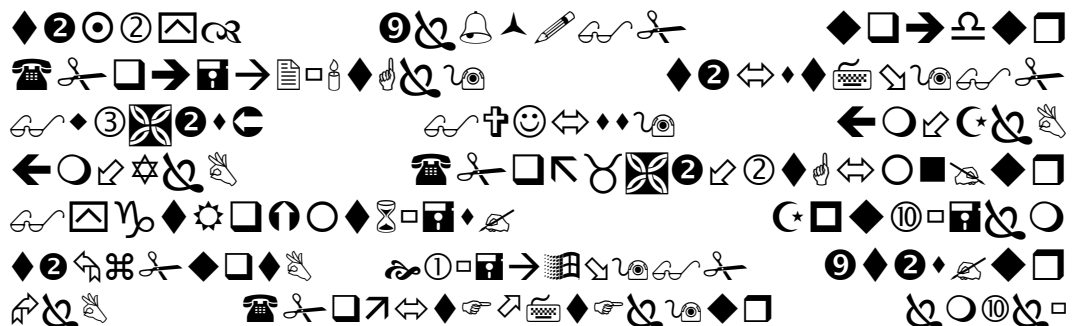


Terjemahnya:

“Tuhan-mu adalah yang melayarkan kapal-kapal di lautan untukmu, agar kamu mencari sebahagian dari karunia-Nya. Sesungguhnya dia adalah Maha Penyayang terhadapmu”.³

Ayat ini menyatakan Tuhan pemelihara dan yang selalu berbuat baik kepada kamu adalah hanya dia saja yang berkuasa melayarkan secara mudah kapal-kapal di lautan dan sungai-sungai untuk kemanfaatan kamu dengan jalan menciptakan hokum-hukum alam sehingga kapal-kapal dapat berlayar, agar kamu mencari secara sungguh-sungguh sebagian dari karunianya yang melimpah dan tidak dapat atau sulit kamu temukan di darat, seperti ikan dan mutiara, dan supaya kamu memperoleh kemudahan transportasi dan perdagangan. Sesungguhnya dia khususnya terhadap kamu wahai orang-orang mukmin adalah maha penyayang.⁴

Diayat yang lain dalam QS. An-nahl/ 16: 14:



³ Departemen Agama RI, *Al-Qur'an dan Terjemahnya*, (Bandung: CV Penerbit J-ART, 2005), h. 288

⁴M. Quraish Shihab, *Tafsir Al-Misbah 7*, (Jakarta: Lentera Hati, 2002), h. 509



Terjemahnya:

“Dan Dia-lah, Allah yang menundukkan lautan (untukmu), agar kamu dapat memakan daripadanya daging yang segar (ikan), dan kamu mengeluarkan dari lautan itu perhiasan yang kamu pakai; dan kamu melihat bahtera berlayar padanya, dan supaya kamu mencari (keuntungan) dari karunia-Nya, dan supaya kamu bersyukur”.⁵

Ayat ini menyatakan bahwa Allah swt., yang menundukkan lautan dan sungai serta menjadikannya arena hidup binatang dan tempat tumbuh berkembang serta pembentukan aneka perhiasan. Itu dijadikan demikian agar kamu dapat menangkap hidup-hidup atau mengepung dari ikan-ikan dan sebangsanya yang berdiam disana sehingga kamu dapat memakan darinya daging yang segar yakni binatang-binatang laut itu dan kamu dapat mengeluarkan yakni mengupayakan dengan cara bersungguh-sungguh untuk mendapatkan darinya yakni dari laut dan sungai itu perhiasan yang kamu pakai seperti permata, mutiara, merjan dan sebagainya. Penggalan ayat ini juga menunjukkan betapa kuasa Allah swt. Dia menciptakan batu-batu dan mutiara yang demikian kuat serta sangat jernih, di satu areal yang sangat lunak yang bercampur dengan aneka sampah dan kotoran. ⁶

Dalam QS. Al-Jaatsiyah/ 45: 12:



⁵ Departemen Agama RI, *Al-Qur'an dan Terjemahnya*,(Bandung: CV Penerbit J-ART, 2005), h. 268

⁶ M. Quraish Shihab, *Tafsir Al-Misbah 7*,(Jakarta: Lentera Hati, 2002), h. 199-201

Terjemahnya:

“Allah-lah yang menundukkan lautan untukmu supaya kapal-kapal dapat berlayar padanya dengan seizin-Nya dan supaya kamu dapat mencari karunia -Nya dan Mudah-mudahan kamu bersyukur”.⁷

Dalam ayat diatas dijelaskan bahwa Allah swt., menyatakan bahwa dialah yang menundukkan lautan untuk keperluan manusia sendiri. Hal ini berarti bahwa Allah menciptakan lautan itu hanya untuk manusia. Karena itu, ayat ini mendorong manusia berusaha dan berpikir semaksimal mungkin, dimana laut dan segala isinya itu dapat dimanfaatkan untuk keperluannya, demikian pula alam semesta ini. Sebagai contoh dikemukakan beberapa hasil pemikiran manusia yang telah digunakan dalam memanfaatkan lautan, misalnya kapal yang berayar dari sebuah negeri ke negeri yang lain, mengangkut manusia dan barang-barang keperluan hidup mereka sehari-hari. Tentu saja lalu-lintas di laut itu dapat mempererat hubungan antar penduduk suatu negeri dengan negeri yang lain. Juga manusia dapat memanfaatkan laut ini sebagai sumber penghidupan. Di dalamnya terdapat bahan-bahan yang dapat dijadikan makan, juga terdapat perhiasan. Air laut dapat diuapkan sehingga menghasilkan garam yg berguna untuk menambah tenaga dan menyedapkan makanan, dan masih banyak lainnya.⁸

Dari ketiga ayat diatas yang menjelaskan tentang transportasi laut, dapat diketahui bahwa Allah menciptakan segala sesuatu dimuka bumi ini memiliki

⁷Departemen Agama RI, *Al-Qur'an dan Terjemahnya*,(Bandung: CV Penerbit J-ART, 2005), h. 499

⁸ Tim Tashih Departemen Agama, *Al-Quran an Tafsirnya*, (Yogyakarta: Universitas Islam Indonesia, 1991), h. 220-221

manfaat. Allah menciptakan lautan untuk manusia agar dijadikan tempat mencari rejeki selain di daratan, memberikan kehidupan bagi hewan-hewan laut dan dijadikan sebagai sarana penghubung antar satu daerah dengan daerah yang lain dengan menggunakan alat transportasi yaitu kapal-kapal pelayaran yang mengangkut manusia dan barang-barang ke daerah yang dituju.

Pada zaman dahulu, manusia belum mengenal berbagai macam alat transportasi seperti yang ada pada zaman sekarang. Alat transportasi yang pertama dikenal manusia adalah hewan yang dijadikannya transportasi darat untuk mengangkut barang-barang yang berat, kemudian mengantar manusia ke tujuan mereka. Setelah itu, dikenal lah yang alat transportasi yang menghubungkan antar Negara yang dipisahkan dengan samudra dengan mengandalkan arah angin, kapal-kapal membawa manusia ke negeri seberang. Di zaman sekarang, karena teknologi dan ilmu pengetahuan berkembang sangat pesat, manusia sudah mempergunakan mesin untuk alat transportasi, seperti motor, mobil untuk transportasi darat, kapal tidak lagi mengandalkan layar-layar dan arah angin, dan sekarang dikenal alat transportasi udara yaitu pesawat.

Data jumlah penumpang merupakan data deret waktu yang dikumpulkan untuk mengetahui peningkatan jumlah penumpang setiap tahunnya. Data deret waktu adalah data yang dikumpulkan atau diamati berdasarkan urutan waktu dan digunakan untuk membuat peramalan yang nanti hasil peramalan tersebut digunakan sebagai bahan pertimbangan dalam mengambil kebijakan pemerintah.

Jumlah penumpang merupakan data yang dapat bersifat musiman, hal ini dapat dilihat pada setiap tahunnya pada bulan-bulan tertentu yang mengalami

peningkatan jumlah penumpang, misalnya saat liburan akhir tahun atau lebaran. Dalam rangka meramalkan jumlah penumpang di provinsi Sulawesi Selatan, akan digunakan metode *Seasonal Autoregressive Integrated Moving Average* (SARIMA). Metode SARIMA digunakan apabila data menunjukkan pola musiman. Oleh karena itu, metode SARIMA dapat digunakan untuk meramalkan jumlah penumpang dimasa yang akan datang.

Berdasarkan latar Belakang Di Atas, Penulis Bermaksud Melakukan Penelitian Tentang Peramalan Dengan Judul **“Peramalan Jumlah Penumpang dari Pelayaran dalam Negeri di Pelabuhan Kota Makassar Menggunakan Metode *Seasonal Autoregressive Integrated Moving Average* (SARIMA)”**.

B. Rumusan Masalah

Berdasarkan uraian latar belakang di atas, maka pokok permasalahan dalam penelitian ini adalah:

1. Bagaimana model *Seasonal Autoregressive Integrated Moving Average* (SARIMA) terbaik yang dapat digunakan untuk memprediksi jumlah penumpang dari pelayaran dalam negeri di pelabuhan kota Makassar?
2. Bagaimana prediksi jumlah penumpang dari pelayaran dalam negeri di pelabuhan kota Makassar 24 periode ke depan?

C. Tujuan

Berdasarkan uraian dari rumusan masalah sebelumnya, maka tujuan penelitian ini adalah:

1. Untuk mengetahui model *Seasonal Autoregressive Integrated Moving Average* (SARIMA) terbaik yang dapat digunakan untuk memprediksi jumlah penumpang dari pelayaran dalam negeri di pelabuhan kota Makassar;
2. Untuk mengetahui prediksi jumlah penumpang dari pelayaran dalam negeri di pelabuhan kota Makassar 24 periode ke depan.

D. Manfaat Penulisan

Manfaat yang dapat diberikan dari penelitian ini adalah:

1. Bagi penulis

Adapun manfaat yang dapat diperoleh dari penelitian ini adalah sebagai sarana pengaplikasian ilmu yang telah diperoleh dalam kehidupan sehari-hari serta menambah wawasan penulis tentang pemodelan dengan model *Seasonal Autoregressive Integrated Moving Average* (SARIMA).

2. Bagi pembaca

Tulisan ini diharapkan dapat menjadi salah satu sumber referensi terhadap mata kuliah bidang Deret Waktu (*Time Series*)

E. Batasan Masalah

Dalam penulisan skripsi ini, pembahasannya hanya dibatasi pada:

1. Data yang digunakan adalah data bulanan dari bulan Januari 2006 – Desember 2014 yang bersumber dari PT. Pelindo IV Cabang Makassar.
2. Peramalan yang dilakukan adalah untuk 24 Periode (2 tahun) ke depan.

F. Sistematika Penulisan

Secara garis besar, sistematika penulisan tugas akhir dibagi menjadi tiga bagian, yaitu:

1. Bagian awal

Bagian awal terdiri dari sampul, judul, pernyataan keaslian, persetujuan pembimbing, pengesahan, kata pengantar, daftar isi, daftar tabel, daftar ilustrasi dan abstrak.

2. Bagian isi

Bagian isi terdiri atas:

a. BAB I Pendahuluan

Bab ini berisi alasan pemilihan judul, rumusan masalah, tujuan penelitian, manfaat penelitian, batasan masalah dan sistematika penulisan.

b. BAB II Tinjauan Pustaka

Bab ini dikemukakan hal-hal yang mendasari dalam teori yang dikaji, yaitu deret waktu, stokastik dan stasioner, rata-rata, autokovariansi dan autokorelasi, ACF dan PACF, *White Noise*, uji normalitas residu, ARIMA, SARIMA, pemilihan model terbaik, dan peramalan.

c. BAB III Metode Penelitian

Bab ini dikemukakan jenis penelitian, lokasi penelitian, waktu penelitian, jenis dan sumber data, dan prosedur penelitian.

d. BAB IV Hasil dan Pembahasan

Bab ini dikemukakan hasil penelitian dan pembahasan dari hasil penelitian.

e. BAB V Penutup

Bab ini dikemukakan kesimpulan dari penelitian dan saran-saran untuk penelitian selanjutnya.

3. Bagian akhir

Bagian akhir berisi daftar pustaka, lampiran-lampiran dan daftar riwayat hidup penulis

BAB II

TINJAUAN PUSTAKA

Statistika adalah ilmu yang mempelajari tentang mengumpulkan, mengorganisasi, menyajikan dan menganalisis data serta menarik keputusan berdasarkan hasil analisis data. Statistik adalah kumpulan informasi dari objek penelitian yang merupakan alat analisis yang berupa angka. dilihat dari dimensi waktu, data statistik bisa dibagi menjadi dua bagian:

1. *Cross Section*

Jenis data yang dikumpulkan pada suatu titik waktu tertentu, seperti penghasilan beras pada bulan Januari di pulau Jawa.

2. *Deret Waktu (Time Series)*

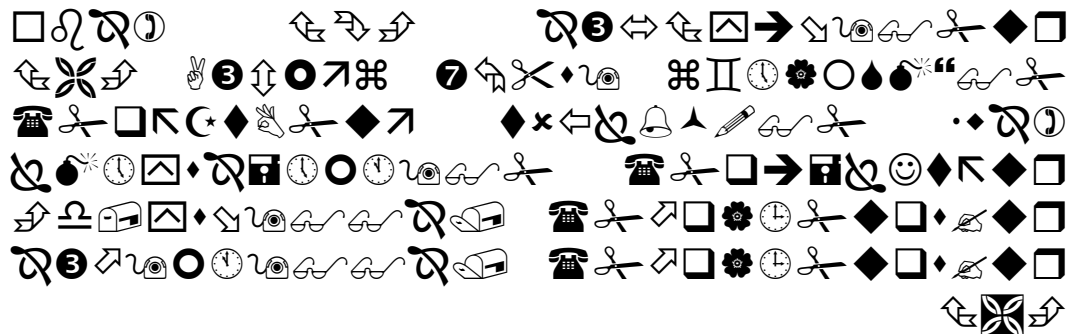
Jenis data yang dikumpulkan menurut urutan waktu dalam suatu rentang waktu tertentu, seperti produksi gula PT. Sejahterah dari bulan Januari–Desember 2014.

A. *Deret Waktu*

Secara umum, regresi merupakan salah satu alat yang digunakan untuk mengetahui pola hubungan antara variabel terikat dan variabel bebas. Sedangkan regresi dalam konteks deret waktu merupakan alat yang digunakan untuk

mengetahui hubungan antara variabel Z_t yang tergantung dengan fungsi waktu (t) .⁹

Allah berfirman dalam QS. Al-‘Ahsr: 103/1-3:



Terjemahnya:

*“Demi masa. Sesungguhnya manusia itu benar-benar dalam kerugian, Kecuali orang-orang yang beriman dan mengerjakan amal saleh dan nasehat menasehati supaya mentaati kebenaran dan nasehat menasehati supaya menetapi kesabaran”.*¹⁰

Dalam ayat di atas dijelaskan bahwa Allah memperingatkan tentang pentingnya waktu dan bagaimana seharusnya waktu itu dimanfaatkan sebaik-baiknya. Waktu adalah modal utama manusia, yang apabila tidak diisi dengan kegiatan yang positif, maka ia akan berlalu begitu saja. Terkecuali bagi orang-orang yang beriman dan beramal dengan amalan-amalan yang shaleh yakni yang bermanfaat serta saling berwasiat tentang kebenaran, kesabaran dan ketabahan.¹¹

⁹ Ika Purnamasari dan Suhartono, “Metode Tlsar Berbasis Regresi *Time Series* dan ARIMA untuk Peramalan Beban Listrik Jangka Pendek”. (2012): h. 2

¹⁰ Departemen Agama RI, *Al-Qur’an dan Terjemahnya*,(Bandung: CV Penerbit J-ART, 2005), h. 601

¹¹ M. Quraish Shihab, *Tafsir Al-Misbah Vol. 15*,(Jakarta: Lentera Hati, 2002), h. 496-499

Telah dijelaskan dalam firman Allah atas bahwa sangatlah merugi bagi manusia yang tidak mempergunakan waktunya sebaik-baik mungkin untuk beribadah dan mengerjakan amal sholeh seperti bekerja dengan cara yang halal karena waktu tidak akan berulang, ia akan terus berputar dan berganti. Selain itu, manusia juga dianjurkan untuk selalu saling mengingatkan di jalan Allah dan selalu bersabar.

Deret waktu adalah serangkaian data pengamatan yang terjadi berdasarkan indeks waktu secara berurutan dengan interval waktu tetap. Analisis deret waktu adalah salah satu prosedur statistika yang diterapkan untuk meramalkan struktur probabilistik keadaan yang akan datang dalam rangka pengambilan keputusan.

Pada umumnya data deret waktu merupakan kumpulan data dari fenomena tertentu yang didapat dalam beberapa interval waktu tertentu, misalnya mingguan, bulanan, atau tahunan. Data deret waktu adalah sekumpulan data hasil pengamatan yang berkala dan menggambarkan secara kronologis perkembangan suatu karakteristik kejadian dengan informasi yang diberikan didasari oleh urutan waktu tertentu.

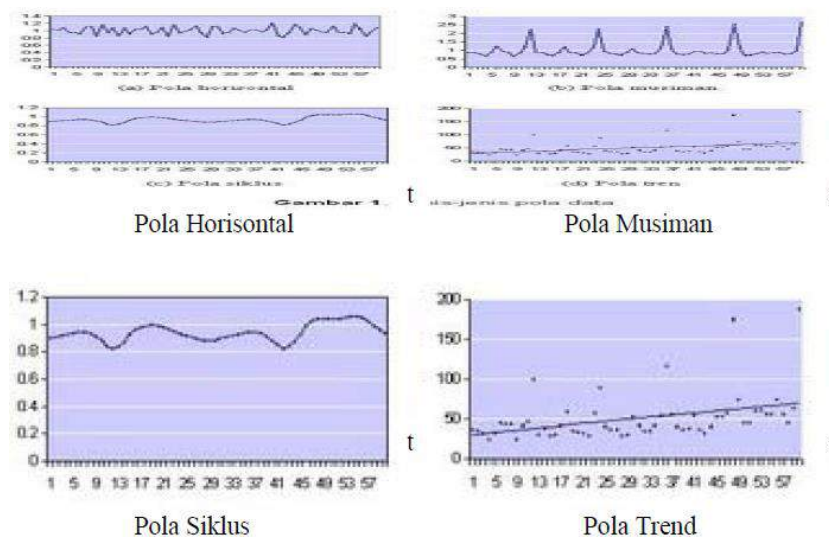
Suatu urutan pengamatan memiliki model deret waktu jika memiliki dua hal yaitu:

1. interval waktu antara indeks waktu t dapat dinyatakan dalam satuan waktu yang sama (identik),
2. adanya ketergantungan antara pengamatan Z_t dengan Z_{t+k} yang dipisahkan oleh jarak waktu berupa kelipatan Δt sebanyak k kali (dinyatakan sebagai *lag k*).

Sedangkan, tujuan analisis deret waktu antara lain untuk:

1. meramalkan kondisi dimasa yang akan datang (*forecasting*),
2. mengetahui hubungan atau model antar peubah,
3. kepentingan kontrol (untuk mengetahui apakah proses terkendali atau tidak).¹²

Langkah penting dalam memilih suatu metode deret waktu yang tepat adalah dengan mempertimbangkan jenis pola data, sehingga metode yang paling tepat dengan pola data tersebut dapat diuji. Pola data dapat dibedakan menjadi empat seperti terlihat pada Gambar 2.1, yaitu:



Gambar 2.1 : Jenis-jenis pola data

1. Pola horizontal terjadi pada saat nilai data berfluktuasi disekitar nilai rata-rata yang konstan (deret seperti itu adalah stasioner terhadap nilai rata-ratanya). Misalnya suatu produk yang penjualannya tidak meningkat atau menurun selama waktu tertentu.

¹² Suyitno, "Pengestimasiian Parameter Model *Autoregresif* pada Analisis Deret Waktu Univariat". *Mulawarman Scientifie*10, no. 2 (2011): h. 118

2. Pola musiman terjadi apabila suatu deret waktu dipengaruhi oleh faktor musiman (misalnya kuartal tahun tertentu, bulan atau hari-hari pada minggu tertentu). Misalnya pada penjualan es krim.
3. Pola siklis terjadi bilamana data dipengaruhi oleh fluktuasi ekonomi jangka panjang seperti yang berhubungan dengan siklus bisnis. Misalnya pada penjualan produk seperti mobil.
4. Pola trend terjadi pada saat kenaikan atau penurunan sekuler jangka panjang dalam data. Penjualan banyak perusahaan, produk bruto nasional (GNP) dan berbagai indikator bisnis atau ekonomi lainnya.¹³

B. Stokastik, Stasioner dan Invertibility

Jika dari pengalaman yang lalu masa depan suatu deret waktu dapat diramalkan secara pasti maka deret waktu itu dinamakan deterministik. Sebaliknya jika pengalaman yang lalu hanya dapat menunjukkan struktur probabilistik keadaan masa depan suatu deret waktu, deret waktu semacam ini dinamakan stokastik. Dalam analisis deret waktu disyaratkan data yang sering disimbol Z_t mengikuti proses stokastik. Suatu urutan pengamatan dari peubah acak $Z(\omega, t)$ dengan ruang sampel ω dan satuan waktu t dinyatakan sebagai proses stokastik.

Deterministik dan stokastik suatu deret waktu dapat didefinisikan:

Definisi 2.1

¹³ Dewi Nur Samsiah, "Analisis Data Runtun Waktu Menggunakan Model ARIMA (p,d,q)". *Skripsi* (2008): h. 12-13

1. Jika nilai suatu masa depan (*future value*) dari suatu deret waktu dapat dengan tepat dapat ditentukan oleh suatu fungsi matematika, misalnya:

$$Z_t = \cos(2\pi ft)$$

Maka deret waktu dikatakan sebagai deterministik.

2. Jika nilai suatu masa depan (*future value*) hanya dapat digambarkan dalam suatu distribusi probabilitas, maka deret waktu dikatakan sebagai stokastik deret waktu.¹⁴

Definisi 2.2

Proses stokastik $Z(t)$ terdiri dari sebuah pengamatan dengan peluang P yang didefinisikan pada ruang sampel ω dan dihubungkan dengan fungsi waktu $z(t,s)$ terhadap setiap ruang sampel hasil pengamatan.¹⁵

Proses stokastik didefinisikan sebagai suatu proses yang menghasilkan rangkaian nilai-nilai peubah acak yang dapat menggambarkan perilaku data pada berbagai kondisi. Setiap data deret waktu merupakan suatu data dari hasil proses stokastik. Jika proses stokastik bersifat stasioner maka akan menghasilkan data yang deret waktu yang bersifat stasioner. Sebaliknya, jika proses stokastik bersifat tidak stasioner maka akan menghasilkan data deret waktu yang juga tidak stasioner.

Definisi dari stasioner yaitu:

Definisi 2.3

Proses runtun waktu $\{Z_t, t \in T\}$ dengan $T = Z = \{0, \pm 1, \pm 2, \dots\}$ disebut proses stasioner jika:

¹⁴ Siana Halim, *Diktat: Time Series Analysis* (Surabaya, 2006), h.2

¹⁵ S Novalina, *Diktat: Program Stokastik* (Medan, 2006), h. 3

$$E[Z_t]^2 < \infty, \forall t \in Z$$

$$E[Z_t] = \text{konstanta, independen dengan } t, \forall t \in Z$$

$$\gamma_z(t, s) = \gamma_z(t + k, s + k), \forall t, s, k \in Z.^{16}$$

Ciri dalam pembentukan model analisis deret waktu adalah dengan mengasumsikan bahwa data penelitian dalam keadaan stasioner. Data deret waktu dikatakan stasioner jika memenuhi tiga kriteria, yaitu nilai tengah (rata-rata) dan variansinya konstan dari waktu ke waktu, serta pevariansi (*covariance*) antara dua deret waktu hanya tergantung dari *lag* antara dua periode waktu tersebut. Berdasarkan rata-rata dan variansinya, terdapat dua jenis kestasioneran data yaitu data stasioner pada rata-rata dan data stasioner pada variansi.¹⁷

Pada deret waktu yang bersifat kuat, waktu pengamatan tidak berpengaruh terhadap rata-rata μ , variansi σ^2 dan kovariansi γ_k . Ini berarti bahwa deret Z_t akan berfluktuasi disekitar rata-rata dan variansi yang tetap, dan dapat dikatakan bahwa deret Z_t stasioner dalam rata-rata dan variansi.¹⁸

Untuk mengatasi data yang tidak stasioner pada rata-rata, dapat dilakukan proses pembedaan atau diferensiasi (*diffencing*) terhadap deret data asli. Pengertian proses diferensiasi adalah proses mencari perbedaan antara data satu periode dengan periode sebelumnya secara berurutan.

Proses diferensiasi pada orde pertama merupakan selisih antara data ke t dengan data ke $t-1$, yaitu

¹⁶ Dedi Rosadi, *Diktat: Pengantar Analisa Runtun Waktu* (Yogyakarta: UGM, 2006), h.6

¹⁷ Atik Nurhayati, dkk., "Peramalan Menggunakan Model ARIMA Musiman dan Verifikasi Hasil Peramalan dengan Grafik Pengendalian Moving Range". *Eksponensial4*, no. 1 (2013): h.55

¹⁸ Aswi dan Sukarna, *Analisis Deret Waktu : Teori dan Aplikasi*, ed. Arif Tiro. (Makassar: Andira Publisher, 2006), h. 7-8

$$\begin{aligned}
\Delta Z_t &= Z_t - Z_{t-1} \\
&= Z_t - BZ_t \\
&= (1 - B)Z_t
\end{aligned} \tag{1}$$

Untuk diferensiasi orde-2 adalah

$$\begin{aligned}
\Delta^2 Z_t &= \Delta Z_t - \Delta Z_{t-1} \\
&= (Z_t - Z_{t-1}) - (Z_{t-1} - Z_{t-2}) \\
&= Z_t - 2Z_{t-1} + Z_{t-2} \\
&= Z_t - 2BZ_t + B^2Z_t \\
&= (1 - 2B + B^2)Z_t \\
&= (1 - B)^2 Z_t
\end{aligned}$$

Sehingga untuk diferensiasi ordo ke- d didefinisikan

$$\Delta^d Z_t = (1 - B)^d Z_t. \tag{2}$$

Sedangkan untuk keperluan menstabilkan variansi dari data deret waktu, sering digunakan transformasi Box-Cox. Transformasi Box Cox adalah transformasi pangkat pada variabel respon. Box Cox mempertimbangkan kelas transformasi berparameter tunggal yaitu λ yang dipangkatkan pada variabel respon Z_t , sehingga transformasinya menjadi

$$y = Z_t^\lambda \tag{3}$$

Dimana λ dinamakan parameter transformasi. Di bawah ini adalah nilai λ dan transformasinya:

Tabel 2.1. Nilai-nilai λ dengan transformasinya

Nilai λ (lamda)	Transformasi
-1	$\frac{1}{Z_t}$
-0.5	$\frac{1}{\sqrt{Z_t}}$
0	$\text{Ln } Z_t$
0.5	$\sqrt{Z_t}$
1	Z_t

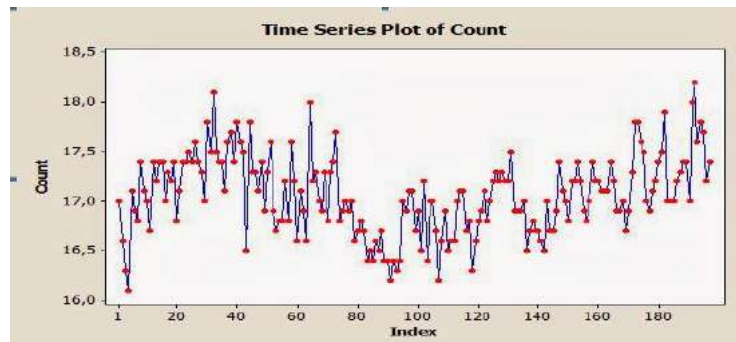
Ada beberapa ketentuan untuk menstabilkan variansi:

1. Transformasi boleh dilakukan hanya untuk deret Z_t yang positif
2. Transformasi dilakukan sebelum melakukan diferensiasi dan pemodelan deret waktu
3. Nilai λ dipilih berdasarkan *Sum of Square Error* (SSE) dari deret hasil transformasi. Nilai SSE terkecil memberikan hasil variansi paling konstan

$$SSE = \sum_{t=1}^n (Z_t(\lambda) - \hat{\mu})^2$$

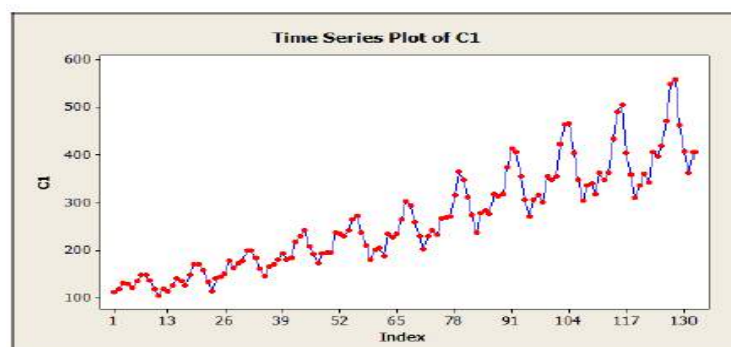
4. Transformasi tidak hanya menstabilkan variansi, tetapi juga dapat menormalkan distribusi.¹⁹

Secara visual, bentuk diagram deret waktu dapat memberikan gambaran tentang stasioner atau tidaknya suatu deret waktu.



Gambar 2.2 : Diagram deret waktu non stasioner dalam rata-rata

Jika hal yang terjadi adalah seperti Gambar 2.2 di atas, maka untuk menstasionerkan data hanya dilakukan diferensiasi pada data awal. Jika setelah melakukan diferensiasi plot data masih menunjukkan data belum stasioner, maka lakukan diferensiasi pada data sebelumnya sampai data stasioner.

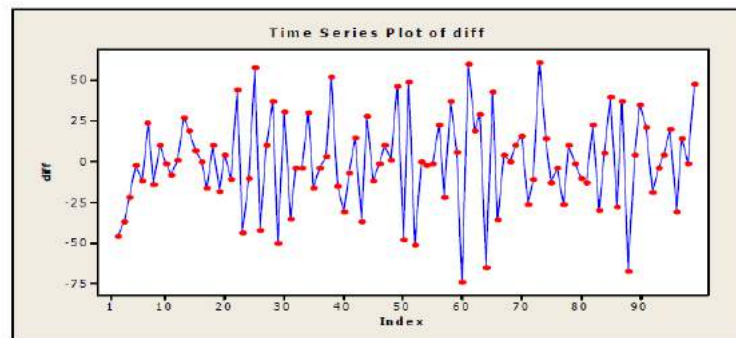


Gambar 2.3 : Diagram data deret waktu non stasioner dalam rata-rata dan variasi

Berbeda dengan Gambar 2.3 di atas, dimana plot menunjukkan bahwa data belum stasioner dalam rata-rata maupun variansinya. Untuk mengatasi hal ini,

¹⁹ Aswi dan Sukarna, *Analisis Deret Waktu: Teori dan Aplikasi*, ed. Arif Tiro. (Makassar: Andira Publisher, 2006), h. 92

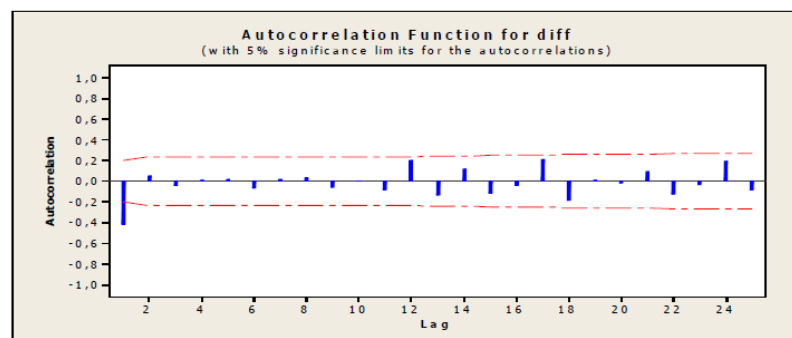
maka dilakukan transformasi terlebih dahulu. Jika plot data belum menunjukkan stasionernya data, maka dilanjutkan dengan diferensiasi data dari hasil transformasi hingga data stasioner.



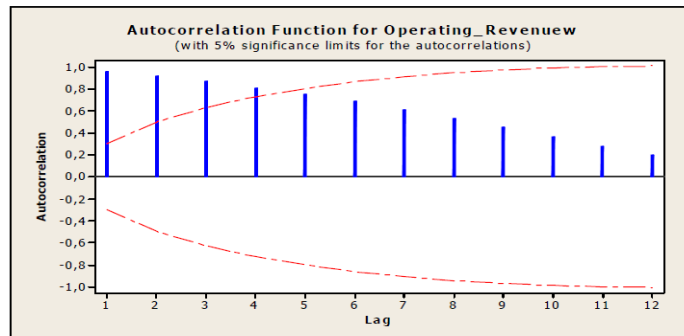
Gambar 2.4 : Diagram data deret waktu stasioner dalam rata-rata dan variasi

Jika plot data menunjukkan seperti Gambar 2.4 di atas, maka data dianggap aman dan dapat dilakukan proses peramalan.

Selain dari plot deret waktu, stasioner dapat dilihat dari plot *Autocorrelation Function (ACF)* data tersebut.



Gambar 2.5 : Diagram ACF data deret waktu stasioner



Gambar 2.6 : Diagram ACF data deret waktu non stasioner

Apabila plot data *Autocorrelation Function (ACF)* turun mendekati nol secara cepat (Gambar 2.5), pada umumnya setelah *lag* kedua atau ketiga maka dapat dikatakan stasioner. sebaliknya, jika plot data turun secara bertahap (Gambar 2.6) maka dapat dikatakan data belum stasioner.

Definisi dari *invertible* yaitu:

Definisi 2.4

suatu proses ARMA (p,q) didefinisikan dengan persamaan

$$\phi(B)Z_t = \theta(B)a_t$$

Dengan

$$\phi(B) = (1 - \phi_1 B - \dots - \phi_p B^p)$$

$$\theta(B) = (1 - \theta_1 B - \dots - \theta_p B^p)$$

Disebut *invertible* jika terdapat barisan konstanta $\{k_p\}$ sedemikian sehingga

$$\sum_{p=0}^{\infty} k_p^2 < \infty \text{ dan } a_t = \sum_{p=0}^{\infty} k_p Z_{t-p}, t \in T, k_0 = 1 \text{ (proses AR}(\infty)\text{).}^{20}$$

Kondisi dapat diinverskan (*invertibility*) independen terhadap kondisi stasioneritas dan dapat digunakan juga pada model-model yang tak stasioner.

Ide dasar dari *invertible* adalah:

²⁰ Dedi Rosadi, *Diktat Kuliah: Pengantar Analisa Runtun Waktu* (Yogyakarta: UGM, 2006), h. 6

Misalkan:

$$Z_t = (1 - \theta B)a_t$$

$$a_t = \left(\frac{1}{(1 - \theta B)} \right) Z_t \quad (4)$$

Sesuai dengan rumus deret geometri tak terhingga $S_\infty = U_1 + U_2 + \dots$ dimana

$$S_\infty = \frac{a}{1-r} \text{ dan } U_n = ar^{n-1} \text{ dari persamaan (4) dapat diperoleh } a = 1 \text{ dan } r = \theta B,$$

maka persamaan (4) dapat dituliskan sebagai berikut

$$a_t = (1 + \theta B + \theta^2 B^2 + \dots + \theta^k B^k + \theta^{k+1} B^{k+1} + \dots) Z_t$$

$$a_t = \{(1 + \theta B + \theta^2 B^2 + \dots + \theta^k B^k)(1 + \theta^{k+1} B^{k+1} + \theta^{2k+2} B^{2k+2} + \dots)\} Z_t$$

Dimana $(1 + \theta^{k+1} B^{k+1} + \theta^{2k+2} B^{2k+2} + \dots) = \frac{1}{(1 - \theta^{k+1} B^{k+1})}$, pada deret tak

terhingga

$$a_t = \left\{ (1 + \theta B + \theta^2 B^2 + \dots + \theta^k B^k) \left(\frac{1}{(1 - \theta^{k+1} B^{k+1})} \right) \right\} Z_t$$

$$a_t = \left(\frac{1 + \theta B + \theta^2 B^2 + \dots + \theta^k B^k}{(1 - \theta^{k+1} B^{k+1})} \right) Z_t$$

$$a_t(1 - \theta^{k+1} B^{k+1}) = (1 + \theta B + \theta^2 B^2 + \dots + \theta^k B^k) Z_t$$

$$a_t - \theta^{k+1} a_{t-k-1} = Z_t + \theta Z_{t-1} + \theta^2 Z_{t-2} + \dots + \theta^k Z_{t-k}$$

$$Z_t = -\theta Z_{t-1} - \theta^2 Z_{t-2} - \dots - \theta^k Z_{t-k} + a_t - \theta^{k+1} a_{t-k-1} \quad (5)$$

Jika $|\theta| \geq 1$ maka deviasi pada persamaan (5) bergantung pada $Z_{t-1}, Z_{t-2}, \dots, Z_{t-k}$

dengan nilai bobot θ meningkat bila k meningkat, untuk menghindari hal ini

maka perlu disyaratkan bahwa $|\theta| < 1$ sehingga dapat dikatakan bahwa deret

tersebut dapat diinverskan (*invertibility*).

C. Rata-rata, Autokovariansi dan Autokorelasi

Suatu proses yang stasioner Z_t mempunyai rata-rata dan variansi yang konstan yakni rata-rata atau ekspektasi $E(Z_t) = \mu$ dan variansi $var(Z_t) = E(Z_t - \mu)^2 = \sigma^2$ serta kovariansi $cov(Z_t, Z_s) = \gamma_{t,s}$ adalah fungsi dari perbedaan waktu $|t - s|$. Estimasi untuk rata-rata adalah rata-rata sampel, yaitu:

$$\bar{Z} = \frac{1}{n} \sum_{t=1}^n Z_t \quad (6)$$

dimana n menyatakan banyaknya pengamatan deret waktu.²¹

Definisi kovariansi dari X dan Y adalah:

$$cov(X, Y) = [(X - \mu)(Y - \mu)]$$

maka kovariansi antara Z_t dan Z_{t-k} adalah

$$\gamma_k = cov(Z_t, Z_{t-k}) = [(Z_t - \mu)(Z_{t-k} - \mu)] \quad (7)$$

Sedangkan definisi korelasi antara X dan Y dinyatakan oleh besaran

$$\rho = \frac{cov(X, Y)}{\sqrt{var(x)}\sqrt{var(Y)}}$$

Maka korelasi antara Z_t dan Z_{t-k} adalah

$$\rho_k = \frac{cov(Z_t, Z_{t-k})}{\sqrt{var(Z_t)}\sqrt{var(Z_{t-k})}} = \frac{(Z_t - \bar{Z})(Z_{t-k} - \bar{Z})}{\sqrt{var(Z_t)}\sqrt{var(Z_{t-k})}} = \frac{\gamma_k}{\gamma_0} \quad (8)$$

Dengan catatan bahwa $var(Z_t) = var(Z_{t-k}) = \gamma_0$.

Adapun γ_k dinamakan fungsi autokovariansi dan ρ_k dinamakan fungsi autokorelasi pada analisis deret waktu, karena masing-masing menyatakan kovariansi dan korelasi antara Z_t dan Z_{t-k} dari proses yang sama, hanya dipisahkan oleh jarak waktu k (*lag k*).

²¹ Suyitno, "Pengestimasi Parameter Model *Autoregresif* pada Analisis Deret Waktu Univariat". *Mulawarman Scientifie*10, no. 2 (2011): h. 120

Untuk proses stasioner, fungsi autokovariansi γ_k dan autokorelasi ρ_k mempunyai sifat-sifat sebagai berikut:

$$\gamma_0 = \text{var}(Z_t) \quad ; \quad \rho_0 = 1$$

$$|\gamma_k| \leq \gamma_0 \quad ; \quad |\rho_k| \leq 1$$

$$\gamma_k = \gamma_{-k} \text{ dan } \rho_k = \rho_{-k} \text{ untuk semua } k.^{22}$$

D. ACF dan PACF

Beberapa konsep yang berkaitan dengan analisis deret waktu adalah *Autocorrelation Function* (ACF) atau fungsi autokorelasi dan *Partial Autocorrelation Function* (PACF) atau fungsi autokorelasi parsial. Autokorelasi merupakan korelasi atau hubungan antar data pengamatan suatu data deret waktu.

1. *Autocorrelation Function* (ACF)

Autokorelasi merupakan korelasi atau hubungan antar data pengamatan suatu data deret waktu. Koefisien korelasi merupakan statistik kunci dalam analisis deret waktu, yaitu menyatakan ukuran korelasi deret waktu itu dengan dirinya sendiri dengan selisih waktu (*lag*) 0, 1, 2 periode atau lebih. Untuk suatu pengamatan deret waktu Z_1, Z_2, \dots, Z_n , maka nilai autokorelasi antara Z_t dan Z_{t-k} dinamakan nilai autokorelasi *lag k* sampel atau penaksir (estimator) ρ_k adalah:

$$r_k = \hat{\rho}_k = \frac{\sum_{t=1}^{n-k} (Z_t - \bar{Z})(Z_{t-k} - \bar{Z})}{\sum_{t=1}^n (Z_t - \bar{Z})^2} \quad (9)$$

Taksiran kesalahan baku atau *standard error* dari r_k adalah:

²² Aswi dan Sukarna, *Analisis Deret Waktu: Teori dan Aplikasi*, ed. Arif Tiro (Makassar: Andira Publisher, 2006), h.10

$$S_{r_k} = \sqrt{\frac{1}{n} \left(1 + 2 \sum_{j=1}^{k-1} r_j^2 \right)} \quad (10)$$

Sedangkan untuk pengujian $r_k = 0$ atau $r_k \neq 0$ menggunakan statistik uji t yaitu:

$$t_{r_k} = \frac{r_k}{S_{r_k}}. \quad (11)$$

Diagram ACF dapat digunakan sebagai alat untuk mengidentifikasi kestasioneran data. Jika diagram ACF cenderung turun lambat atau turun secara linear, maka dapat disimpulkan data belum stasioner dalam rata-rata.²⁴

2. Partial Autocorrelation Function (PACF)

Ukuran korelasi yang lain pada analisis deret waktu adalah autokorelasi parsial. Autokorelasi parsial digunakan untuk mengukur tingkat korelasi antara Z_t dan Z_{t-k} , apabila pengaruh dari lag waktu 1, 2, ..., $k-1$ dianggap terpisah. Fungsi autokorelasi parsial adalah suatu fungsi yang menunjukkan besarnya korelasi antara pengamatan ke t yaitu Z_t dengan pengamatan waktu-waktu sebelumnya yaitu $Z_{t-1}, Z_{t-2}, \dots, Z_{t-k}$. Rumus autokorelasi parsial adalah:

$$\phi_{kk} = \text{corr}(Z_t, Z_{t-k} | Z_{t-1}, Z_{t-2}, \dots, Z_{t-k+1}) \quad (12)$$

Harga ϕ_{kk} dapat ditentukan melalui persamaan Yule-Walker sebagai berikut:

$$\rho_j = \phi_{k1}\rho_{j-1} + \phi_{k2}\rho_{j-2} + \dots + \phi_{kk}\rho_{j-k} \quad (13)$$

Untuk $j=1, 2, \dots, k$, berlaku persamaan sebagai berikut:

$$\rho_1 = \phi_{k1}\rho_0 + \phi_{k2}\rho_1 + \dots + \phi_{kk}\rho_{k-1}$$

²³ Suyitno, "Pengestimasi Parameter Model *Autoregresif* pada Analisis Deret Waktu Univariat". *Mulawarman Scientifie*10, no. 2 (2011): h. 121

²⁴ Aswi dan Sukarna, *Analisis Deret Waktu: Teori dan Aplikasi*, ed. Muhammad Arif Tiro. (Makassar: Andira Publisher, 2006) h. 13

$$\begin{aligned}\rho_2 &= \phi_{k1}\rho_1 + \phi_{k2}\rho_0 + \dots + \phi_{kk}\rho_{k-2} \\ &\vdots \\ \rho_k &= \phi_{k1}\rho_{k-1} + \phi_{k2}\rho_{k-2} + \dots + \phi_{kk}\rho_0\end{aligned}$$

Sistem persamaan di atas dapat ditulis dalam bentuk matriks sebagai berikut:

$$\begin{bmatrix} 1 & \rho_1 & \rho_2 & \rho_3 & \dots & \rho_{k-1} \\ \rho_1 & 1 & \rho_1 & \rho_2 & \dots & \rho_{k-2} \\ \vdots & \vdots & \vdots & \vdots & \vdots & \vdots \\ \rho_{k-1} & \rho_{k-2} & \rho_{k-3} & \rho_{k-4} & \dots & 1 \end{bmatrix} \begin{bmatrix} \phi_{k1} \\ \phi_{k2} \\ \vdots \\ \phi_{kk} \end{bmatrix} = \begin{bmatrix} \rho_1 \\ \rho_2 \\ \vdots \\ \rho_k \end{bmatrix} \quad (14)$$

Dengan menggunakan metode cramer, untuk $k = 1, 2, \dots$, diperoleh:

$$\begin{aligned}\phi_{11} &= \rho_1 \\ \phi_{22} &= \frac{\begin{bmatrix} 1 & \rho_1 \\ \rho_1 & \rho_2 \end{bmatrix}}{\begin{bmatrix} 1 & \rho_1 \\ \rho_1 & 1 \end{bmatrix}} \\ \phi_{33} &= \frac{\begin{bmatrix} 1 & \rho_1 & \rho_1 \\ \rho_1 & 1 & \rho_2 \\ \rho_2 & \rho_1 & \rho_3 \end{bmatrix}}{\begin{bmatrix} 1 & \rho_1 & \rho_2 \\ \rho_1 & 1 & \rho_1 \\ \rho_2 & \rho_1 & 1 \end{bmatrix}} \\ &\vdots \\ \phi_{kk} &= \frac{\begin{bmatrix} 1 & \rho_1 & \rho_2 & \rho_3 & \dots & \rho_1 \\ \rho_1 & 1 & \rho_1 & \rho_2 & \dots & \rho_2 \\ \vdots & \vdots & \vdots & \vdots & \vdots & \vdots \\ \rho_{k-1} & \rho_{k-2} & \rho_{k-3} & \rho_{k-4} & \dots & \rho_k \end{bmatrix}}{\begin{bmatrix} 1 & \rho_1 & \rho_2 & \rho_3 & \dots & \rho_{k-1} \\ \rho_1 & 1 & \rho_1 & \rho_2 & \dots & \rho_{k-2} \\ \vdots & \vdots & \vdots & \vdots & \vdots & \vdots \\ \rho_{k-1} & \rho_{k-2} & \rho_{k-3} & \rho_{k-4} & \dots & 1 \end{bmatrix}}.^{25} \quad (15)\end{aligned}$$

Pada tahun 1960 Durbin telah memperkenalkan metode yang lebih efisien untuk menyelesaikan persamaan Yule-Walker yaitu:

²⁵ Aswi dan Sukarna, *Analisis Deret Waktu: Teori dan Aplikasi*, ed. Muhammad Arif Tiro. (Makassar: Andira Publisher, 2006) h. 14-16

$$\phi_{kk} = \frac{\rho_k - \sum_{j=1}^{k-1} \phi_{k-1,j} \rho_{k-j}}{1 - \sum_{j=1}^{k-1} \phi_{k-1,j} \rho_j} \quad (16)$$

Dimana $\phi_{kj} = \phi_{k-1,j} - \phi_{kk} \phi_{k-1,k-j}$ untuk $j=1, 2, \dots, k-1$.

Taksiran kesalahan baku atau *standard error* dari r_{kk} adalah

$$S_{\phi_{kk}} = \sqrt{\frac{1}{n}} \quad (17)$$

Nilai statistik uji t untuk uji $\phi_{kk} = 0$ dan $\phi_{kk} \neq 0$ adalah

$$t_{\phi_{kk}} = \frac{\phi_{kk}}{S_{\phi_{kk}}} \quad (18)$$

E. *White Noise*

Suatu model bersifat *white noise* artinya residual dari model tersebut telah memenuhi asumsi identik (variasi residual homogen) serta independen (antar residual tidak berkorelasi). Suatu proses $\{a_t\}$ dinamakan *white noise process* (proses yang bebas dan identik) jika bentuk peubah acak yang berurutan tidak saling berkorelasi dan mengikuti distribusi tertentu. Rata-rata $E(a_t) = \mu_a$ dari proses ini diasumsikan bernilai nol dan mempunyai variansi yang konstan yaitu $var(a_t) = \sigma_a^2$ dan nilai kovariansi untuk proses ini $\gamma_k = cov(a_t, a_{t+k}) = 0$ untuk $k \neq 0$.²⁷

²⁶ Nofinda Dan Nuri, Peramalan Kunjungan Dengan Pendekatan Model SARIMA”. *Sains dan Seni ITS1*, no. 1(2012): h.30

²⁷ Atik Nurhayati, dkk, “Peramalan Menggunakan Model ARIMA Musiman dan Verifikasi Hasil Peramalan dengan Grafik Pengendalian Moving Range”. *Ekspensial4*, no. 1 (2013): h. 56

Berdasarkan definisi tersebut, dapat dikatakan bahwa suatu *white noise process* $\{a_t\}$ adalah stasioner dengan beberapa sifat berikut.

Fungsi Autokovariansi:

$$\gamma_k = \begin{cases} \sigma_a^2 & \text{untuk } k = 0 \\ 0 & \text{untuk } k \neq 0 \end{cases} \quad (19)$$

Fungsi autokorelasi:

$$\rho_k = \begin{cases} \sigma_a^2 & \text{untuk } k = 0 \\ 0 & \text{untuk } k \neq 0 \end{cases} \quad (20)$$

Fungsi autokorelasi parsial:

$$\phi_{kk} = \begin{cases} \sigma_a^2 & \text{untuk } k = 0 \\ 0 & \text{untuk } k \neq 0 \end{cases} \quad (21)$$

Dengan demikian, suatu deret waktu disebut *white noise* jika rata-rata dan variansinya konstan dan saling bebas.²⁸

F. Uji Normalitas Residu

Uji normalitas digunakan untuk mengetahui apakah populasi data berdistribusi normal atau tidak. Uji ini biasanya digunakan untuk mengukur data berskala ordinal, interval ataupun rasio. Apabila analisis menggunakan metode parametrik, maka persyaratan normalitas harus terpenuhi, yaitu data berasal dari distribusi normal. Apabila data dari setiap variabel tidak normal, maka pengujian hipotesis tidak dapat menggunakan statistik parametrik. Jika data berdistribusi normal, maka residu berada disekitar garis normal (Gambar 2.7).²⁹ Selain dari

²⁸Aswi dan Sukarna, *Analisis Deret Waktu: Teori dan Aplikasi*, ed. Muhammad Arif Tiro. (Makassar: Andira Publisher, 2006), h. 19-20

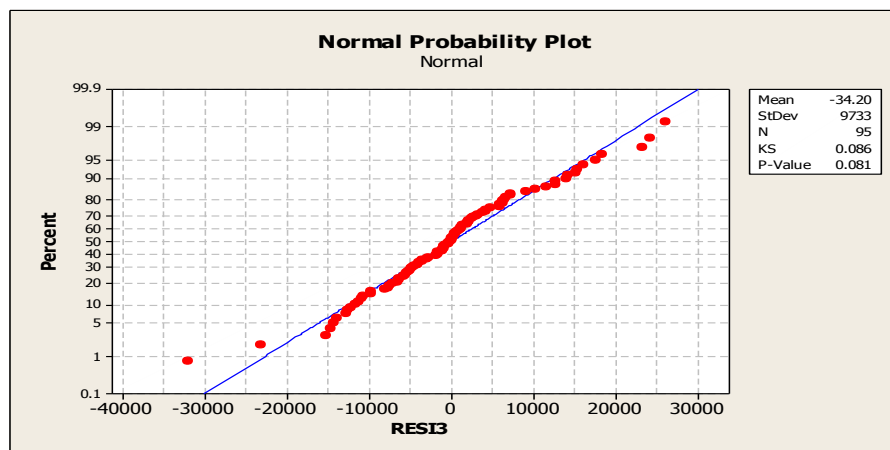
²⁹ Widodo, "Analisis Pengaruh Antara Faktor Pendidikan, Motivasi Dan Budaya Kerja Terhadap Kinerja Pegawai Dalam Pelaksanaan Pelayanan Publik" (2013): h. 9

grafik normalitas, suatu data yang berdistribusi normal juga dapat dilihat nilai p -value dari uji *Kolmogorov-Smirnov* sebagai berikut:

Hipotesis H_0 : Residual model berdistribusi normal

H_1 : Residual model tidak berdistribusi normal

Kriteria penolakan H_0 : p -value $< a$ dengan menggunakan $a = 0.05$.



Gambar 2.7 : grafik data berdistribusi normal

G. Metode Autoregressive Integrated Moving Average (ARIMA)

1. Model Autoregressive (AR)

Model AR (p) adalah model dimana Z_t merupakan fungsi dari data dimasa yang lalu, yakni $t - 1, t - 2, \dots, t - p$. Rumus umum dari model AR adalah:

$$Z_t = \phi_1 Z_{t-1} + \dots + \phi_p Z_{t-p} + a_t \quad (22)$$

$$Z_t - \phi_1 Z_{t-1} - \dots - \phi_p Z_{t-p} = a_t$$

Maka persamaan (22) dapat ditulis dalam bentuk

$$(1 - \phi_1 B - \dots - \phi_p B^p) Z_t = a_t$$

dimana $BZ_t = Z_{t-1}$

atau

$$\phi_p(B)Z_t = a_t \quad (23)$$

Dengan $\phi_p(B) = (1 - \phi_1 B - \dots - \phi_p B^p)$

Model ini menyatakan hubungan antara peubah tak bebas Z terhadap himpunan peubah bebas Z_{t-p} ditambah sebuah suku yang menyatakan error a , model ini sering kali dinyatakan sebagai model regresi dan dikatakan Z diregresikan terhadap Z_{t-p} .³⁰

Apabila kedua ruas pada persamaan (22) dikalikan dengan Z_{t-k} hasilnya

$$Z_t Z_{t-k} = \phi_1 Z_{t-1} Z_{t-k} + \dots + \phi_p Z_{t-p} Z_{t-k} + a_t Z_{t-k} \quad (24)$$

Jika persamaan (24) kedua ruas diekspektasikan, maka

$$E[Z_t Z_{t-k}] = \phi_1 E[Z_{t-1} Z_{t-k}] + \dots + \phi_p E[Z_{t-p} Z_{t-k}] + E[a_t Z_{t-k}] \quad (25)$$

Karena nilai residu (a_t) bersifat random dan tidak berkorelasi dengan Z_{t-k} maka $E[a_t Z_{t-k}]$ adalah nol untuk $k > 0$, maka persamaan (25) menjadi

$$\gamma_k = \phi_1 \gamma_{k-1} + \dots + \phi_p \gamma_{k-p} \quad k > 0 \quad (26)$$

Jika kedua ruas pada persamaan (26) dibagi dengan γ_0 , maka diperoleh

$$\frac{\gamma_k}{\gamma_0} = \frac{\phi_1 \gamma_{k-1} + \dots + \phi_p \gamma_{k-p}}{\gamma_0}$$

atau

$$\rho_k = \phi_1 \rho_{k-1} + \dots + \phi_p \rho_{k-p} \quad k > 0 \quad (27)$$

2. Model Moving Average (MA)

Moving Average (MA) adalah upaya untuk memuluskan data sebuah deret waktu, dengan tujuan menghilangkan atau meminimalisir dampak dari faktor

³⁰ Siana Halim, *Diktat: Time Series Analysis* (Surabaya, 2006), h.5

siklis, musiman dan random, sehingga pada akhirnya didapat sebuah *trend* (arah kecenderungan data untuk jangka panjang). Adanya faktor siklis dan musiman membuat data deret waktu berfluktuasi (naik-turun) atau jika ditampilkan dalam sebuah grafik, data akan tampak bergelombang. Dengan melakukan *Moving Average*, yakni rata-rata data yang dipengaruhi data sebelum dan sesudahnya secara terbatas, maka diharapkan data menjadi lebih *smooth* (landai), sehingga fluktuasi data akan bisa dikurangi.³¹

Model *MA* (q) adalah model untuk memprediksi Z_t sebagai fungsi dari kesalahan prediksi dimasa lalu (*past forecast error*) dalam memprediksi Z_t . Secara umum model *MA* (q) adalah sebagai berikut:

$$Z_t = a_t - \theta_1 a_{t-1} - \dots - \theta_q a_{t-q} \quad (28)$$

Persamaan (28) dapat ditulis dalam bentuk:

$$Z_t = (1 - \theta_1 B - \dots - \theta_q B^q) a_t$$

Dimana $B a_t = a_{t-1}$

atau

$$Z_t = \theta_q (B) a_t \quad (29)$$

dengan $\theta_q (B) = (1 - \theta_1 B - \dots - \theta_q B^q)$. Apabila kedua ruas pada persamaan (28) dikalikan dengan Z_{t-k} , maka hasilnya

$$Z_t Z_{t-k} = (a_t - \theta_1 a_{t-1} - \dots - \theta_q a_{t-q})(a_{t-k} - \theta_1 a_{t-k-1} - \dots - \theta_q a_{t-k-q}) \quad (30)$$

kemudian kedua ruas pada persamaan (30) dilakukan ekspektasi, sehingga persamaan tersebut menjadi

³¹ Singgih Santoso, *Statistik Parametrik : Konsep Dan Aplikasi Dengan SPSS*, Edisi Revisi (Jakarta: Elex Media Komputindo, 2014), h. 198

$$E[Z_t Z_{t-k}] = E[(a_t - \theta_1 a_{t-1} - \dots - \theta_q a_{t-q})(a_{t-k} - \theta_1 a_{t-k-1} - \dots - \theta_q a_{t-k-q})]$$

Atau dapat ditulis dengan bentuk

$$\begin{aligned} \gamma_k = E[& (a_t a_{t-k} - \theta_1 a_t a_{t-k-1} - \dots - \theta_q a_t a_{t-k-q} - \theta_1 a_{t-1} a_{t-k} \\ & + \theta_1^2 a_{t-1} a_{t-k-1} + \dots + \theta_1 a_{t-1} a_{t-k-q} - \dots + \dots + \dots + \dots \\ & - \theta_q a_{t-q} a_{t-k} + \theta_q a_{t-q} \theta_1 a_{t-k-1} + \dots + \theta_q^2 a_{t-q} a_{t-k-q})] \quad (31) \end{aligned}$$

Jika nilai k pada persamaan (31) adalah $k = 0$ dan $cov(a_i a_j) = 0$

untuk $i \neq j$ untuk semua i dimana $E[a_i a_j] = \sigma_{ij}$,³² maka

$$\gamma_0 = E[(a_t a_{t-0} + \theta_1^2 a_{t-1} a_{t-0-1} + \dots + \theta_q^2 a_{t-q} a_{t-0-q})] \quad (32)$$

dan untuk $i = j$ nilai $E[a_i a_j] = \sigma_a^2$,³³ maka persamaan (32) menjadi

$$\begin{aligned} \gamma_0 &= \sigma_a^2 + \theta_1^2 \sigma_a^2 + \theta_2^2 \sigma_a^2 + \dots + \theta_q^2 \sigma_a^2 \\ &= (1 + \theta_1^2 + \theta_2^2 + \dots + \theta_q^2) \sigma_a^2 \quad (33) \end{aligned}$$

Oleh karena itu, varians dari proses MA(q) adalah $\gamma_0 = (1 + \theta_1^2 + \theta_2^2 + \dots + \theta_q^2) \sigma_a^2$. Karena $1 + \theta_1^2 + \theta_2^2 + \dots + \theta_q^2 < \infty$, proses *moving average* berhingga selalu stasioner.

Jika nilai k pada persamaan (31) adalah $k = 1$ maka

$$\begin{aligned} \gamma_1 &= E[(-\theta_1 a_{t-1} a_{t-1} + \theta_1 \theta_2 a_{t-2} a_{t-1-1} + \dots + \theta_{q-1} \theta_q a_{t-q} a_{t-q})] \\ &= -\theta_1 E[a_{t-1} a_{t-1}] + \theta_1 \theta_2 E[a_{t-2} a_{t-2}] + \dots + \theta_{q-1} \theta_q E[a_{t-q} a_{t-q}] \\ &= -\theta_1 \sigma_a^2 + \theta_1 \theta_2 \sigma_a^2 + \dots + \theta_{q-1} \theta_q \sigma_a^2 \\ &= (-\theta_1 + \theta_1 \theta_2 + \dots + \theta_{q-1} \theta_q) \sigma_a^2. \end{aligned}$$

³² Nadia Utika Putri, dkk., "Permasalahan Autokorelasi pada Analisis Regresi Linear Sederhana". *Matematika UNAND2*, no.2: h.29

³³ Arif Tiro, dkk., *Pengantar Teori Peluang*, (Makassar: Andira Publisher, 2008), h. 140

Secara umum, jika nilai k pada persamaan (31) adalah $k = k$ maka

$$\gamma_k = (-\theta_k + \theta_k\theta_{k+1} + \dots + \theta_{q-k}\theta_q) \sigma_a^2 \quad (34)$$

Sehingga didapatkan fungsi autokovarians dari proses MA(q) adalah

$$\gamma_k = \begin{cases} (-\theta_k + \theta_k\theta_{k+1} + \dots + \theta_{q-k}\theta_q) \sigma_a^2 & k = 1, 2, \dots, q \\ 0 & k > q \end{cases} \quad (35)$$

Dengan membagi persamaan (35) dengan persamaan (33) maka fungsi autokorelasi dari proses MA(q) adalah

$$\rho_k = \begin{cases} \frac{(-\theta_k + \theta_k\theta_{k+1} + \dots + \theta_{q-k}\theta_q) \sigma_a^2}{(1 + \theta_1^2 + \theta_2^2 + \dots + \theta_q^2) \sigma_a^2} & k = 1, 2, \dots, q \\ 0 & k > q \end{cases} \quad (36)$$

3. Model ARMA

Model ARMA(p,q) merupakan kombinasi dari model AR(p) dan MA(q), yaitu:

$$Z_t = \phi_1 Z_{t-1} + \dots + \phi_p Z_{t-p} + a_t - \theta_1 a_{t-1} - \dots - \theta_q a_{t-q} \quad (37)$$

$$Z_t - \phi_1 Z_{t-1} - \dots - \phi_p Z_{t-p} = a_t - \theta_1 a_{t-1} - \dots - \theta_q a_{t-q}$$

Persamaan (37) dapat ditulis dalam bentuk

$$(1 - \phi_1 B - \dots - \phi_p B^p) Z_t = (1 - \theta_1 B - \dots - \theta_q B^q) a_t$$

atau

$$\phi_p(B) Z_t = \theta_q(B) a_t \quad (38)$$

Apabila kedua ruas pada persamaan (37) dikalikan dengan Z_{t-k} hasilnya

$$\begin{aligned} Z_t Z_{t-k} &= \phi_1 Z_{t-1} Z_{t-k} + \dots + \phi_p Z_{t-p} Z_{t-k} + a_t Z_{t-k} - \theta_1 a_{t-1} Z_{t-k} - \dots \\ &\quad - \theta_q a_{t-q} Z_{t-k} \end{aligned} \quad (39)$$

Jika persamaan (39) diekspektasikan maka

$$\begin{aligned} \gamma_k = \phi_1 \gamma_{k-1} + \dots + \phi_p \gamma_{k-p} + E[a_t Z_{t-k}] - \theta_1 E[a_{t-1} Z_{t-k}] - \dots \\ - \theta_q E[a_{t-q} Z_{t-k}] \end{aligned} \quad (40)$$

Karena $E[a_{t-i} Z_{t-k}] = 0$ untuk $k > i$, maka fungsi autokovariansi dari proses ini dapat ditulis

$$\gamma_k = \phi_1 \gamma_{k-1} + \dots + \phi_p \gamma_{k-p} \quad k \geq (q + 1) \quad (41)$$

Oleh karena itu, fungsi autokorelasi dapat ditulis dengan

$$\rho_k = \phi_1 \rho_{k-1} + \dots + \phi_p \rho_{k-p} \quad k \geq (q + 1) \quad (42)$$

4. Model ARIMA

Model *Autoregressive Integrated Moving Average* (ARIMA) yang dikembangkan oleh George Box dan Gwilyn Jenkins pada tahun 1976 merupakan model yang tidak mengasumsikan pola tertentu pada data historis yang diramalkan dan model yang secara penuh mengabaikan variabel bebas dalam membuat peramalan karena model ini menggunakan nilai sekarang dan nilai-nilai lampau dari variabel terikat untuk menghasilkan peramalan jangka pendek yang akurat. ARIMA yang juga sering disebut metode deret waktu Box-Jenkins sebenarnya adalah teknik untuk mencari pola yang paling cocok dari sekelompok data (*curve fitting*), dengan demikian ARIMA memanfaatkan sepenuhnya data masa lalu dan sekarang dengan variabel dependen untuk melakukan peramalan jangka pendek yang akurat sedangkan untuk peramalan jangka panjang ketepatan peramalannya kurang baik. Model ARIMA merupakan model gabungan antara

Autoregressive (AR) dan *Moving Average* (MA) dimana model ini mampu mewakili deret waktu yang stasioner dan non-stasioner.³⁴

Dalam ARIMA dikenal adanya konstanta p, d dan q. dimana p dikenal dengan konstanta untuk *Autoregressive*, d dikenal dengan konstanta untuk diferensiasi membuat data menjadi stasioner, sedangkan q adalah konstanta untuk tingkat *Moving Average*. Nilai konstanta p dan q biasanya didapatkan dari estimasi gambar ACF dan PACF. Sedangkan untuk nilai d umumnya dilakukan dengan trial error terhadap nilai p dan q yang sudah didapatkan. Secara umum model ARIMA dirumuskan dengan notasi berikut:

$$ARIMA(p, d, q)$$

Model ARIMA dinotasikan sebagai ARIMA (p,d,q) dimana apabila d=0 dan q=0, maka model *Autoregressive* dinotasikan sebagai AR (p). Apabila p=0 dan d=0, maka model *Moving Average* dinotasikan sebagai MA (q).³⁵

Model ARIMA dilakukan pada data stasioner atau data yang tidak stasioner. Data deret waktu lebih banyak bersifat tidak stasioner sehingga harus melalui proses *differencing* sebanyak d kali agar menjadi stasioner. Rumus umum dari model ARIMA (p,d,q) adalah sebagai berikut:

$$\phi_p(B)(1 - B)^d Z_t = \theta_q(B)a_t \quad (43)$$

dengan:

$$\phi_p(B) = (1 - \phi_1 B - \dots - \phi_p B^p), AR(p)$$

³⁴ Melly Sari Br Meliala, “Sistem Aplikasi *Forecasting* Penjualan Elektronik pada Toko Nasiaoanal Elektronik Kabanjahe dengan Metode *Autoregressive Integrated Moving Average* (ARIMA)”. *Pelita Informatika Budi Darma*4, no. 1 (2014): h. 169

³⁵ Yudi Wibowo, “Ánalisis data Runtun Waktu Menggunakan Metode Wafalet Theresolding”. *Gaussian*1, no.1(2012), h.250

$$\theta_p(B) = (1 - \theta_1 B - \dots - \theta_q B^q), MA(q)$$

$(1 - B)^d$: differencing orde d

a_t : nilai residual pada saat t

Berdasarkan pendekatan Box-Jenkins dalam melakukan analisis deret waktu terdapat empat tahapan, yaitu:

1. Pengidentifikasi model

Sebelum melakukan analisis lanjutan terhadap data deret waktu, hal yang paling penting dilakukan adalah mengidentifikasi karakteristik data. Penetapan karakteristik seperti stasioner, musiman, non-musiman dan sebagainya memerlukan suatu pendekatan yang sistematis dan ini akan menolong untuk mendapatkan gambaran yang jelas mengenai model-model yang akan digunakan.

2. Pendugaan parameter model

Untuk mendapatkan besaran koefisien model, maka dilakukan penaksiran. Penaksiran ini dapat dilakukan dengan menggunakan beberapa metode, salah satunya adalah metode momen. Metode ini merupakan metode yang paling mudah untuk diterapkan, dimana taksiran parameter berdasar pada hubungan:

$$\mu = \bar{Z} = \frac{\sum_{t=1}^n Z_t}{n} \text{ dan } \rho_k = r_k$$

Sebagai contoh adalah penaksiran parameter untuk model MA(1).

Berdasarkan persamaan (36) untuk $k = 1$, maka:

$$\rho_1 = \frac{-\theta_1}{1 + \theta_1^2}$$

Atau

$$\rho_1 + \rho_1 \theta_1^2 + \theta_1 = 0 \tag{44}$$

Bila ρ_1 diganti oleh nilai penaksirnya r_1 , diperoleh

$$r_1 + r_1\theta_1^2 + \theta_1 = 0 \quad (45)$$

Persamaan (45) diatas merupakan bentuk dari persamaan kuadrat, sehingga untuk mendapatkan nilai dari θ_1 dapat digunakan rumus ABC yaitu

$$\hat{\theta}_1 = \frac{-b \pm \sqrt{b^2 - 4a.c}}{2a}$$

Dari persamaan (45) dapat diketahui nilai $a = r_1$, $b = 1$ dan $c = r_1$. Maka nilai taksiran model MA(1) adalah

$$\hat{\theta}_1 = \frac{-1 \pm \sqrt{1 - 4r_1^2}}{2r_1} \quad (46)$$

3. Pemeriksaan diagnostik

a. Uji Kesignifikanan Parameter

Model ARIMA yang baik dapat menggambarkan suatu kejadian adalah model yang salah satunya menunjukkan bahwa penaksiran parameternya signifikan berbeda dengan nol. Secara umum, misalkan θ adalah suatu parameter pada model ARIMA dan $\hat{\theta}$ adalah nilai taksiran parameter tersebut, serta $SE(\hat{\theta})$ adalah *standard error* dari nilai taksiran, maka uji signifikan dapat dilakukan dengan tahapan sebagai berikut:

Hipotesis : $H_0 : \hat{\theta} = 0$

$H_1 : \hat{\theta} \neq 0$

Statistik Uji : $t = \frac{\hat{\theta}}{SE(\hat{\theta})}$

Daerah penolakan : tolak H_0 jika $|t| > t_{\alpha/2}$; $df = n - n_p =$ banyaknya parameter atau dengan menggunakan nilai-p (*p-value*), yakni tolak H_0 jika nilai-p $< \alpha$.

b. Uji Kesesuaian Model

- Uji Sisa *White Noise*

Uji sisa *white noise* dapat dituliskan sebagai berikut:

Hipotesis H_0 : model sudah memenuhi syarat cukup (sisa memenuhi syarat *white noise*)

H_1 : model belum memenuhi syarat cukup (sisa tidak *white noise*)

Statistik uji *Ljung Box* atau *Box-Pierce Modified*:

$$Q^* = n(n+2) \sum_{k=1}^K \frac{\hat{\rho}_k^2}{(n-k)}$$

$$\text{Dimana } \hat{\rho}_k^2 = \frac{\sum_{t=1}^{n-k} (\hat{a}_t - \bar{a})(\hat{a}_{t+k} - \bar{a})}{\sum_{t=1}^n (\hat{a}_t - \bar{a})^2}$$

Daerah Penolakan tolak H_0 jika $Q^* > \chi_{\alpha, df=K-m}^2$. K berarti pada lag K dan m adalah jumlah parameter yang ditaksir dalam model atau dengan menggunakan nilai-p (*p-value*), yakni tolak H_0 jika nilai-p $< \alpha$.

- Uji Asumsi Distribusi Normal

Uji asumsi ini bertujuan untuk mengetahui apakah data telah memenuhi asumsi kenormalan atau belum. Uji Kolmogorof Smirnov dapat digunakan untuk mengambil keputusan sebagai berikut:

Hipotesis H_0 : Residual model berdistribusi normal

H_1 : Residual model tidak berdistribusi normal

Kriteria penolakan H_0 : $p\text{-value} < \alpha$ dengan menggunakan $\alpha = 0.05$.

4. Peramalan

Model peramalan yang diterima digunakan untuk menghasilkan ramalan nilai mendatang.³⁶

Secara umum kondisi/ syarat kestasioneran dan *invertibility* untuk beberapa model non-musiman dituliskan dalam tabel 2.2, sedangkan bentuk ACF dan PACF dari model ARIMA (p,0,q) yang stasioner dapat dituliskan dalam tabel 2.3.

Tabel 2.2 Kondisi kestasioneran dan *invertibility* untuk beberapa model non-musiman

Model	Syarat Kestasioneran	Syarat <i>Invertibility</i>
$MA(1)$ $Z_t = a_t - \theta_1 a_{t-1}$	Tidak Ada	$ \theta_1 < 1$
$MA(2)$ $Z_t = a_t - \theta_1 a_{t-1} - \theta_2 a_{t-2}$	Tidak Ada	$\theta_1 + \theta_2 < 1$ $\theta_2 - \theta_1 < 1$ $ \theta_2 < 1$
$AR(1)$ $Z_t = \phi_1 Z_{t-1} + a_t$	$ \phi_1 < 1$	Tidak Ada
$AR(2)$ $Z_t = \phi_1 Z_{t-1} + \phi_2 Z_{t-2} + a_t$	$\phi_1 + \phi_2 < 1$ $\phi_2 - \phi_1 < 1$ $ \phi_2 < 1$	Tidak Ada
$ARMA(1,1)$ $Z_t = a_t - \theta_1 a_{t-1} + \phi_1 Z_{t-1}$	$ \phi_1 < 1$	$ \theta_1 < 1$

³⁶ M
1982), h. 234

t: Erlangga,

Tabel 2.3. Bentuk ACF dan PACF dari model ARIMA (p,0,q) yang stasioner

Model ARIMA	ACF	PACF
AR(p)	Turun secara eksponensial (sinusoida) menuju 0 dengan bertambahnya k (<i>dies down</i>)	Terpotong secara <i>lag p</i> (<i>lag</i> 1,2,3,...,p yang signifikan berbeda dengan 0) (<i>cut off after lag p</i>)
MA(q)	<i>cut off after lag p</i>	<i>dies down</i>
ARMA(p,q)	<i>dies down</i>	<i>dies down</i>

H. Model Seasonal Autoregressive Integrated Moving Average (SARIMA)

Sacara umum, model *Seasonal* ARIMA dinotasikan sebagai berikut:

$$ARIMA(p, d, q)(P, D, Q)^S$$

dengan (p, d, q) : bagian tidak musiman dari model

(P, D, Q) : bagian musiman dari model

S : jumlah periode permusim

dan bentuk model SARIMA adalah:

$$\phi_p(B)\Phi_P(B^S)(1-B)^d(1-B^S)^D Z_t = \theta_q(B)\Theta_Q(B^S)a_t \quad (47)$$

1. Model ARIMA (P, D, Q)^S Musiman Non Multiplikatif Stasioner

a. Model ARIMA (P, 0, 0)^s

Suatu proses Z_t mengikuti model ARIMA (P, 0, 0)^s apabila

$$Z_t = \Phi_1 Z_{t-s} + a_t \quad (48)$$

b. Model ARIMA (0, 0, Q)^s

Suatu proses Z_t mengikuti model ARIMA (0, 0, Q)^s apabila

$$Z_t = a_t - \Theta_1 Z_{t-s} \quad (49)$$

c. Model ARIMA (P, 0, Q)^s

Suatu proses Z_t mengikuti model ARIMA (P, 0, Q)^s apabila

$$Z_t = \Phi_1 Z_{t-s} + a_t - \Theta_1 Z_{t-s} \quad (50)$$

2. Model ARIMA (P, D, Q)^s Musiman Non-multiplikatif Non-Stasioner

Suatu proses Z_t mengikuti model ARIMA yang non-stasioner dalam rata-rata musiman jika orde D berbeda dengan nol. Model umum untuk ARIMA (P, D, Q)^s adalah

$$\Phi_P(B^s)(1 - B^s)^D Z_t = \Theta_Q(B^s)a_t \quad (51)$$

3. Model ARIMA (p, d, q)(P, D, Q)^s Musiman Multiplikatif Stasioner

a. Model ARIMA (p, 0, 0)(P, 0, 0)^s

Suatu proses Z_t mengikuti model ARIMA (p, 0, 0)(P, 0, 0)^s apabila

$$(1 - \phi_1 B)(1 - \Phi_1 B^s)Z_t = a_t$$

$$Z_t = \phi_1 Z_{t-1} + \Phi_1 Z_{t-s} - \phi_1 \Phi_1 Z_{t-(s+1)} + a_t \quad (52)$$

b. Model ARIMA (0, 0, q)(0, 0, Q)^s

Suatu proses Z_t mengikuti model ARIMA $(0, 0, q)(0, 0, Q)^s$ apabila

$$\begin{aligned} Z_t &= (1 - \theta_1 B)(1 - \Theta_1 B^s) a_t \\ &= a_t - \theta_1 a_{t-1} - \Theta_1 a_{t-s} + \theta_1 \Theta_1 a_{t-(s+1)} \end{aligned} \quad (53)$$

c. Model ARIMA $(0, 0, q)(P, 0, 0)^s$

Suatu proses Z_t mengikuti model ARIMA $(0, 0, q)(P, 0, 0)^s$ apabila

$$\begin{aligned} (1 - \Phi_1 B^s) Z_t &= (1 - \theta_1 B) a_t \\ Z_t &= \Phi_1 Z_{t-s} + a_t - \theta_1 a_{t-1} \end{aligned} \quad (54)$$

d. Model ARIMA $(p, 0, 0)(0, 0, Q)^s$

Suatu proses Z_t mengikuti model ARIMA $(p, 0, 0)(0, 0, Q)^s$ apabila

$$\begin{aligned} (1 - \phi_1 B) Z_t &= (1 - \Theta_1 B^s) a_t \\ Z_t &= \phi_1 Z_{t-1} + a_t - \Theta_1 a_{t-s} \end{aligned} \quad (55)$$

4. Model ARIMA $(p, d, q)(P, D, Q)^s$ Musiman Non-Stasioner dalam Rata-rata Non-musiman

Bentuk umum model ARIMA Box-Jenkins Musiman atau ARIMA $(p, d, q)(P, D, Q)^s$ seperti dituliskan pada persamaan (47) apabila orde d berbeda dengan nol, ini menunjukkan bahwa proses adalah non-stasioner dalam rata-rata non-musiman. Secara umum model yang termasuk dalam kelompok ini adalah model ARIMA dengan orde $(p, d, q)(P, 0, Q)^s$.

5. Model ARIMA $(p, d, q)(P, D, Q)^s$ Musiman Non-Stasioner dalam Rata-rata Musiman

Bentuk umum model ARIMA Box-Jenkins Musiman atau *ARIMA* $(p, d, q)(P, D, Q)^s$ seperti dituliskan pada persamaan (47) apabila orde D berbeda dengan nol, ini menunjukkan bahwa proses adalah non-stasioner dalam rata-rata musiman. Secara umum model yang termasuk dalam kelompok ini adalah model ARIMA dengan orde $(p, 0, q)(P, D, Q)^s$.

6. Model *ARIMA*(p, d, q)(P, D, Q)^s Musiman Non-Stasioner dalam Rata-rata Non-musiman dan Rata-rata Musiman

Secara umum model yang termasuk dalam kelompok ARIMA musiman yang tidak stasioner dalam rata-rata non-musiman dan rata-rata musiman adalah model ARIMA dengan orde $(p, d, q)(P, D, Q)^s$.

I. Pemilihan Model Terbaik

Seperti diketahui bahwa tidak ada metode peramalan yang dapat dengan tepat meramalkan keadaan dimasa yang akan datang. Oleh karena itu, setiap metode peramalan pasti menghasilkan kesalahan. Jika tingkat kesalahan yang dihasilkan semakin kecil, maka hasil peramalan akan semakin mendekati tepat. Jika terdapat lebih dari satu model yang cocok untuk peramalan, untuk memilih model terbaik maka dapat dilihat dengan nilai kesalahan terkecil. Namun jika model peramalan yang cocok hanya satu, maka model itu merupakan model terbaik dan dapat digunakan untuk peramalan tanpa melihat nilai kesalahan. Alat ukur yang digunakan untuk menghitung kesalahan prediksi antara lain:

1. Mean Absolute Deviation (MAD)

$$MAD = \frac{1}{n} \sum_{t=1}^n |Z_t - \hat{Z}_t| \quad (56)$$

2. *Mean Absolute Percentage Error* (MAPE)

$$MAPE = \frac{100\%}{n} \sum_{t=1}^n \left| \frac{Z_t - \hat{Z}_t}{Z_t} \right| \quad (57)$$

3. *Mean Square Error* (MSE) dan *Standar Error Estimate* (SEE)

$$MSE = \frac{1}{n} \sum_{t=1}^n (Z_t - \hat{Z}_t)^2 \quad (58)$$

$$SEE = \sqrt{\frac{1}{n} \sum_{t=1}^n (Z_t - \hat{Z}_t)^2} \quad (59)$$

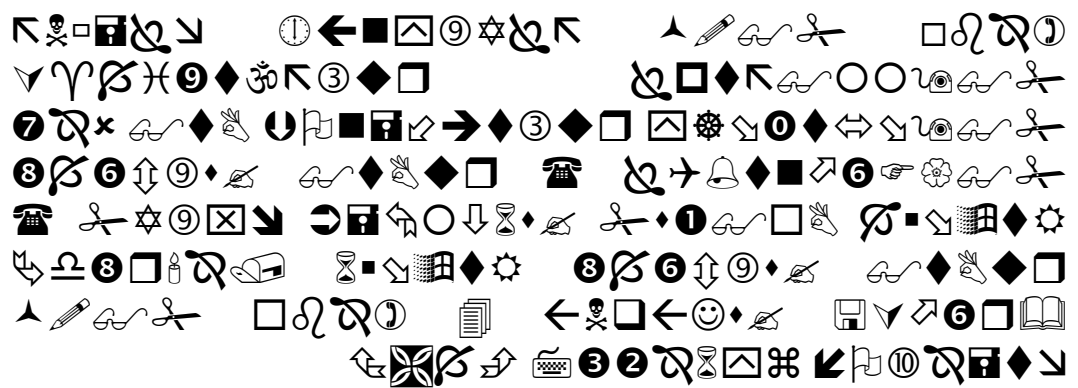
J. Peramalan

Peramalan merupakan suatu usaha untuk meramalkan keadaan dimasa akan datang melalui pengujian keadaan dimasa lalu. Esensi peramalan adalah perkiraan peristiwa-peristiwa diwaktu yang akan datang atas dasar pola-pola diwaktu yang lalu, dan penggunaan kebijakan terhadap proyeksi-proyeksi dengan pola-pola diwaktu yang lalu. Peramalan adalah seni dan ilmu untuk memperkirakan kejadian dimasa depan. Hal ini dapat dilakukan dengan melibatkan pengambilan data masa lalu dan menempatkannya ke masa yang akan datang dengan suatu bentuk model matematis.³⁸

³⁷ Ali Baroroh. *Analisis Multivariat Dan Time Series Dengan SPSS 21*. Jakarta: Gramedia, 2013), h.144-146

³⁸ Heri Prasetya Dan Fitri Lukiastuti, *Manajemen Operasi* (Yogyakarta: Medpress, 2009), H. 43

Kegunaan paramalan dalam suatu penelitian adalah melakukan analisa terhadap situasi yang diteliti untuk memperkirakan situasi dan kondisi yang akan terjadi dari sesuatu yang diteliti di masa depan. Peramalan merupakan suatu alat bantu yang penting dalam perencanaan. Dalam hal ini penyusunan suatu rencana untuk mencapai tujuan atau sasaran terdapat perbedaan waktu antara kegiatan apa saja yang perlu dilakukan, kapan waktu pelaksanaan dan oleh siapa dilaksanakan perencanaan dan peramalan sangat erat kaitannya, ini dapat dilihat dalam hal penyusunan rencana, dimana dalam penyusunan ini melibatkan masalah peramalan juga. Dengan kata lain bahwa peramalan merupakan dasar untuk menyusun rencana. Akurat atau tidaknya suatu ramalan berbeda untuk setiap persoalan karena dipengaruhi oleh berbagai faktor sehingga tidak akan mungkin diperoleh hasil ramalan dengan ketepatan seratus persen. Allah berfirman dalam QS. Al Luqman/31 :34 sebagai berikut:



Terjemahnya:
 "Sesungguhnya Allah, Hanya pada sisi-Nya sajalah pengetahuan tentang hari Kiamat; dan Dia-lah yang menurunkan hujan, dan mengetahui apa yang ada dalam rahim. dan tiada seorangpun yang dapat mengetahui (dengan pasti) apa yang akan diusahakannya besok. dan tiada seorangpun yang dapat mengetahui di

bumi mana dia akan mati. Sesungguhnya Allah Maha mengetahui lagi Maha Mengenal".³⁹

Kandungan surah tersebut adalah menyangkut tentang pengetahuan Allah tentang hari kiamat, pengetahuan-Nya tentang turunnya hujan serta apa yang ada di dalam rahim yang tidak diketahui kecuali oleh Allah. Ayat di atas mengisyaratkan bahwa manusia dapat mengetahui sekelumit tentang hal-hal tersebut, bila Allah menyampaikan kepadanya melalui salah satu cara penyampaian, misalnya penelitian ilmiah. Namun, manusia hanya dapat mengetahui dalam kadar pengetahuan manusia, bukan pengetahuan Allah. Dua hal terakhir yang disebut pada ayat di atas tentang apa yang akan dikerjakan seseorang esok dan dimana dia akan mati. Mengenai hal tersebut, manusia tidak dapat mengetahui secara pasti dan rinci, apalagi hal-hal yang berada diluar diri manusia.⁴⁰

Pada ayat diatas dijelaskan bahwa hanya Allah lah yang mengetahui tentang hari kiamat, hujan dan apa yang ada didalam rahim. Tidak ada yang tahu persis apa yang akan terjadi besok, manusia hanya bisa merencanakan dan berusaha. Manusia juga tidak mengetahui kapan dirinya akan mati, karena semua itu adalah rahasia Allah apa yang ada dilangit dan dibumi.

Sebagai contoh:

I. Model AR(1)

model umum AR(1) dapat ditulis dalam bentuk:

$$Z_t - \mu = \phi_1(Z_{t-1} - \mu) + a_t \quad (60)$$

³⁹ Departemen Agama RI, *Al-Qur'an dan Terjemahannya*, (Bandung: CV Penerbit J-ART, 2005), h. 415

⁴⁰ M. Quraish Shihab, *Tafsir Al-Misbah Vol. 11*, (Jakarta: Lentera Hati, 2002), h.164-165

Untuk meramalkan satu tahap kedepan, indeks waktu t pada persamaan (60) diganti dengan $t+1$ maka:

$$Z_{t+1} - \mu = \phi_1(Z_{t-1+1} - \mu) + a_{t+1} \quad (61)$$

Dengan menggunakan pendekatan nilai harapan bersyarat untuk kedua sisi pada persamaan (61) tersebut akan diperoleh

$$\begin{aligned} E(Z_{t+1}|Z_t, Z_{t-1}, \dots, Z_1) &= \hat{Z}_t(1) \\ &= E(\mu + \phi_1(Z_t - \mu) + a_{t+1}) \\ &= E(\mu) + \phi_1 E(Z_t - \mu) + E(a_{t+1}) \\ &= \mu + \phi_1(Z_t - \mu) \\ \hat{Z}_t(1) &= \mu + \phi_1(Z_t - \mu) \end{aligned}$$

Sedangkan untuk ramalan dua tahap kedepan, indeks waktu t pada persamaan (60) diganti dengan $t+2$ maka:

$$Z_{t+2} - \mu = \phi_1(Z_{t-1+2} - \mu) + a_{t+2} \quad (62)$$

Dengan menggunakan pendekatan nilai harapan bersyarat untuk kedua sisi pada persamaan (62) tersebut akan diperoleh

$$\begin{aligned} E(Z_{t+2}|Z_t, Z_{t-1}, \dots, Z_1) &= \hat{Z}_t(2) \\ &= E(\mu + \phi_1(Z_{t+1} - \mu) + a_{t+2}) \\ &= E(\mu) + \phi_1 E(Z_{t+1} - \mu) + E(a_{t+2}) \\ &= \mu + \phi_1(Z_{t+1} - \mu) \\ &= \mu + \phi_1(\hat{Z}_t(1) - \mu) \\ &= \mu + \phi_1(\mu + \phi_1(Z_t - \mu) - \mu) \\ \hat{Z}_t(2) &= \mu + \phi_1^2(Z_t - \mu) \end{aligned}$$

Secara umum, ramalan l tahap kedepan untuk AR(1) adalah sebagai berikut:

$$\hat{Z}_t(l) = \mu + \phi_1^l (Z_t - \mu), \quad l \geq 1 \quad (63)$$

Secara umum, karena $|\phi_1| < 1$ maka untuk $l \rightarrow \infty$

$$\hat{Z}_t(l) \approx \mu \quad (64)$$

II. Model MA(1)

Model MA(1) dengan model umum yaitu

$$Z_t = \mu + a_t - \theta_1 a_{t-1} \quad (65)$$

Untuk meramalkan satu tahap kedepan, indeks waktu t pada persamaan (65) diganti dengan $t+1$ maka:

$$Z_{t+1} = \mu + a_{t+1} - \theta_1 a_{t-1+1} \quad (66)$$

Dengan menggunakan pendekatan nilai harapan bersyarat untuk kedua sisi pada persamaan (66) tersebut akan diperoleh

$$\begin{aligned} \hat{Z}_t(1) &= E(\mu + a_{t+1} - \theta_1 a_t) \\ &= E(\mu) + E(a_{t+1}|Z_t, Z_{t-1}, \dots, Z_1) - \theta_1 E(a_t|Z_t, Z_{t-1}, \dots, Z_1) \\ &= \mu - \theta_1 a_t \\ \hat{Z}_t(1) &= \mu - \theta_1 a_t \end{aligned}$$

Sedangkan untuk ramalan dua tahap kedepan, indeks waktu t pada persamaan (65) diganti dengan $t+2$ maka:

$$Z_{t+2} = \mu + a_{t+2} - \theta_1 a_{t-1+2} \quad (67)$$

Dengan menggunakan pendekatan nilai harapan bersyarat untuk kedua sisi pada persamaan (65) tersebut akan diperoleh

$$\begin{aligned} \hat{Z}_t(2) &= E(\mu + a_{t+2} - \theta_1 a_{t+1}) \\ &= E(\mu) + E(a_{t+2}|Z_t, Z_{t-1}, \dots, Z_1) - \theta_1 E(a_{t+1}|Z_t, Z_{t-1}, \dots, Z_1) \\ &= \mu \end{aligned}$$

$$\hat{Z}_t(2) = \mu$$

Secara umum, ramalan l tahap kedepan untuk MA(1) adalah sebagai berikut:

$$\hat{Z}_t(l) = \begin{cases} \mu - \theta_1 a_t, & l = 1 \\ \mu & l > 1 \end{cases} \quad (68)$$

Pada penelitian ini data yang digunakan untuk peramalan adalah data mingguan karena semakin banyak data yang digunakan maka akan semakin akurat peramalan yang akan diperoleh mengingat sedikitnya rentang waktu peramalan. Selain itu, analisis deret waktu dengan metode Box-Jenkins merupakan salah satu teknik peramalan waktu untuk menghasilkan ramalan jangka pendek, maka peneliti berniat melakukan peramalan untuk 24 Periode (2 tahun) kedepan.

BAB III

METODE PENELITIAN

A. Jenis Penelitian

Berdasarkan data dan hasil yang ingin dicapai, maka jenis penelitian ini yaitu aplikasi atau terapan. Penelitian terapan adalah suatu jenis penelitian yang hasilnya dapat secara langsung diterapkan untuk memecahkan permasalahan yang dihadapi.

B. Lokasi Penelitian

Dalam rangka mendapatkan data dan informasi dalam penelitian peramalan jumlah penumpang di Pelabuhan Kota Makassar, maka penulis memilih PT. Pelabuhan Indonesia (Pelindo) IV Cab. Makassar sebagai tempat untuk melakukan penelitian tersebut.

C. Waktu Penelitian

Penelitian ini mulai dilakukan pada 27 Februari 2015 – 19 Agustus 2015.

D. Jenis dan Sumber Data

Data yang dipergunakan adalah data sekunder yang berupa data jumlah penumpang naik dan turun di pelabuhan Makassar dari Januari 2010 – Desember 2014.

E. Variabel Penelitian

Teknik peramalan kuantitatif menggunakan data deret waktu, maka notasi matematika harus digunakan untuk menunjukkan suatu periode waktu tertentu.

Adapun variabel yang digunakan dalam penelitian ini adalah:

X_t = Jumlah penumpang naik di pelabuhan

Y_t = Jumlah penumpang turun di pelabuhan

t = periode

F. Definisi Operasional Variabel

Untuk menghindari kesalahan penafsiran variabel yang ada dalam penelitian ini. Maka perlu didefinisikan setiap variabel-variabel yang digunakan.

Variabel yang digunakan dalam penelitian ini didefinisikan sebagai berikut:

1. Jumlah penumpang naik di pelabuhan (X_t) adalah variabel yang menyatakan banyaknya penumpang untuk setiap periode (t).
2. Jumlah penumpang turun di pelabuhan (Y_t) adalah variabel yang menyatakan banyaknya penumpang untuk setiap periode (t).
3. Periode (t) adalah variabel yang menyatakan waktu peramalan jumlah penumpang transportasi darat dalam jangka bulanan.

G. *Prosedur Penelitian*

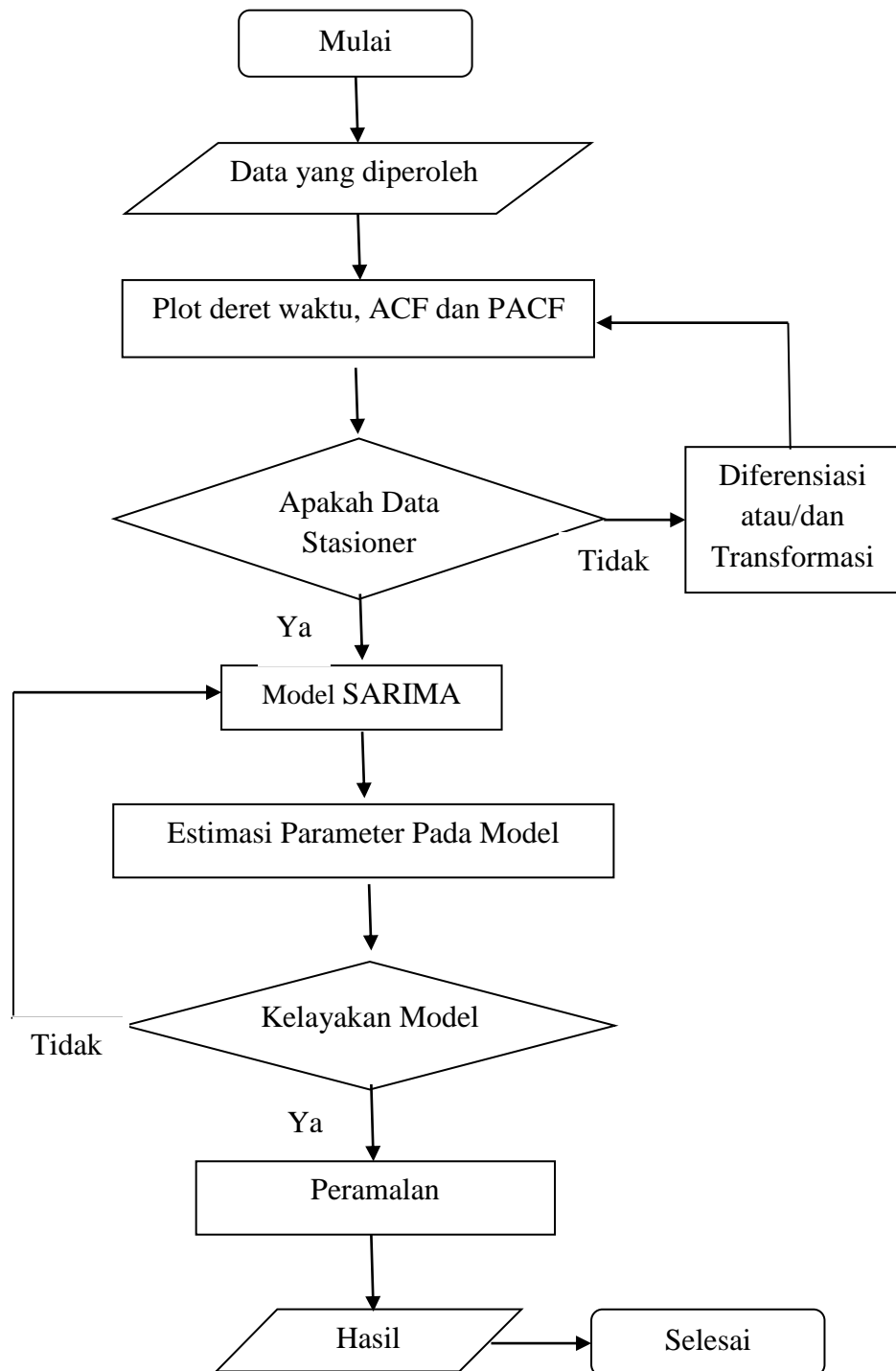
Secara umum langkah-langkah dalam penelitian ini adalah sebagai berikut:

1. Untuk memperoleh model *SEASONAL AUTOREGRESSIVE INTEGRATED MOVING AVERAGE* (SARIMA) terbaik yang dapat digunakan untuk memprediksi jumlah penumpang naik dan turun di pelabuhan kota Makassar:
 - a. Tabulasi data jumlah penumpang naik dan penumpang turun dari pelayaran dalam Negeri di pelabuhan Kota Makassar dari Januari 2006 – Desember 2014
 - b. Plot deret waktu, ACF dan PACF untuk data asli
 - c. Mengidentifikasi data apakah sudah stasioner atau belum. Jika data belum stasioner dalam rata-rata maka dilakukan diferensiasi dan jika data belum stasioner dalam variansinya maka dilakukan transformasi.
 - d. Plot deret waktu, ACF dan PACF dari data hasil diferensiasi dan transformasi serta menentukan model. Jika data sudah stasioner, langsung menentukan model.
 - e. Mengestimasi parameter model yang diperoleh
 - f. Menguji kecocokan model. Jika model belum memadai maka dilakukan identifikasi model baru.
 - g. Memilih model terbaik dengan melihat nilai *Mean Square Error* (MSE) atau *Standar Error Estimated* (SEE) yang paling kecil.

2. Untuk mengetahui prediksi jumlah penumpang naik dan penumpang turun di pelabuhan kota Makassar selama 24 periode kedepan:

Bila model telah dinyatakan layak, maka dapat dilakukan peramalan untuk masa yang akan datang selama 24 periode kedepan dengan langkah-langkah sebagai berikut:

- a. Menggunakan pendekatan nilai harapan bersyarat pada model yang dinyatakan layak untuk menghitung peramalan, maka akan diperoleh persamaan umum peramalan dari model tersebut.
- b. Menghitung peramalan 24 periode kedepan dengan memasukkan nilai estimasi parameter θ jika model mengandung unsur MA dan atau \emptyset jika model mengandung unsur AR dan rata-rata data pengamatan ke persamaan umum peramalan.

Flow Chart

BAB IV

HASIL DAN PEMBAHASAN

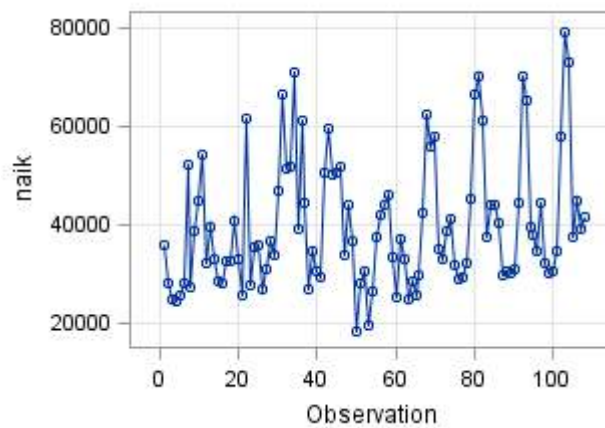
A. Hasil

1. Menentukan model *Seasonal Autoregressive Integrated Moving Average* (SARIMA) terbaik yang dapat digunakan untuk memprediksi jumlah penumpang dari pelayaran dalam Negeri di pelabuhan Kota Makassar

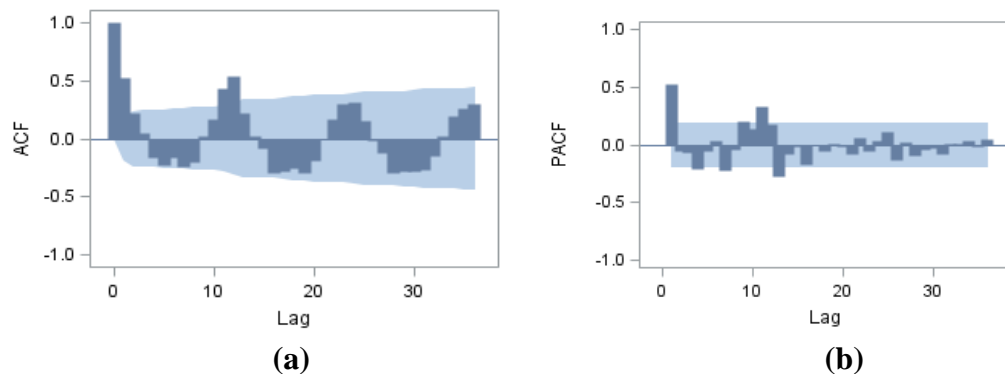
- a. Penumpang naik di pelabuhan Kota Makassar

- 1) Identifikasi model

Gambar dibawah ini merupakan diagram deret waktu (plot data asli), ACF dan PACF dari data jumlah penumpang naik di pelabuhan Kota Makassar.



Gambar 4.1 Diagram Deret Waktu Data Penumpang Naik



Gambar 4.2 (a) Diagram ACF Data Penumpang Naik

(b) Diagram PACF Data Penumpang Naik

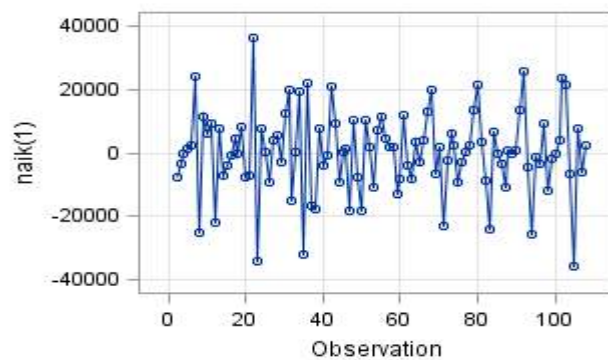
Pada Gambar 4.1, “naik” menunjukkan jumlah penumpang naik di pelabuhan Makassar, sedangkan “observation” menunjukkan periode data. Pada Gambar 4.1 terlihat adanya pola musiman dan kenaikan kecendrungan (trend). Dari gambar tersebut dapat diketahui bahwa data belum stasioner baik dalam rata-rata non-musiman maupun dalam rata-rata musiman karena pola data belum berada disekitar daerah rata-rata atau mendekati nol.

Pada diagram ACF (Gambar 4.2(a)) terlihat jelas bahwa pada *lag* 12, *lag* 24 dan *lag* 36 nilai-nilai korelasi signifikan berbeda dari nol. Nilai korelasi pada *lag* 12 adalah 0.533663, nilai korelasi pada *lag* 24 adalah 0.317791 dan nilai korelasi pada *lag* 36 adalah 0.298920. Nilai korelasi tersebut menunjukkan penurunan secara lambat atau data belum stasioner dalam rata-rata non-musiman dan rata-rata musiman 12. Nilai-nilai korelasi selengkapnya dapat dilihat pada Lampiran 2.

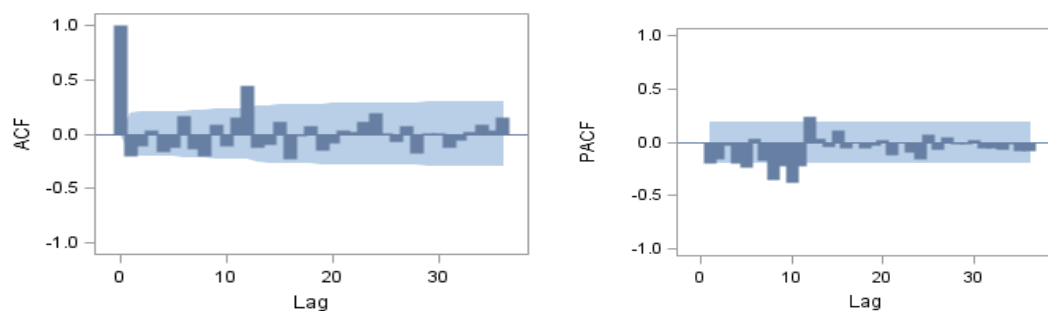
Karena data belum stasioner dalam rata-rata non-musiman dan rata-rata musiman 12, data belum dapat langsung digunakan untuk mendapatkan

model ARIMA terbaik. Untuk mengatasi data yang belum stasioner, maka dilakukan diferensiasi pertama non-musiman ($d=1$) dan untuk menghilangkan kuatnya pengaruh musiman dilakukan diferensiasi satu musiman 12 ($D=1$).

Diagram deret waktu, ACF dan PACF data penumpang naik di pelabuhan Kota Makassar hasil diferensiasi dengan $d=1$ dapat dilihat pada gambar dibawah ini.



Gambar 4.3 Diagram Deret Waktu Data Penumpang Naik hasil diferensiasi satu non-musiman



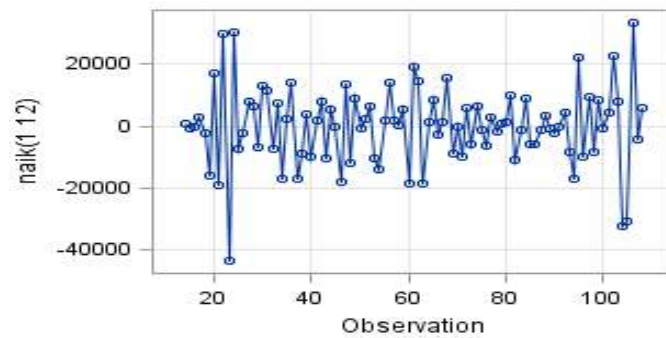
(a)

(b)

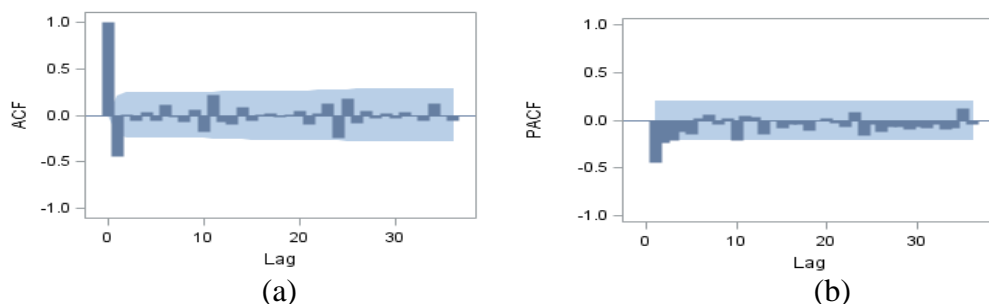
Gambar 4.4 (a) Diagram ACF Data Penumpang Naik hasil diferensiasi satu non-musiman

(b) Diagram PACF Data Penumpang Naik hasil diferensiasi satu non-musiman

Pada Gambar 4.3 “naik (1)” menunjukkan jumlah penumpang naik hasil diferensiasi satu non-musiman di pelabuhan Makassar, sedangkan “observation” menunjukkan *lag*. Berdasarkan diagram deret waktu pada Gambar 4.3 dan diagram ACF pada Gambar 4.4(a) hasil diferensiasi satu non-musiman terlihat bahwa data belum stasioner dalam rata-rata musiman dimana pada *lag* musiman nilai autokorelasi cenderung turun lambat (lampiran 3). Karena itu, dilakukan proses diferensiasi satu musiman 12 dari data hasil diferensiasi satu non-musiman. Diagram deret waktu, ACF dan PACF hasil diferensiasi musiman tersebut dapat dilihat pada gambar dibawah ini.



Gambar 4.5 Diagram Deret Waktu Data Penumpang Naik Hasil Diferensiasi Satu Non-musiman dan Musiman 12



Gambar 4.6 (a) Diagram ACF Diagram Deret Waktu Data Penumpang Naik Hasil Diferensiasi Satu Non-musiman dan Musiman 12

(b) Diagram PACF Diagram Deret Waktu Data Penumpang Naik Hasil Diferensiasi Satu Non-musiman dan Musiman 12

Pada Gambar 4.5 “naik (1 12)” menunjukkan jumlah penumpang naik hasil diferensiasi satu non-musiman dan musiman 12 di pelabuhan Makassar, sedangkan “observation” menunjukkan *lag*. Berdasarkan diagram deret waktu pada Gambar 4.5 dan diagram ACF pada Gambar 4.6(a) hasil diferensiasi satu non-musiman dan diferensiasi satu musiman 12 terlihat bahwa data telah stasioner dalam rata-rata non-musiman dan rata-rata musiman 12, maka data sudah dapat langsung digunakan untuk mendapatkan model ARIMA terbaik.

Berdasarkan diagram ACF (Gambar 4.6(a)) terlihat diagram berbentuk pola *Cut off after lag 1* untuk pola non-musiman dan *dies down* untuk pola musiman. Sedangkan diagram PACF (Gambar 4.6(b)) terlihat diagram berbentuk pola *dies down* untuk pola non-musiman dan *dies down* untuk pola musiman. Hal ini menunjukkan bahwa model ARIMA yang cocok untuk untuk data penumpang naik adalah model MA untuk non-musiman dan ARIMA campuran untuk musiman, sehingga kemungkinan model yang cocok yaitu $(0,1,1)(1,1,1)^{12}$, $(0,1,1)(1,1,0)^{12}$ dan $(0,1,1)(0,1,1)^{12}$.

2) Pendugaan nilai parameter model

Hasil estimasi nilai parameter model ARIMA $(0,1,1)(1,1,1)^{12}$ menggunakan program SAS 9.3 dapat dilihat pada tabel dibawah ini.

Tabel 4.4 *Conditional Least Squares Estimation* ARIMA $(0,1,1)(1,1,1)^{12}$

Parameter	Estimate	Standard Error	t Value	Approx Pr > t	Lag
MU	-23.24932	317.38141	-0.07	0.9418	0
MA1,1	0.43337	0.10495	4.13	<.0001	1

Parameter	Estimate	Standard Error	t Value	Approx Pr > t	Lag
MA1,2	0.56663	0.18575	3.05	0.0030	12
AR1,1	0.34780	0.19960	1.74	0.0848	12

Hipotesis: H_0 : Estimasi nilai parameter $\theta_1, \Theta_1, \Phi_1$ tidak signifikan dalam model

H_1 : Estimasi nilai parameter $\theta_1, \Theta_1, \Phi_1$ signifikan dalam model

Kriteria penolakan H_0 : $p\text{-value} < \alpha$ dengan menggunakan $\alpha = 0.05$

Dari tabel di atas, dapat dijelaskan bahwa taksiran parameter dari $\Phi_1 = 0.34780$, $\theta_1 = 0.43337$, $\Theta_1 = 0.56663$. Taksiran parameter model AR(1) musiman 12 tidak signifikan. Hal ini dapat dilihat dari nilai peluang (Approx Pr>|t|) $0.0848 > 0.05$ yang berarti pengujian tidak signifikan. Karena taksiran parameter dari model AR(1) musiman 12 tidak signifikan, maka pengujian untuk model ARIMA $(0,1,1)(1,1,1)^{12}$ tidak dilanjutkan atau model tidak sesuai.

Selanjutnya, hasil estimasi nilai parameter model ARIMA $(0,1,1)(1,1,0)^{12}$ menggunakan program SAS 9.3 dapat dilihat pada tabel dibawah ini.

Tabel 4.6 *Conditional Least Squares Estimation* $(0,1,1)(1,1,0)^{12}$

Parameter	Estimate	Standard Error	t Value	Approx Pr > t	Lag
MU	-15.80744	295.99683	-0.05	0.9575	0
MA1,1	0.69663	0.07489	9.30	<.0001	1
AR1,1	-0.16840	0.12602	-1.34	0.1847	12

Hipotesis: H_0 : Estimasi nilai parameter θ_1, Φ_1 tidak signifikan dalam model

H_1 : Estimasi nilai parameter θ_1, Φ_1 signifikan dalam model

Kriteria penolakan H_0 : $p\text{-value} < a$ dengan menggunakan $a = 0.05$

Dari tabel diatas, dapat dijelaskan bahwa taksiran parameter dari $\Phi_1 = -0.16840$, $\theta_1 = 0.69663$. Taksiran parameter model AR(1) musiman 12 tidak signifikan. Hal ini dapat dilihat dari nilai peluang (Approx Pr>|t|) 0.1847 $> \alpha = 0.05$ yang berarti pengujian tidak signifikan. Karena taksiran parameter dari model AR(1) musiman 12 tidak signifikan, maka pengujian untuk model ARIMA (0,1,1)(1,1,0)¹² tidak dilanjutkan atau model tidak sesuai.

Selanjutnya, hasil estimasi nilai parameter model ARIMA (0,1,1)(0,1,1)¹² menggunakan program SAS 9.3 dapat dilihat pada tabel dibawah ini.

Tabel 4.5 *Conditional Least Squares Estimation* ARIMA (0,1,1)(0,1,1)¹²

Parameter	Estimate	Standard Error	t Value	Approx Pr > t	Lag
MU	-34.38253	125.70232	-0.27	0.7851	0
MA1,1	0.74675	0.08574	8.71	<.0001	1
MA1,2	0.25325	0.08586	2.95	0.0040	12

Hipotesis: H_0 : Estimasi nilai parameter θ_1, Θ_1 tidak signifikan dalam model

H_1 : Estimasi nilai parameter θ_1, Θ_1 signifikan dalam model

Kriteria penolakan H_0 : $p\text{-value} < a$ dengan menggunakan $a = 0.05$

Dari tabel diatas, dapat dijelaskan bahwa taksiran parameter dari $\theta_1 = 0.74675$, $\theta_1 = 0.25325$. Taksiran parameter model MA(1) non-musiman dan MA(1) musiman 12 signifikan berbeda dari nol dengan tingkat kepercayaan 95%. Hal ini dapat dilihat dari nilai peluang (Approx $Pr>|t|$) < 0.05 yang berarti pengujian signifikan dan dilanjutkan ke uji kesesuaian model.

Setelah dilakukan pengujian pendugaan parameter model, maka dihasilkan model yang cocok yaitu $(0,1,1)(0,1,1)^{12}$ dan dilanjutkan ke uji kesesuaian model.

3) Uji Kesesuaian model

Uji kesesuaian model meliputi uji sisa *white noise* dan uji asumsi distribusi normal. Untuk mengetahui adanya *white noise* pada sisa maka dilakukan uji independensi residual untuk mengetahui apakah autokorelasi residualnya signifikan, Sedangkan uji asumsi distribusi normal dapat dilihat dari grafik normalitas dan nilai *p-value* dari uji *Kolmogorov-Smirnov*.

Hasil pengujian *white noise* model ARIMA $(0,1,1)(0,1,1)^{12}$ menggunakan program SAS 9.3 dapat dilihat pada tabel dibawah ini.

Tabel 4.11 *Autocorrelation Check of Residuals* ARIMA $(0,1,1)(0,1,1)^{12}$

To Lag	Chi-Square	DF	Pr > ChiSq	Autocorrelations					
6	2.04	4	0.7279	0.061	-0.013	-0.091	-0.034	-0.042	0.072
12	9.71	10	0.4659	-0.060	-0.154	-0.114	-0.162	0.068	0.019
18	10.49	16	0.8401	-0.043	0.049	-0.001	0.020	0.034	0.030
24	18.60	22	0.6700	0.043	0.034	-0.073	-0.019	-0.011	-0.232

To Lag	Chi-Square	DF	Pr > ChiSq	Autocorrelations					
30	19.45	28	0.8835	0.026	-0.059	0.007	-0.010	0.013	-0.043
36	23.28	34	0.9171	0.019	0.056	0.029	0.124	0.027	-0.069

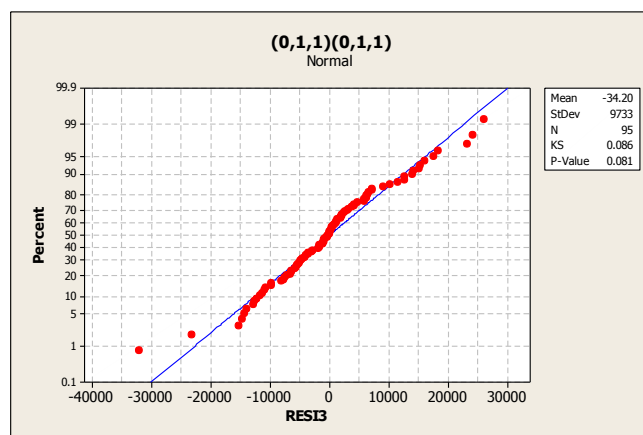
Hipotesis: H_0 : $\rho_1 = \dots = \rho_k = 0$ (Autokorelasi residualnya tidak signifikan)

H_1 : Minimal ada satu $\rho_j \neq 0$ (Autokorelasi residualnya signifikan)

Kriteria penolakan H_0 : $p\text{-value} < \alpha$ dengan menggunakan $\alpha = 0.05$

Dari tabel diatas dapat dilihat nilai peluang pada lag 6, lag 12 dan seterusnya ($\text{Pr} > \text{ChiSq}$) $> \alpha = 0.05$, ini berarti bahwa H_0 diterima yang artinya autokorelasi residualnya tidak signifikan sehingga sisaan memenuhi syarat sisa *white noise*.

Hasil uji distribusi normal dapat dilihat pada gambar dibawah ini.



Gambar 4.8 Diagram Normalitas Residual

Hipotesis: H_0 : Residual model berdistribusi normal

H_1 : Residual model tidak berdistribusi normal

Kriteria penolakan H_0 : $p\text{-value} < \alpha$ dengan menggunakan $\alpha = 0.05$

Pada grafik normal Q-Q di atas terlihat bahwa sebaran data dari variabel jumlah penumpang naik bergerombol di sekitar garis uji yang mengarah ke kanan atas, selain itu nilai $p\text{-value}$ dari uji *kolmogorov-Smirnov* $0.081 > \alpha = 0.05$, ini berarti residual berdistribusi normal (Lampiran 7).

Dari beberapa tahap pengujian, maka diperoleh model terbaik untuk peramalan jumlah penumpang naik di pelabuhan Kota Makassar adalah ARIMA (0,1,1)(0,1,1)¹² atau dapat ditulis dalam bentuk sebagai berikut:

$$(1 - B)^d(1 - B^s)^D X_t = \theta_q(B)\Theta_Q(B^s)a_t$$

$$(1 - B)(1 - B^{12})X_t = (1 - \theta_1 B)(1 - \Theta_1 B^{12})a_t$$

$$(1 - B - B^{12} + B^{13})X_t = (1 - \theta_1 B - \Theta_1 B^{12} + \theta_1 \Theta_1 B^{13})a_t$$

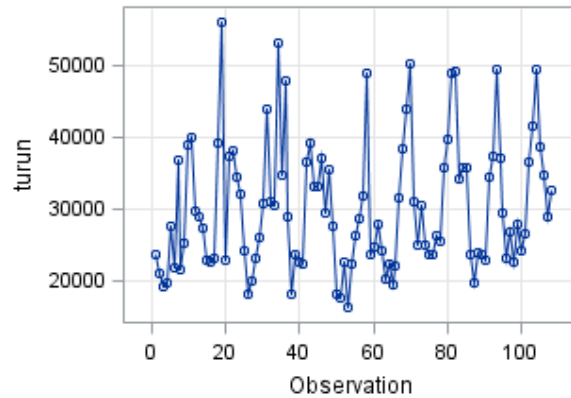
$$X_t - X_{t-1} - X_{t-12} + X_{t-13} = a_t - \theta_1 a_{t-1} - \Theta_1 a_{t-12} + \theta_1 \Theta_1 a_{t-13}$$

$$X_t = X_{t-1} + X_{t-12} - X_{t-13} + a_t - \theta_1 a_{t-1} - \Theta_1 a_{t-12} + \theta_1 \Theta_1 a_{t-13} \quad (69)$$

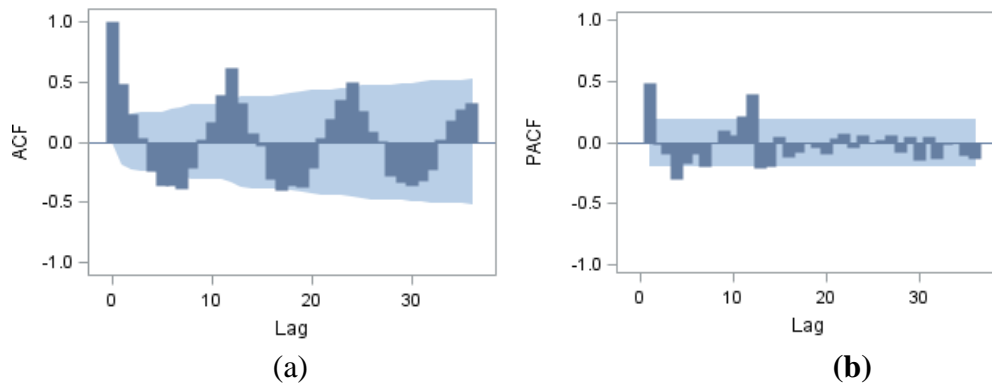
b. Penumpang turun di pelabuhan Kota Makassar

1) Identifikasi model

Gambar dibawah ini merupakan diagram deret waktu (plot data asli), ACF dan PACF dari data jumlah penumpang turun di pelabuhan Kota Makassar.



Gambar 4.11 Diagram Deret Waktu Data Penumpang Turun



Gambar 4.12 (a) Diagram ACF Data Penumpang Turun

(b) Diagram PACF Data Penumpang Turun

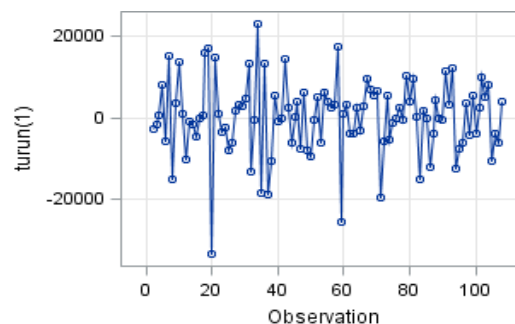
Pada Gambar 4.11 “turun” menunjukkan jumlah penumpang turun di pelabuhan Makassar, sedangkan “observation” menunjukkan periode. Berdasarkan diagram deret waktu pada Gambar 4.11, terlihat adanya pola musiman dan kenaikan kecendrungan (trend). Dari gambar tersebut dapat diketahui bahwa data belum stasioner baik dalam rata-rata non-musiman maupun dalam rata-rata musiman.

Pada diagram ACF (Gambar 4.12(a)) terlihat jelas bahwa pada *lag* 12, *lag* 24 dan *lag* 36 nilai-nilai korelasi signifikan berbeda dari nol. Nilai korelasi

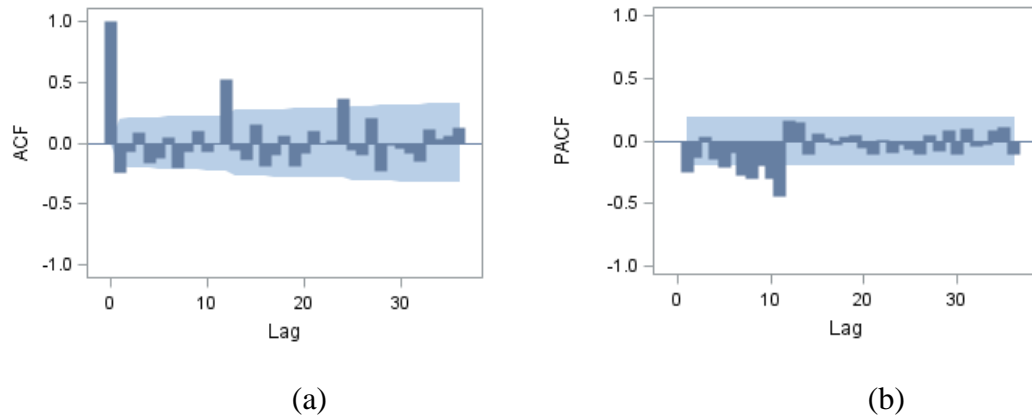
pada *lag* 12 adalah 0.621377 , nilai korelasi pada *lag* 24 adalah 0.495674 dan nilai korelasi pada *lag* 36 adalah 0.319702. Nilai korelasi tersebut menunjukkan penurunan secara lambat atau data belum stasioner dalam rata-rata non-musiman dan rata-rata musiman 12. Nilai-nilai korelasi selengkapnya dapat dilihat pada lampiran 8.

Karena data belum stasioner dalam rata-rata non-musiman dan rata-rata musiman 12, data belum dapat langsung digunakan untuk mendapatkan model ARIMA terbaik. Untuk mengatasi data yang belum stasioner, maka dilakukan diferensiasi pertama non-musiman ($d=1$) dan untuk menghilangkan kuatnya pengaruh musiman dilakukan diferensiasi satu musiman 12 ($D=1$).

Diagram deret waktu, ACF dan PACF data penumpang turun di pelabuhan Kota Makassar hasil diferensiasi dengan $d=1$ dapat dilihat pada Gambar dibawah ini.



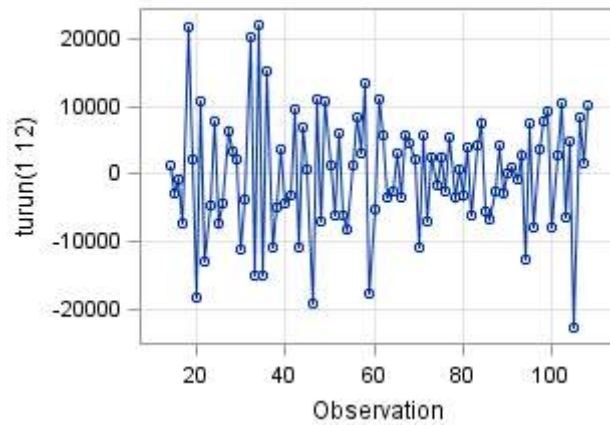
Gambar 4.13 Diagram Deret Waktu Data Penumpang Turun hasil diferensiasi satu non-musiman



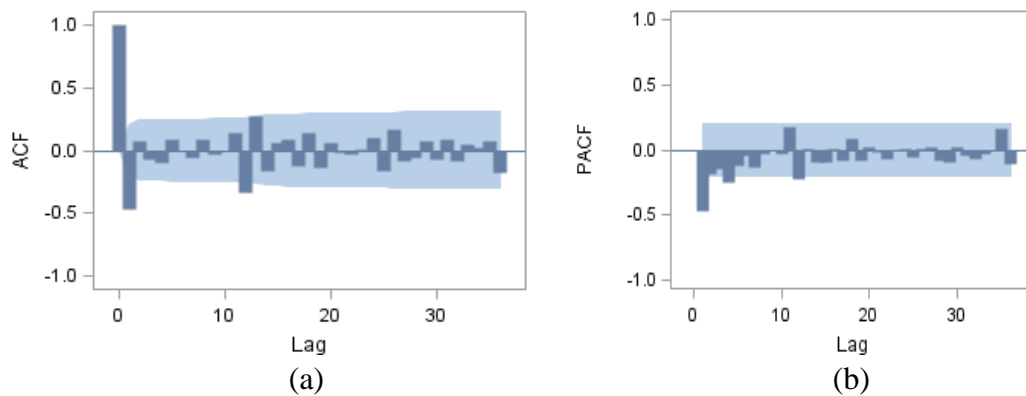
Gambar 4.14 (a) Diagram ACF Data Penumpang Turun hasil diferensiasi satu non-musiman

(b) Diagram PACF Data Penumpang Turun hasil diferensiasi satu non-musiman

Pada Gambar 4.13 “turun (1)” menunjukkan jumlah penumpang turun hasil diferensiasi satu non-musiman di pelabuhan Makassar, sedangkan “observation” menunjukkan *lag*. Berdasarkan diagram deret waktu pada Gambar 4.13 dan diagram ACF pada Gambar 4.14(a) hasil diferensiasi satu non-musiman terlihat bahwa data belum stasioner dalam rata-rata musiman dimana pada *lag* musiman nilai autokorelasi cenderung turun lambat (lampiran 9). Karena itu, dilakukan proses diferensiasi satu musiman 12 dari data hasil diferensiasi satu non-musiman. Diagram deret waktu, ACF dan PACF hasil diferensiasi musiman tersebut dapat dilihat pada gambar dibawah ini.



Gambar 4.15 Diagram Deret Waktu Data Penumpang Naik Hasil Diferensiasi Satu Non-musiman dan Musiman 12



Gambar 4.16 (a) Diagram ACF Diagram Deret Waktu Data Penumpang Turun Hasil Diferensiasi Satu Non-musiman dan Musiman 12

(b) Diagram PACF Diagram Deret Waktu Data Penumpang Turun Hasil Diferensiasi Satu Non-musiman dan Musiman 12

Pada Gambar 4.15 “turun (1 12)” menunjukkan jumlah penumpang turun hasil diferensiasi satu non-musiman dan musiman 12 di pelabuhan Makassar, sedangkan “observation” menunjukkan *lag*. Berdasarkan diagram deret waktu pada Gambar 4.15 dan diagram ACF pada Gambar 4.16(a) hasil

diferensiasi satu non-musiman dan diferensiasi satu musiman 12 terlihat bahwa data telah stasioner dalam rata-rata non-musiman dan rata-rata musiman 12, maka data sudah dapat langsung digunakan untuk mendapatkan model ARIMA terbaik.

Berdasarkan diagram ACF (Gambar 4.16(a)) terlihat diagram berbentuk pola *cut off after lag 1* untuk pola non-musiman dan *dies down* untuk pola musiman. Sedangkan diagram PACF (Gambar 4.16(b)) terlihat diagram berbentuk pola *dies down* untuk pola non-musiman dan *cut off* untuk pola musiman. Hal ini menunjukkan bahwa model ARIMA yang cocok untuk data penumpang turun adalah model ARIMA (0,1,1)(1,1,0)¹².

2) Pendugaan nilai parameter model

Hasil estimasi nilai parameter model ARIMA (0,1,1)(1,1,0)¹² menggunakan program SAS 9.3 dapat dilihat pada tabel dibawah ini.

Tabel 4.14 *Conditional Leadt Squares Estimation* ARIMA (0,1,1)(1,1,0)¹²

Parameter	Estimate	Standard Error	t Value	Approx Pr > t	Lag
MU	-29.73523	104.57917	-0.28	0.7768	0
MA1,1	0.79100	0.06554	12.07	<.0001	1
AR1,1	-0.49517	0.10235	-4.84	<.0001	12

Hipotesis: H_0 : Estimasi nilai parameter θ_1, Φ_1 tidak signifikan dalam model

H_1 : Estimasi nilai parameter θ_1, Φ_1 signifikan dalam model

Kriteria penolakan H_0 : $p\text{-value} < a$ dengan menggunakan $a = 0.05$

Dari tabel diatas, dapat dijelaskan bahwa taksiran parameter dari $\Phi_1 = -0.49517$, $\theta_1 = 0.79100$. Taksiran parameter model MA(1) non musiman dan model AR(1) musiman 12 signifikan. Hal ini dapat dilihat dari nilai peluang ($\text{Approx Pr}>|t| < \alpha = 0.05$ yang berarti pengujian signifikan dan dilanjutkan ketahap uji kesesuaian model.

3) Uji Kesesuaian model

Hasil pengujian *white noise* model ARIMA (0,1,1)(1,1,0)¹² menggunakan program SAS 9.3 dapat dilihat pada tabel dibawah ini.

Tabel 4.17 *Autocorrelation Check of Residuals* ARIMA (0,1,1)(1,1,0)¹²

To Lag	Chi-Square	DF	Pr > ChiSq	Autocorrelations					
6	2.83	4	0.5862	0.106	0.010	-0.107	-0.050	0.027	0.049
12	6.49	10	0.7723	-0.089	0.001	-0.112	-0.071	-0.041	0.083
18	8.47	16	0.9336	0.041	-0.082	-0.002	0.015	-0.009	0.091
24	11.47	22	0.9673	-0.091	0.018	-0.048	-0.020	0.021	-0.110
30	13.29	28	0.9915	-0.064	-0.043	-0.066	-0.030	0.037	-0.029
36	20.67	34	0.9649	0.047	-0.030	0.089	0.121	0.040	-0.145

Hipotesis: H_0 : $\rho_1 = \dots = \rho_k = 0$ (Autokorelasi residualnya tidak signifikan)

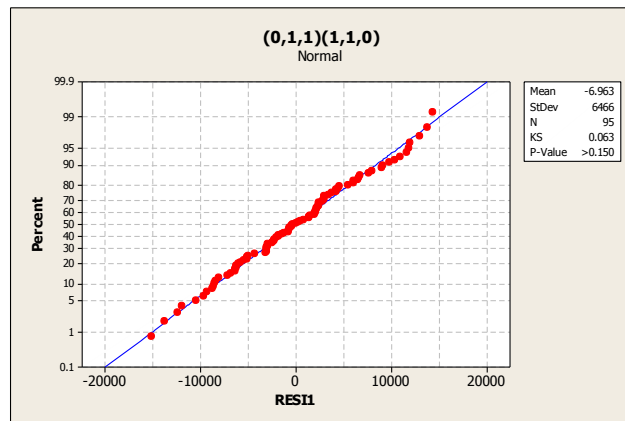
H_1 : Minimal ada satu $\rho_j \neq 0$ (Autokorelasi residualnya signifikan)

Kriteria penolakan H_0 : $p\text{-value} < a$ dengan menggunakan $a = 0.05$

Dari tabel diatas dapat dilihat nilai peluang pada *lag* 6, *lag* 12 dan seterusnya ($\text{Pr} > \text{ChiSq} > \alpha = 0.05$, ini berarti bahwa autokorelasi residualnya

tidak signifikan (residual tidak saling berkorelasi) sehingga sisaan memenuhi syarat sisa *white noise*.

Hasil uji distribusi normal dapat dilihat pada gambar dibawah ini.



Gambar 4.17 Diagram Normalitas Residual ARIMA (0,1,1)(1,1,0)¹²

Hipotesis: H_0 : Residual model berdistribusi normal

H_1 : Residual model tidak berdistribusi normal

Kriteria penolakan H_0 : $p\text{-value} < \alpha$ dengan menggunakan $\alpha = 0.05$

Pada grafik normal Q-Q di atas terlihat bahwa sebaran data dari variabel jumlah penumpang naik bergerombol di sekitar garis uji yang mengarah ke kanan atas, selain itu nilai $p\text{-value}$ dari uji *Kolmogorov-Smirnov* yang menunjukkan $>0.150 > \alpha = 0.05$, ini berarti residual memenuhi asumsi distribusi kenormalan (Lampiran 11).

Dari hasil pengujian model diatas, maka diperoleh model terbaik untuk peramalan jumlah penumpang turun di pelabuhan Kota Makassar adalah ARIMA (0,1,1)(1,1,0)¹² atau dapat ditulis dalam bentuk sebagai berikut:

$$\Phi_p(B)(1-B)^d(1-B^s)^D Y_t = \theta_q(B)a_t$$

$$(1 - \Phi_1 B)(1 - B)(1 - B^{12})Y_t = (1 - \theta_1 B)a_t$$

$$\begin{aligned}
(1 - \Phi_1 B)(1 - B - B^{12} + B^{13})Y_t &= (1 - \theta_1 B)a_t \\
(1 - B - B^{12} + B^{13} - \Phi_1 B + \Phi_1 B^2 + \Phi_1 B^{13} - \Phi_1 B^{14})Y_t &= a_t - \theta_1 a_{t-1} \\
Y_t - Y_{t-1} - Y_{t-12} + Y_{t-13} - \Phi_1 Y_{t-1} + \Phi_1 Y_{t-2} + \Phi_1 Y_{t-13} - \Phi_1 Y_{t-14} \\
&= a_t - \theta_1 a_{t-1} \\
Y_t = Y_{t-1} + Y_{t-12} - Y_{t-13} + \Phi_1 Y_{t-1} - \Phi_1 Y_{t-2} - \Phi_1 Y_{t-13} + \Phi_1 Y_{t-14} + a_t - \\
\theta_1 a_{t-1} & \tag{70}
\end{aligned}$$

Berdasarkan diagram deret waktu, *ACF* dan *PACF* hasil diferensiasi satu non-musiman dan musiman 12, serta pengujian pendugaan nilai parameter dan uji kesesuaian model yang meliputi uji sisa *white noise* dan asumsi distribusi normal, diperoleh model terbaik untuk peramalan jumlah penumpang naik di Pelabuhan Kota Makassar yaitu ARIMA (0,1,1)(0,1,1)¹² dan model terbaik untuk penumpang turun di Pelabuhan Kota Makassar yaitu ARIMA (0,1,1)(1,1,0)¹².

2. Menentukan prediksi jumlah penumpang dari pelayaran dalam Negeri di pelabuhan Kota Makassar 24 periode kedepan.

a. Penumpang naik di pelabuhan Kota Makassar

Hasil peramalan untuk jumlah penumpang naik di pelabuhan Kota Makassar 24 periode (2 tahun) kedepan dengan menggunakan persamaan (69), ramalan tahap kedepan dapat dihitung secara manual dengan nilai taksiran parameter dari $\theta_1 = 0.74675$, $\Theta_1 = 0.25325$ dan $\mu = -34.38253$ sebagai berikut:

$$X_t = X_{t-1} + X_{t-12} - X_{t-13} + a_t - \theta_1 a_{t-1} - \Theta_1 a_{t-12} + \theta_1 \Theta_1 a_{t-13}$$

Dimana $X_t = X_t - \mu$, sehingga

$$X_t - \mu = (X_{t-1} - \mu) + (X_{t-12} - \mu) - (X_{t-13} - \mu) + a_t - \theta_1 a_{t-1} - \Theta_1 a_{t-12} + \theta_1 \Theta_1 a_{t-13}$$

$$X_t = \mu + (X_{t-1} - \mu) + (X_{t-12} - \mu) - (X_{t-13} - \mu) + a_t - \theta_1 a_{t-1} - \Theta_1 a_{t-12} + \theta_1 \Theta_1 a_{t-13}$$

Untuk peramalan satu tahap kedepan, indek waktu t diganti dengan $t+1$ maka:

$$X_{t+1} = \mu + (X_{t-1+1} - \mu) + (X_{t-12+1} - \mu) - (X_{t-13+1} - \mu) + a_{t+1} - \theta_1 a_{t-1+1} - \Theta_1 a_{t-12} + 1 + \theta_1 \Theta_1 a_{t-13+1}$$

$$X_{t+1} = \mu + (X_t - \mu) + (X_{t-11} - \mu) - (X_{t-12} - \mu) + a_{t+1} - \theta_1 a_t - \Theta_1 a_{t-11} + \theta_1 \Theta_1 a_{t-12} \quad (71)$$

Dimisalkan $X_{t+1} = \hat{X}(1)$, maka

$$\begin{aligned} \hat{X}(1) &= \mu + (X_t - \mu) + (X_{t-11} - \mu) - (X_{t-12} - \mu) + a_{t+1} - \theta_1 a_t - \Theta_1 a_{t-11} + \theta_1 \Theta_1 a_{t-12} \quad (72) \\ &= -34.38253 + (41732 - (-34.38253)) + (44287 - (-34.38253)) - \\ &\quad (34814 - (-34.38253)) + 0 - (0.74675)(3202.5865) - \\ &\quad (0.25325)(7507.418) + (0.74675)(0.25325)(-2019.4009) \\ &= 46530.31 \end{aligned}$$

Dengan cara yang sama untuk peramalan 2 tahap kedepan:

$$\begin{aligned} \hat{X}(2) &= \mu + (\hat{X}(1) - \mu) + (X_{t-10} - \mu) - (X_{t-11} - \mu) + a_{t+2} - \Theta_1 a_{t-10} + \theta_1 \Theta_1 a_{t-11} \\ &= (-34.38253) + (46530.31 - (-34.38253)) + (32336 - \\ &\quad (-34.38253)) - (44287 - (-34.38253)) + 0 - \\ &\quad (0.25325)(-4234.6244) + (0.74675)(0.25325)(7507.418) \\ &= 37071.49 \end{aligned}$$

Tabel 4.19 Hasil Peramalan Penumpang Naik

Periode	Tahun	Bulan	Peramalan
109	2015	JANUARI	46530
110		FEBRUARI	37071
111		MARET	33129
112		APRIL	33352
113		MEI	36500
114		JUNI	54294
115		JULI	75371
116		AGUSTUS	73764
117		SEPTEMBER	47898
118		OKTOBER	48114
119		NOVEMBER	42895
120		DESEMBER	44065
121	2016	JANUARI	49468
122		FEBRUARI	40010
123		MARET	36067
124		APRIL	36290

Periode	Tahun	Bulan	Peramalan
125		MEI	39438
126		JUNI	57232
127		JULI	78310
128		AGUSTUS	76702
129		SEPTEMBER	50836
130		OKTOBER	51052
131		NOVEMBER	45833
132		DESEMBER	47003

b. Penumpang turun di pelabuhan Kota Makassar

Hasil peramalan untuk jumlah penumpang turun di pelabuhan Kota Makassar 24 periode (2 tahun) kedepan dengan menggunakan persamaan (70), ramalan tahap kedepan dapat dihitung secara manual dengan nilai taksiran parameter dari $\theta_1 = 0.791$, $\Phi_1 = -0.49517$, $\mu = -29.73523$ sebagai berikut

$$Y_t = Y_{t-1} + Y_{t-12} - Y_{t-13} + \Phi_1 Y_{t-1} - \Phi_1 Y_{t-2} - \Phi_1 Y_{t-13} + \Phi_1 Y_{t-14} + a_t - \theta_1 a_{t-1}$$

Dimana $Y_t = Y_t - \mu$, sehingga

$$Y_t - \mu = (Y_{t-1} - \mu) + (Y_{t-12} - \mu) - (Y_{t-13} - \mu) + \Phi_1 (Y_{t-1} - \mu) - \Phi_1 (Y_{t-2} - \mu) - \Phi_1 (Y_{t-13} - \mu) + \Phi_1 (Y_{t-14} - \mu) + a_t - \theta_1 a_{t-1}$$

$$Y_t = \mu + (Y_{t-1} - \mu) + (Y_{t-12} - \mu) - (Y_{t-13} - \mu) + \Phi_1(Y_{t-1} - \mu) - \Phi_1(Y_{t-2} - \mu) - \Phi_1(Y_{t-13} - \mu) + \Phi_1(Y_{t-14} - \mu) + a_t - \theta_1 a_{t-1}$$

Untuk peramalan satu tahap kedepan, indek waktu t diganti dengan $t+1$ maka:

$$Y_{t+1} = \mu + (Y_{t-1+1} - \mu) + (Y_{t-12+1} - \mu) - (Y_{t-13+1} - \mu) + \Phi_1(Y_{t-1+1} - \mu) - \Phi_1(Y_{t-2+1} - \mu) - \Phi_1(Y_{t-13+1} - \mu) + \Phi_1(Y_{t-14+1} - \mu) + a_{t+1} - \theta_1 a_{t-1+1}$$

$$Y_{t+1} = \mu + (Y_t - \mu) + (Y_{t-11} - \mu) - (Y_{t-12} - \mu) + \Phi_1(Y_t - \mu) - \Phi_1(Y_{t-1} - \mu) - \Phi_1(Y_{t-12} - \mu) + \Phi_1(Y_{t-13} - \mu) + a_{t+1} - \theta_1 a_t \quad (73)$$

Dimisalkan $Y_{t+1} = \hat{Y}(1)$, maka

$$\begin{aligned} \hat{Y}(1) &= \mu + (Y_t - \mu) + (Y_{t-11} - \mu) - (Y_{t-12} - \mu) + \Phi_1(Y_t - \mu) - \Phi_1(Y_{t-1} - \mu) - \Phi_1(Y_{t-12} - \mu) + \Phi_1(Y_{t-13} - \mu) + a_{t+1} - \theta_1 a_t \\ &= -29.73523 + (32790 - (-29.73523)) + (26989 - (-29.73523)) - (23342 - (-29.73523)) + (-0.49517)(32790 - (-29.73523)) - (-0.49517)(28923 - (-29.73523)) - (-0.49517)(23342 - (-29.73523)) + (-0.49517)(29625 - (-29.73523)) + 0 - 0.791(4482.2153) \\ &= 27865.59 \end{aligned}$$

Dengan cara yang sama untuk peramalan 2 tahap kedepan:

$$\hat{Y}(2) = \mu + (\hat{Y}(1) - \mu) + (Y_{t-10} - \mu) - (Y_{t-11} - \mu) + \Phi_1(Y(1) - \mu) - \Phi_1(Y_t - \mu) - \Phi_1(Y_{t-11} - \mu) + \Phi_1(Y_{t-12} - \mu) - \theta_1 a_{t+1}$$

$$\begin{aligned}
&= -29.73523 + (27865.59 - (-29.73523)) + (22619 - \\
&\quad (-29.73523)) - (26989 - (-29.73523)) + \\
&\quad (-0.49517)(27865.59 - (-29.73523)) - (-0.49517)(32790 - \\
&\quad (-29.73523)) - (-0.49517)(26989 - (-29.73523)) + \\
&\quad (-0.49517)(23342 - (-29.73523)) - 0 \\
&= 27739.89
\end{aligned}$$

Tabel 4.20 Hasil Peramalan Penumpang turun

Periode	Tahun	Bulan	Peramalan
109	2015	JANUARI	27866
110		FEBRUARI	27740
111		MARET	31019
112		APRIL	28306
113		MEI	30217
114		JUNI	40385
115		JULI	53196
116		AGUSTUS	45280
117		SEPTEMBER	42570
118		OKTOBER	38590
119		NOVEMBER	32636

Periode	Tahun	Bulan	Peramalan
120		DESEMBER	36507
121	2016	JANUARI	31580
122		FEBRUARI	31455
123		MARET	34734
124		APRIL	32021
125		MEI	33932
126		JUNI	44100
127		JULI	56911
128		AGUSTUS	48996
129		SEPTEMBER	46285
130		OKTOBER	42306
131		NOVEMBER	36351
132		DESEMBER	40222

B. Pembahasan

1. Menentukan model *Seasonal Autoregressive Integrated Moving Average* (SARIMA) terbaik yang dapat digunakan untuk memprediksi jumlah penumpang dari pelayaran dalam Negeri di pelabuhan Kota Makassar

Penentuan model SARIMA dengan *input* data penumpang naik dan turun di pelabuhan Kota Makassar dilakukan dengan berbagai tahap penyelesaian. Diawali dengan identifikasi model ARIMA untuk data penumpang naik dan data penumpang turun, dilanjutkan dengan pendugaan parameter model dan terakhir yaitu uji kesesuaian model dengan melihat uji sisa *white noise* dan uji asumsi distribusi normal. Dari berbagai tahap penyelesaian yang dilakukan, didapatkan model ARIMA yang sesuai untuk data penumpang naik yaitu ARIMA (0,1,1)(0,1,1)¹² sedangkan model ARIMA yang sesuai untuk data penumpang turun yaitu ARIMA (0,1,1)(1,1,0)¹².

2. Menentukan prediksi jumlah penumpang dari pelayaran dalam Negeri di pelabuhan Kota Makassar 24 periode kedepan.

Sesuai dari hasil peramalan jumlah penumpang dari pelayaran dalam Negeri di pelabuhan Kota Makassar dari bulan Januari 2006 sampai dengan Desember 2014 dengan periode peramalan yaitu 24 periode (2 tahun) kedepan, diperoleh hasil sebagai berikut:

Tabel 4.20 Peramalan Jumlah Penumpang Naik dan Turun di pelabuhan Kota Makassar

Periode	Tahun	Bulan	Penumpang	
			Naik	Turun
109	2015	JANUARI	46530	27866
110		FEBRUARI	37071	27740
111		MARET	33129	31019

112		APRIL	33352	28306
113		MEI	36500	30217
114		JUNI	54294	40385
115		JULI	75371	53196
116		AGUSTUS	73764	45280
117		SEPTEMBER	47898	42570
118		OKTOBER	48114	38590
119		NOVEMBER	42895	32636
120		DESEMBER	44065	36507
121	2016	JANUARI	49468	31580
122		FEBRUARI	40010	31455
123		MARET	36067	34734
124		APRIL	36290	32021
125		MEI	39438	33932
126		JUNI	57232	44100
127		JULI	78310	56911
128		AGUSTUS	76702	48996
129		SEPTEMBER	50836	46285
130		OKTOBER	51052	42306
131		NOVEMBER	45833	36351
132		DESEMBER	47003	40222

Dari tabel diatas dapat dilihat bahwa kenaikan tertinggi jumlah penumpang pada tahun 2015 terjadi pada bulan Juli dengan jumlah penumpang naik sebesar 75371 orang dan untuk penumpang turun sebesar 53196 orang, sedangkan untuk tahun 2016 pada bulan Juli juga terjadi kenaikan yang tinggi untuk penumpang naik yaitu sebesar 78310 orang dan untuk penumpang turun yaitu sebesar 56911 orang. Banyaknya jumlah penumpang naik di pelabuhan Kota Makassar selalu lebih banyak dari pada jumlah penumpang turun, hal ini disebabkan karena lebih banyaknya penduduk dari luar Kota Makassar dibandingkan dengan penduduk asli.

BAB V

PENUTUP

A. Kesimpulan

Berdasarkan hasil pembahasan mengenai peramalan jumlah penumpang dari pelayaran dalam Negeri di pelabuhan Kota Makassar dari bulan Januari 2006 sampai dengan Desember 2014, diperoleh kesimpulan sebagai berikut:

1. Model peramalan yang baik untuk data penumpang naik di pelabuhan Kota Makassar yaitu ARIMA (0,1,1)(0,1,1)¹² atau bisa ditulis dalam bentuk

$$X_t = X_{t-1} + X_{t-12} - X_{t-13} + a_t - \theta_1 a_{t-1} - \Theta_1 a_{t-12} + \theta_1 \Theta_1 a_{t-13}.$$

Sedangkan model peramalan yang terbaik untuk data penumpang turun di pelabuhan Kota Makassar yaitu ARIMA (0,1,1)(1,1,0)¹² atau bisa ditulis dalam bentuk

$$Y_t = \mu + (Y_{t-1} - \mu) + (Y_{t-12} - \mu) - (Y_{t-13} - \mu) + \Phi_1(Y_{t-1} - \mu) - \Phi_1(Y_{t-2} - \mu) - \Phi_1(Y_{t-13} - \mu) + \Phi_1(Y_{t-14} - \mu) + a_t - \theta_1 a_{t-1}.$$

2. Sesuai dari hasil peramalan jumlah penumpang dari pelayaran dalam Negeri di pelabuhan Kota Makassar dari bulan Januari 2006 sampai dengan Desember 2014 dengan periode peramalan yaitu 24 periode (2 tahun) kedepan dapat dilihat bahwa pada tahun 2015 terjadi lonjakan jumlah penumpang pada bulan Juli yaitu untuk jumlah penumpang naik sebesar 75371 orang dan untuk penumpang turun sebesar 53196 orang, sedangkan untuk tahun 2016 pada bulan Juli juga terjadi kenaikan yang tinggi untuk penumpang naik yaitu sebesar 78310 orang dan untuk penumpang turun yaitu sebesar 56911 orang. Dari hasil ini dapat dapat diketahui bahwa terjadinya lonjakan penumpang

terjadi saat musim liburan yang bersamaan dengan arus mudik dan arus balik lebaran.

B. *Saran*

Masalah yang dibahas dalam skripsi ini hanya terbatas pada peramalan jumlah penumpang dari pelayaran dalam Negeri. Oleh karena itu penulis menyarankan untuk melakukan peramalan tidak hanya jumlah penumpang dari pelayaran dalam Negeri, tapi juga ditambahkan dengan pelayaran mancanegara (kapal asing) dengan menggunakan metode yang lain sehingga dapat lebih membantu pihak pelabuhan dalam menangani banyaknya penumpang atau kapal yang sandar di pelabuhan Kota Makassar.

DAFTAR PUSTAKA

- ash-Shiddieqy ,Teugku Muhammad Hasbi, *Tafsir Al-Qur'anul Majid An-Nuur 5*,
Semarang: Pustaka Rizki Putra, 2000
- Aswi dan Sukarna, *Analisis Deret Waktu: Teori dan Aplikasi*, ed. Muhammad Arif
Tiro. Makassar: Andira Publisher, 2006
- Baroroh, Ali. *Analisis Multivariat Dan Time Series Dengan SPSS 21*. Jakarta:
Gramedia, 2013
- Departemen Agama RI. *Al-Qur'an dan Terjemahnya*. Bandung: CV Penerbit J-
ART, 2005
- Halim, Siana. *Diktat: Time Series Analysis* .Surabaya, 2006
- Juanda, Bambang dan Junaidi, *Ekonometrika Deret Waktu: Teori dan Aplikasi*.
Bogor: IPB Press, 2012
- Lestari, Nofinda dan Nuri Wahyuningsih, “Peramalan Kunjungan Dengan
Pendekatan Model SARIMA”. *Sains dan Seni ITS1*, no. 1(2012): h.29-33
- Meliala, Melly Sari Br, “Sistem Aplikasi *Forecasting* Penjualan Elektronik pada
Toko Nasiaoanal Elektronik Kabanjahe dengan Metode Autoregressive
Integrated Moving Average (ARIMA)”. *Pelita Informatika Budi Darma4*, no.
1 (2014): h. 168-258
- Mendenhal, William dan James E. Reinmuth, *Statistik untuk Manajemen dan
Ekonomi*. Jakarta: Erlangga, 1982
- Nurhayati, Atik, dkk., “Peramalan Menggunakan Model ARIMA Musiman dan
Verivikasi Hasil Peramalan dengan Grafik Pengendalian Moving Range”.
Eksponensial4, no. 1 (2013): h. 55-61
- Panjaitan, Lukas, dkk., “Peramalan Hasil Produksi Aluminium Batang pada PT
Inalum dengan Metode ARIMA”. *Saintia1*, no. 1 (2013): h. 1-10

- Prasetya, Heri dan Fitri Lukiastruti. *Manajemen Operasi*. Yogyakarta: Medpress, 2009
- Putri, Nadia Utika, dkk., “Permasalahan Autokorelasi Pada Analisis Regresi Linear Sederhana”. *Matematika UNAND2*, no. 2: h. 26-34
- Rosadi, Dedi. *Analisis Ekonometrika & Runtun Waktu Terapan Dengan R: Aplikasi Untuk Bidang Ekonomi, Bisnis Dan Keuangan*. Yogyakarta: 2006
- Rosadi, Dedi. *Diktat: Pengantar Analisis Runtun Waktu*. Yogyakarta: Andi, 2011
- Samsiah, Dewi. “Analisis Data Runtun Waktu Menggunakan Model ARIMA (p,d,q)”. *Skripsi UIN Sunan Kalijaga*: h. 1-80
- Santoso, Singgih. *Statistik Parametrik: Konsep dan Aplikasi dengan SPSS*. Edisi Revisi. Jakarta: Alex Media Komputindo, 2014
- Shihab ,M. Quraish. *Tafsir Al-Misbah*. Jakarta: Lentera Hati, 2002
- Siagian, Dergibson dan Sugiarto, *Metode Statistika: untuk Bisnis dan Ekonomi*. Jakarta: Gramedia Pustaka Utama, 2000
- Suyitno, “Pengestimasi Parameter Model *Autoregresif* pada Analisis Deret Waktu Univariat”. *Mulawarman Scientifie*10, no. 2 (2011): h. 117-132
- Syafii dan Edyan Noveri, “Studi Peramalan (*Forecasting*) Kurva Beban Harian Listrik Jangka Pendek Menggunakan Metode *Autoregressive Integrated Moving Average* (ARIMA)”. *Andalas2*, no. 1 (2013): h. 65-73
- Tiro, Muhammad Arif, dkk. *Pengantar Teori Peluang*. Makassar: Andira Publisher, 2008
- Ukhra, Annisa. “Pemodelan dan Peramalan Data Deret Waktu dengan Metode *Seasonal ARIMA*”. *Matematika UNAND3*, no. 3: h. 59-67
- Wibowo, Yudi, dkk., ”Analisi Data Runtun Waktu Menggunakan Metode Wafalet Theresholding”. *Gaussian1*, no. 1 (2012): h. 249-258
- Widodo, “Analisis Pengaruh Antara Faktor Pendidikan, Motivasi Dan Budaya Kerja Terhadap Kinerja Pegawai Dalam Pelaksanaan Pelayanan Publik” (2013): h. 1-20

LAMPIRAN-LAMPIRAN

Lampiran 1 : Data jumlah penumpang naik dan turun di pelabuhan Kota Makassar dari tahun 2006 s/d 2014

NO	TAHUN	BULAN	PENUMPANG		JUMLAH NAIK + TURUN
			NAIK	TURUN	
1	2006	JANUARI	35698	23761	59459
2		FEBRUARI	28134	21013	49147
3		MARET	24774	19253	44027
4		APRIL	24316	19861	44177
5		MEI	25694	27766	53460
6		JUNI	27943	21900	49843
7		JULI	52264	36825	89089
8		AGUSTUS	27379	21607	48986
9		SEPTEMBER	38789	25284	64073
10		OKTOBER	44844	38980	83824
11		NOVEMBER	54206	40019	94225
12		DESEMBER	32052	29933	61985
13	2007	JANUARI	39689	29065	68754
14		FEBRUARI	32829	27516	60345
15		MARET	28693	23006	51699
16		APRIL	28171	22760	50931
17		MEI	32491	23335	55826
18		JUNI	32421	39184	71605
19		JULI	40858	56188	97046
20		AGUSTUS	33041	22846	55887
21		SEPTEMBER	25718	37389	63107
22		OKTOBER	61747	38146	99893
23		NOVEMBER	27625	34517	62142
24		DESEMBER	35540	32251	67791
25	2008	JANUARI	35947	24240	60187
26		FEBRUARI	26896	18261	45157
27		MARET	30917	20009	50926
28		APRIL	36600	23226	59826
29		MEI	33973	26148	60121
30		JUNI	46708	30764	77472
31		JULI	66406	44121	110527
32		AGUSTUS	51443	31031	82474
33		SEPTEMBER	51739	30492	82231
34		OKTOBER	71034	53371	124405
35		NOVEMBER	39189	34864	74053

36		DESEMBER	61189	47911	109100
37	2009	JANUARI	44615	29015	73630
38		FEBRUARI	26896	18261	45157
39		MARET	34569	23634	58203
40		APRIL	30399	22584	52983
41		MEI	29508	22404	51912
42		JUNI	50439	36710	87149
43		JULI	59599	39293	98892
44		AGUSTUS	50232	33144	83376
45		SEPTEMBER	50386	33315	83701
46		OKTOBER	51908	37088	88996
47		NOVEMBER	33752	29567	63319
48		DESEMBER	44141	35735	79876
49	2010	JANUARI	36605	27759	64364
50		FEBRUARI	18191	18339	36530
51		MARET	28294	17667	45961
52		APRIL	30399	22584	52983
53		MEI	19393	16302	35695
54		JUNI	26408	22450	48858
55		JULI	37635	26274	63909
56		AGUSTUS	42085	28663	70748
57		SEPTEMBER	44095	31874	75969
58		OKTOBER	46135	49090	95225
59		NOVEMBER	33219	23794	57013
60		DESEMBER	25164	24909	50073
61	2011	JANUARI	36984	27932	64916
62		FEBRUARI	33170	24181	57351
63		MARET	25013	20189	45202
64		APRIL	28350	22516	50866
65		MEI	25570	19432	45002
66		JUNI	29693	22228	51921
67		JULI	42468	31713	74181
68		AGUSTUS	62588	38574	101162
69		SEPTEMBER	56035	44049	100084
70		OKTOBER	57860	50499	108359
71		NOVEMBER	34981	31100	66081
72		DESEMBER	32868	25180	58048
73	2012	JANUARI	38808	30660	69468
74		FEBRUARI	41261	25172	66433
75		MARET	31816	23849	55665
76		APRIL	29068	23733	52801

77		MEI	29341	26257	55598
78		JUNI	32000	25551	57551
79		JULI	45407	35852	81259
80		AGUSTUS	66637	39709	106346
81		SEPTEMBER	70056	49131	119187
82		OKTOBER	61235	49356	110591
83		NOVEMBER	37383	34301	71684
84		DESEMBER	44072	35909	79981
85	2013	JANUARI	44072	35909	79981
86		FEBRUARI	40534	23737	64271
87		MARET	29858	19846	49704
88		APRIL	30502	23972	54474
89		MEI	30297	23718	54015
90		JUNI	30944	23036	53980
91		JULI	44281	34475	78756
92		AGUSTUS	70003	37472	107475
93		SEPTEMBER	65352	49657	115009
94		OKTOBER	39546	37230	76776
95		NOVEMBER	38020	29625	67645
96		DESEMBER	34814	23342	58156
97	2014	JANUARI	44287	26989	71276
98		FEBRUARI	32336	22619	54955
99		MARET	30327	28000	58327
100		APRIL	30344	24246	54590
101		MEI	34585	26672	61257
102		JUNI	57952	36585	94537
103		JULI	79207	41607	120814
104		AGUSTUS	72836	49460	122296
105		SEPTEMBER	37452	38865	76317
106		OKTOBER	45018	34870	79888
107		NOVEMBER	39247	28923	68170
108		DESEMBER	41732	32790	74522

Lampiran 2 : Hasil Diagram Deret Waktu, ACF dan PACF data penumpang naik

The SAS System

The ARIMA Procedure

Name of Variable = naik

Mean of Working Series 39974.39

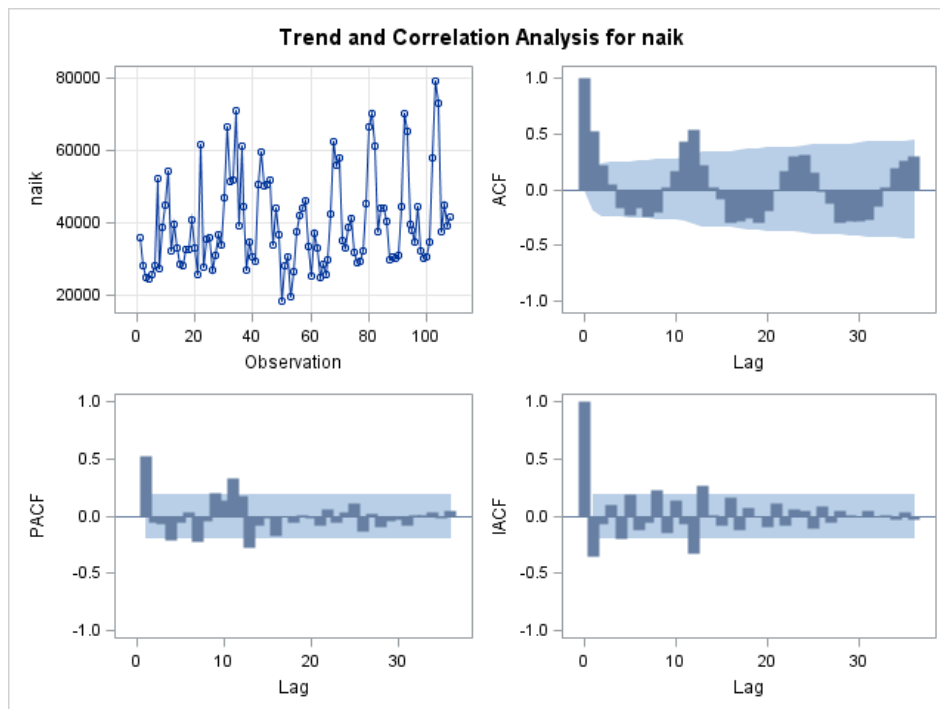
Standard Deviation 13007.45

Number of Observations 108

Autocorrelation Check for White Noise

To Lag	Chi-Square	DF	Pr > ChiSq	Autocorrelations					
6	47.58	6	<.0001	0.517	0.225	0.045	-0.169	-0.225	-0.158
12	121.46	12	<.0001	-0.247	-0.209	0.024	0.172	0.430	0.534
18	158.52	18	<.0001	0.213	0.015	-0.085	-0.295	-0.285	-0.255
24	205.19	24	<.0001	-0.295	-0.193	-0.006	0.160	0.295	0.318
30	248.07	30	<.0001	0.151	-0.021	-0.124	-0.294	-0.289	-0.280
36	294.27	36	<.0001	-0.272	-0.151	0.024	0.188	0.256	0.299

Trend and Correlation Analysis for naik



Autocorrelation Function: Naik

Lag	ACF	T	LBQ
1	0.517104	5.37	29.69
2	0.225438	1.89	35.38
3	0.044818	0.36	35.61
4	-0.168609	-1.37	38.86
5	-0.224556	-1.79	44.68
6	-0.158037	-1.22	47.58
7	-0.246763	-1.89	54.75
8	-0.208937	-1.55	59.93
9	0.024105	0.17	60.00
10	0.171657	1.24	63.57
11	0.430009	3.07	86.22
12	0.533663	3.52	121.46
13	0.212982	1.27	127.14
14	0.015435	0.09	127.17
15	-0.085053	-0.50	128.09
16	-0.294805	-1.72	139.31
17	-0.285353	-1.62	149.94
18	-0.254963	-1.42	158.52
19	-0.295080	-1.61	170.15
20	-0.192764	-1.03	175.16
21	-0.005806	-0.03	175.17
22	0.160418	0.85	178.72
23	0.295302	1.55	190.91
24	0.317791	1.63	205.19
25	0.151174	0.76	208.47
26	-0.020761	-0.10	208.53
27	-0.123714	-0.62	210.77
28	-0.294097	-1.46	223.62
29	-0.288586	-1.41	236.14
30	-0.279824	-1.34	248.07
31	-0.271876	-1.28	259.47
32	-0.151419	-0.70	263.05
33	0.024479	0.11	263.15
34	0.188464	0.87	268.85
35	0.256128	1.17	279.53
36	0.298920	1.35	294.27

Partial Autocorrelation Function: Naik

Lag	PACF	T
1	0.517104	5.37
2	-0.057273	-0.60
3	-0.066854	-0.69
4	-0.211433	-2.20
5	-0.051481	-0.54
6	0.029593	0.31
7	-0.220990	-2.30
8	-0.041810	-0.43
9	0.203249	2.11
10	0.130434	1.36
11	0.333593	3.47
12	0.175064	1.82
13	-0.280154	-2.91
14	-0.085028	-0.88
15	-0.012052	-0.13
16	-0.173404	-1.80
17	-0.007483	-0.08
18	-0.054035	-0.56
19	0.004904	0.05
20	-0.023952	-0.25
21	-0.086183	-0.90
22	0.062279	0.65
23	-0.062536	-0.65
24	0.036107	0.38
25	0.108644	1.13
26	-0.128433	-1.33
27	0.020207	0.21
28	-0.101574	-1.06
29	-0.048889	-0.51
30	-0.028011	-0.29
31	-0.077774	-0.81
32	0.005426	0.06
33	0.004970	0.05
34	0.031516	0.33
35	-0.014002	-0.15
36	0.047587	0.49

Lampiran 3 : Hasil Diagram Deret Waktu, ACF dan PACF data penumpang naik hasil diferensiasi satu non-musiman

The SAS System

The ARIMA Procedure

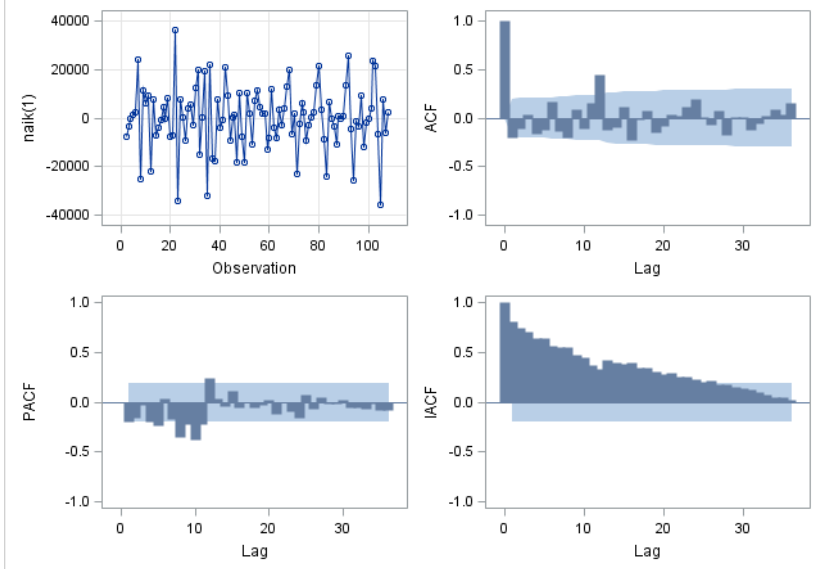
Name of Variable = naik

Period(s) of Differencing	1
Mean of Working Series	56.39252
Standard Deviation	12834.72
Number of Observations	107
Observation(s) eliminated by differencing	1

Autocorrelation Check for White Noise

To Lag	Chi-Square	DF	Pr > ChiSq	Autocorrelations					
6	14.33	6	0.0262	-0.200	-0.117	0.035	-0.167	-0.127	0.169
12	50.55	12	<.0001	-0.135	-0.199	0.090	-0.113	0.154	0.443
18	62.89	18	<.0001	-0.130	-0.102	0.110	-0.227	-0.019	0.076
24	74.47	24	<.0001	-0.149	-0.090	0.030	0.023	0.118	0.196
30	80.90	30	<.0001	0.004	-0.073	0.070	-0.183	0.002	0.007
36	89.01	36	<.0001	-0.120	-0.057	0.017	0.091	0.031	0.153

Trend and Correlation Analysis for naik(1)



Autocorrelation Function: C2

Lag	ACF	T	LBQ
1	-0.199871	-2.07	4.40
2	-0.116577	-1.16	5.90
3	0.034613	0.34	6.04
4	-0.166605	-1.64	9.18
5	-0.127214	-1.22	11.03
6	0.168942	1.60	14.33
7	-0.134927	-1.25	16.45
8	-0.199163	-1.81	21.12
9	0.090143	0.80	22.09
10	-0.112727	-0.99	23.62
11	0.153767	1.34	26.49
12	0.442715	3.79	50.55
13	-0.129654	-0.99	52.64
14	-0.101814	-0.77	53.94
15	0.110453	0.83	55.49
16	-0.226787	-1.69	62.08
17	-0.019198	-0.14	62.13
18	0.076498	0.55	62.89
19	-0.149485	-1.08	65.86
20	-0.089565	-0.64	66.93
21	0.030399	0.22	67.06
22	0.023101	0.16	67.13
23	0.118055	0.84	69.06
24	0.196114	1.39	74.47
25	0.003946	0.03	74.47
26	-0.073018	-0.51	75.24
27	0.070291	0.49	75.96
28	-0.182754	-1.26	80.89
29	0.001835	0.01	80.89
30	0.007064	0.05	80.90
31	-0.119937	-0.82	83.11
32	-0.057310	-0.39	83.62
33	0.016877	0.11	83.66
34	0.091174	0.62	84.99
35	0.031433	0.21	85.15
36	0.153277	1.03	89.01

Partial Autocorrelation Function: C2

Lag	PACF	T
1	-0.199871	-2.07
2	-0.163038	-1.69
3	-0.026830	-0.28
4	-0.196500	-2.03
5	-0.232086	-2.40
6	0.028351	0.29
7	-0.171836	-1.78
8	-0.347686	-3.60
9	-0.227420	-2.35
10	-0.385127	-3.98
11	-0.222187	-2.30
12	0.235168	2.43
13	0.032230	0.33
14	-0.039450	-0.41
15	0.113969	1.18
16	-0.051047	-0.53
17	-0.001728	-0.02
18	-0.060292	-0.62
19	-0.033078	-0.34
20	0.016480	0.17
21	-0.119066	-1.23
22	-0.006657	-0.07
23	-0.098899	-1.02
24	-0.165247	-1.71
25	0.068483	0.71
26	-0.072446	-0.75
27	0.042337	0.44
28	-0.015261	-0.16
29	-0.023147	-0.24
30	0.026616	0.28
31	-0.051037	-0.53
32	-0.053336	-0.55
33	-0.074956	-0.78
34	-0.023975	-0.25
35	-0.082421	-0.85
36	-0.084868	-0.88

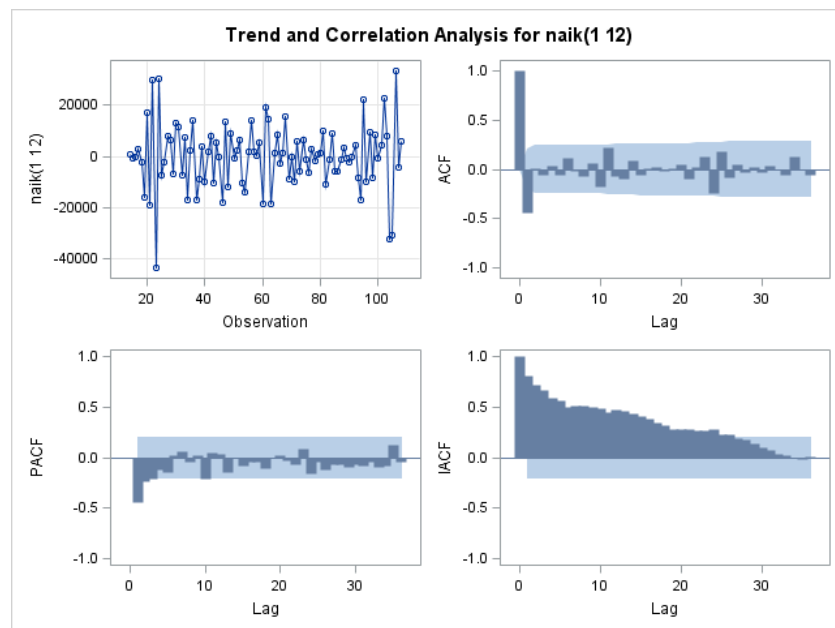
The SAS System

The ARIMA Procedure

Warning: The value of NLAG is larger than 25% of the series length. The asymptotic approximations used for correlation based statistics and confidence intervals may be poor.

Name of Variable = naik	
Period(s) of Differencing	1,12
Mean of Working Series	30.81053
Standard Deviation	12529.89
Number of Observations	95
Observation(s) eliminated by differencing	13

Autocorrelation Check for White Noise									
To Lag	Chi-Square	DF	Pr > ChiSq	Autocorrelations					
6	21.40	6	0.0016	-0.445	0.007	-0.054	0.035	-0.053	0.111
12	31.72	12	0.0015	-0.019	-0.073	0.058	-0.173	0.226	-0.069
18	33.96	18	0.0127	-0.096	0.083	-0.054	0.005	0.022	-0.019
24	45.36	24	0.0053	0.005	0.053	-0.092	0.025	0.127	-0.246
30	51.12	30	0.0095	0.175	-0.091	0.042	-0.030	0.027	-0.035
36	54.63	36	0.0240	0.036	-0.004	-0.060	0.122	-0.007	-0.059



Autocorrelation Function: C3

Lag	ACF	T	LBQ
1	-0.445001	-4.34	19.41
2	0.007042	0.06	19.42
3	-0.054376	-0.45	19.71
4	0.034978	0.29	19.84
5	-0.052856	-0.43	20.12
6	0.111020	0.91	21.40
7	-0.018837	-0.15	21.44
8	-0.073500	-0.60	22.01
9	0.058103	0.47	22.37
10	-0.172642	-1.40	25.60
11	0.225703	1.79	31.19
12	-0.068908	-0.53	31.72
13	-0.095549	-0.73	32.74
14	0.082854	0.63	33.52
15	-0.053760	-0.41	33.86
16	0.005113	0.04	33.86
17	0.022467	0.17	33.92
18	-0.018727	-0.14	33.96
19	0.005283	0.04	33.97
20	0.052779	0.40	34.31
21	-0.092194	-0.70	35.37
22	0.024589	0.18	35.44
23	0.126746	0.95	37.50
24	-0.246061	-1.83	45.36
25	0.174508	1.25	49.37
26	-0.090905	-0.64	50.47
27	0.042038	0.30	50.71
28	-0.030442	-0.21	50.84
29	0.027328	0.19	50.94
30	-0.035130	-0.25	51.12
31	0.035880	0.25	51.30
32	-0.004250	-0.03	51.30
33	-0.059950	-0.42	51.84
34	0.121622	0.85	54.07
35	-0.007393	-0.05	54.08
36	-0.059209	-0.41	54.63

Partial Autocorrelation Function: C3

Lag	PACF	T
1	-0.445001	-4.34
2	-0.238141	-2.32
3	-0.206835	-2.02
4	-0.120450	-1.17
5	-0.145842	-1.42
6	0.015113	0.15
7	0.053802	0.52
8	-0.045055	-0.44
9	0.021417	0.21
10	-0.212538	-2.07
11	0.047710	0.47
12	0.029892	0.29
13	-0.142732	-1.39
14	-0.001153	-0.01
15	-0.085174	-0.83
16	-0.044163	-0.43
17	-0.040042	-0.39
18	-0.104777	-1.02
19	0.001246	0.01
20	0.019469	0.19
21	-0.034965	-0.34
22	-0.063762	-0.62
23	0.087688	0.85
24	-0.157852	-1.54
25	-0.040100	-0.39
26	-0.120195	-1.17
27	-0.075518	-0.74
28	-0.075629	-0.74
29	-0.101762	-0.99
30	-0.063903	-0.62
31	-0.077038	-0.75
32	-0.044664	-0.44
33	-0.096803	-0.94
34	-0.077079	-0.75
35	0.129703	1.26
36	-0.044008	-0.43

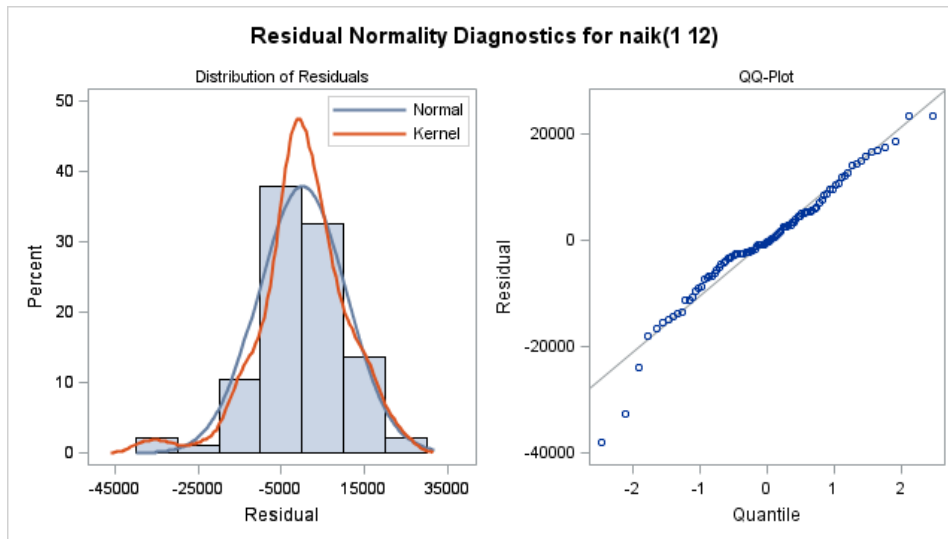
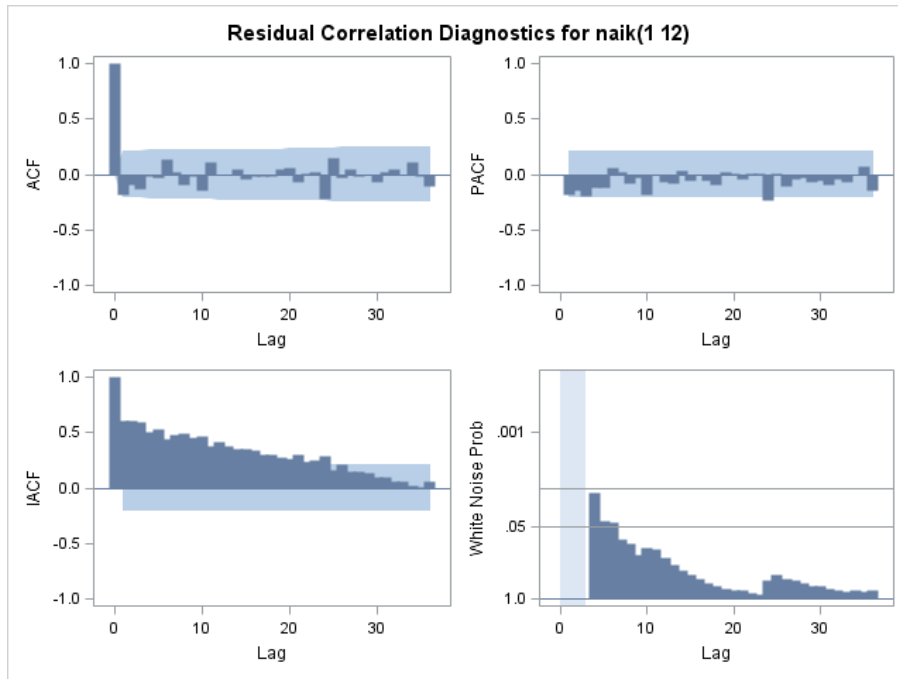
Lampiran 5 : ARIMA (0,1,1)(1,1,1)¹²

Unconditional Least Squares Estimation					
Parameter	Estimate	Standard Error	t Value	Approx Pr > t	Lag
MU	-23.24932	317.38141	-0.07	0.9418	0
MA1,1	0.43337	0.10495	4.13	<.0001	1
MA1,2	0.56663	0.18575	3.05	0.0030	12
AR1,1	0.34780	0.19960	1.74	0.0848	12

Constant Estimate	-15.1633
Variance Estimate	1.1458E8
Std Error Estimate	10704.16
AIC	2040.578
SBC	2050.794
Number of Residuals	95

Correlations of Parameter Estimates				
Parameter	MU	MA1,1	MA1,2	AR1,1
MU	1.000	0.007	0.033	0.018
MA1,1	0.007	1.000	0.087	-0.071
MA1,2	0.033	0.087	1.000	0.779
AR1,1	0.018	-0.071	0.779	1.000

Autocorrelation Check of Residuals									
To Lag	Chi-Square	DF	Pr > ChiSq	Autocorrelations					
6	8.26	3	0.0409	-0.187	-0.099	-0.137	-0.018	-0.034	0.133
12	12.60	9	0.1814	0.014	-0.090	-0.023	-0.142	0.105	0.001
18	13.12	15	0.5931	-0.004	0.046	-0.041	-0.015	-0.016	-0.013
24	20.80	21	0.4714	0.048	0.058	-0.065	0.013	0.015	-0.222
30	24.62	27	0.5957	0.144	-0.027	0.043	-0.014	-0.003	-0.071
36	28.54	33	0.6891	0.021	0.043	-0.003	0.111	-0.014	-0.104



Model for variable naik

Estimated Mean	-23.2493
Period(s) of Differencing	1,12

Autoregressive Factors

Factor 1: $1 - 0.3478 B^{**}(12)$

Moving Average Factors

Factor 1: $1 - 0.43337 B^{**}(1) - 0.56663 B^{**}(12)$

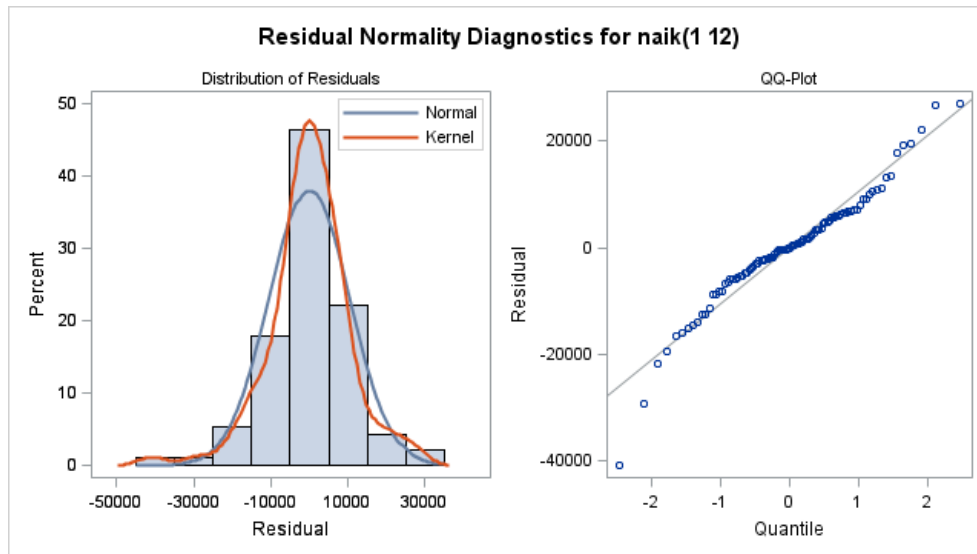
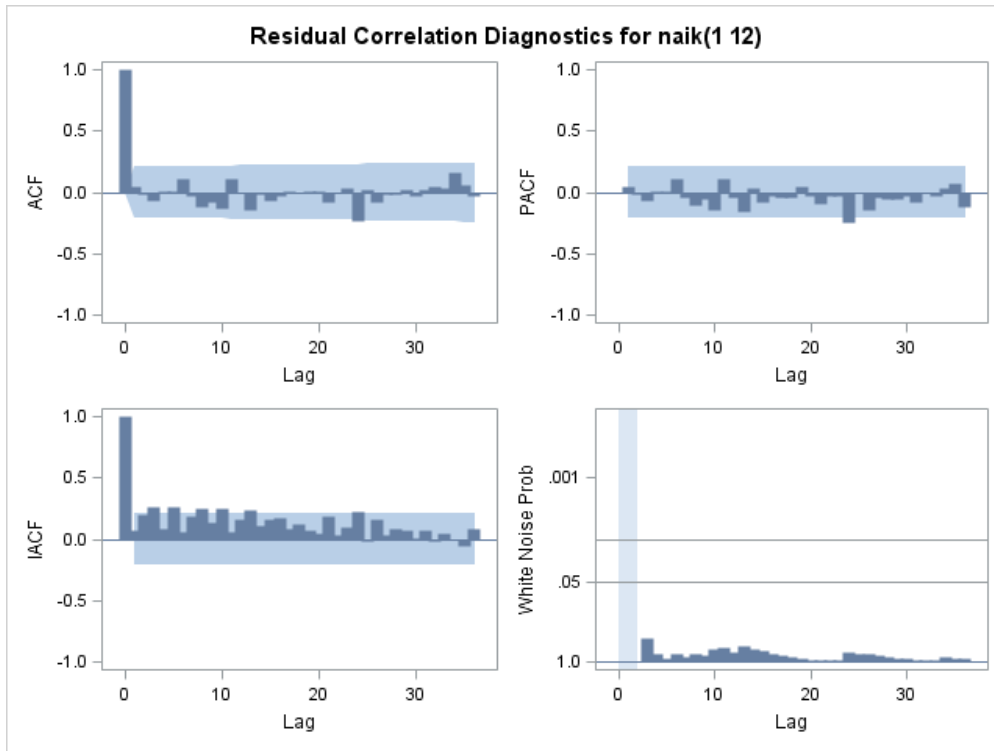
Lampiran 6 : ARIMA (0,1,1)(1,1,0)¹²

Unconditional Least Squares Estimation					
Parameter	Estimate	Standard Error	t Value	Approx Pr > t 	Lag
MU	-15.80744	295.99683	-0.05	0.9575	0
MA1,1	0.69663	0.07489	9.30	<.0001	1
AR1,1	-0.16840	0.12602	-1.34	0.1847	12

Constant Estimate	-18.4694
Variance Estimate	1.1282E8
Std Error Estimate	10621.74
AIC	2034.989
SBC	2042.65
Number of Residuals	95

Correlations of Parameter Estimates			
Parameter	MU	MA1,1	AR1,1
MU	1.000	0.010	0.032
MA1,1	0.010	1.000	-0.013
AR1,1	0.032	-0.013	1.000

Autocorrelation Check of Residuals										
To Lag	Chi-Square	DF	Pr > ChiSq	Autocorrelations						
6	1.88	4	0.7572	0.046	-0.018	-0.065	0.007	0.008	0.108	
12	7.42	10	0.6853	-0.036	-0.116	-0.079	-0.136	0.108	-0.007	
18	10.40	16	0.8447	-0.145	-0.021	-0.064	-0.028	0.004	-0.004	
24	18.31	22	0.6872	0.002	0.006	-0.087	-0.003	0.036	-0.229	
30	19.46	28	0.8832	0.018	-0.079	-0.015	-0.019	0.025	-0.026	
36	24.65	34	0.8801	0.020	0.046	0.035	0.161	0.061	-0.032	



Model for variable naik

Estimated Mean	-15.8074
Period(s) of Differencing	1,12

Autoregressive Factors

Factor 1: $1 + 0.1684 B^{**}(12)$

Moving Average Factors

Factor 1: $1 - 0.69663 B^{**}(1)$

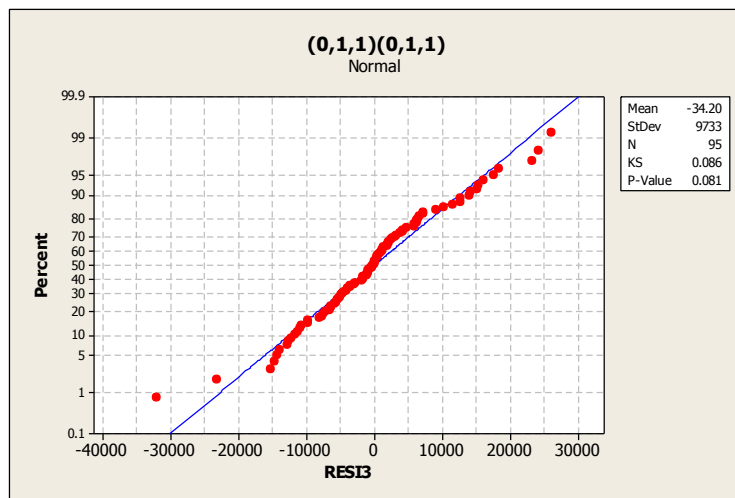
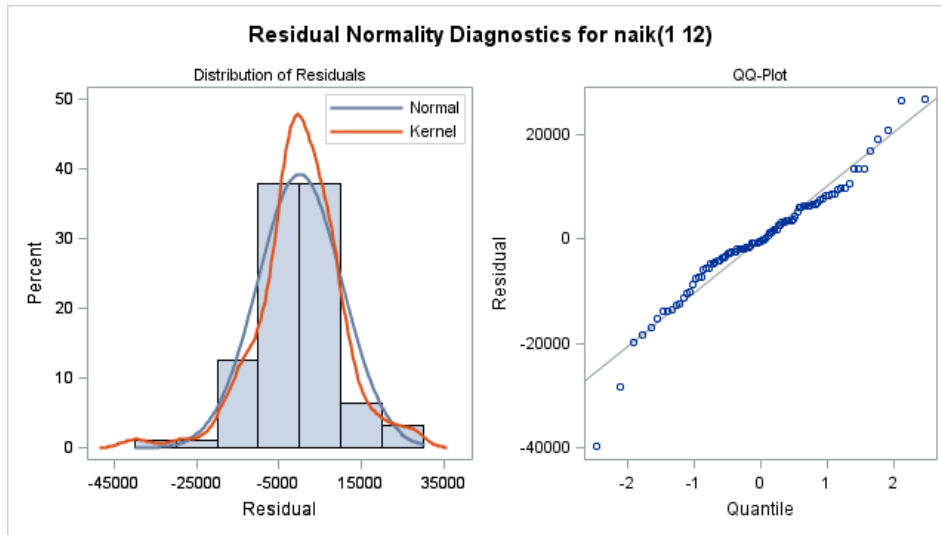
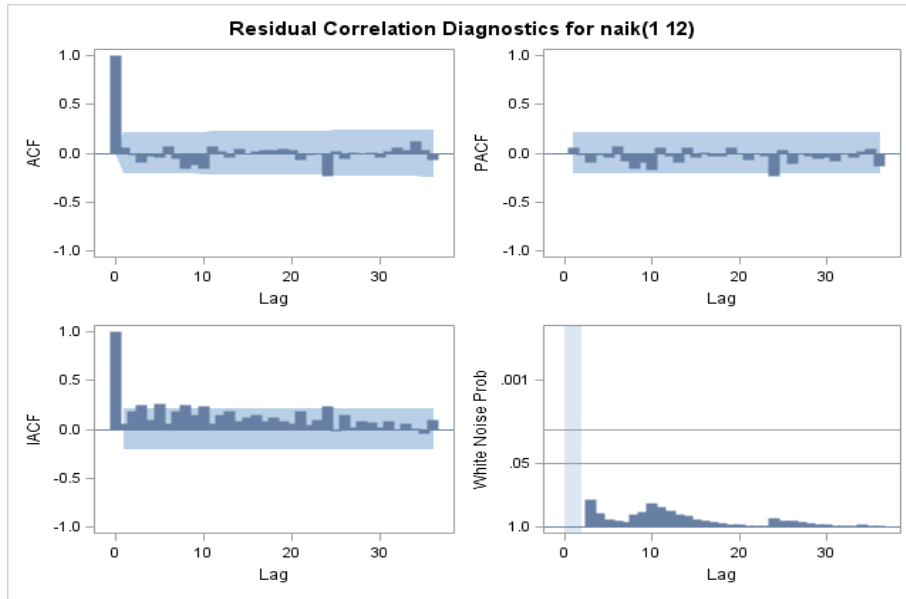
Lampiran 7: ARIMA (0,1,1)(0,1,1)¹²

Unconditional Least Squares Estimation					
Parameter	Estimate	Standard Error	t Value	Approx Pr > t	Lag
MU	-34.38253	125.70232	-0.27	0.7851	0
MA1,1	0.74675	0.08574	8.71	<.0001	1
MA1,2	0.25325	0.08586	2.95	0.0040	12

Constant Estimate	-34.3825
Variance Estimate	1.0555E8
Std Error Estimate	10273.7
AIC	2031.516
SBC	2039.177
Number of Residuals	95

Correlations of Parameter Estimates			
Parameter	MU	MA1,1	MA1,2
MU	1.000	-0.024	-0.053
MA1,1	-0.024	1.000	0.246
MA1,2	-0.053	0.246	1.000

Autocorrelation Check of Residuals									
To Lag	Chi-Square	DF	Pr > ChiSq	Autocorrelations					
6	2.04	4	0.7279	0.061	-0.013	-0.091	-0.034	-0.042	0.072
12	9.71	10	0.4659	-0.060	-0.154	-0.114	-0.162	0.068	0.019
18	10.49	16	0.8401	-0.043	0.049	-0.001	0.020	0.034	0.030
24	18.60	22	0.6700	0.043	0.034	-0.073	-0.019	-0.011	-0.232
30	19.45	28	0.8835	0.026	-0.059	0.007	-0.010	0.013	-0.043
36	23.28	34	0.9171	0.019	0.056	0.029	0.124	0.027	-0.069



Model for variable naik	
Estimated Mean	-34.3825
Period(s) of Differencing	1,12

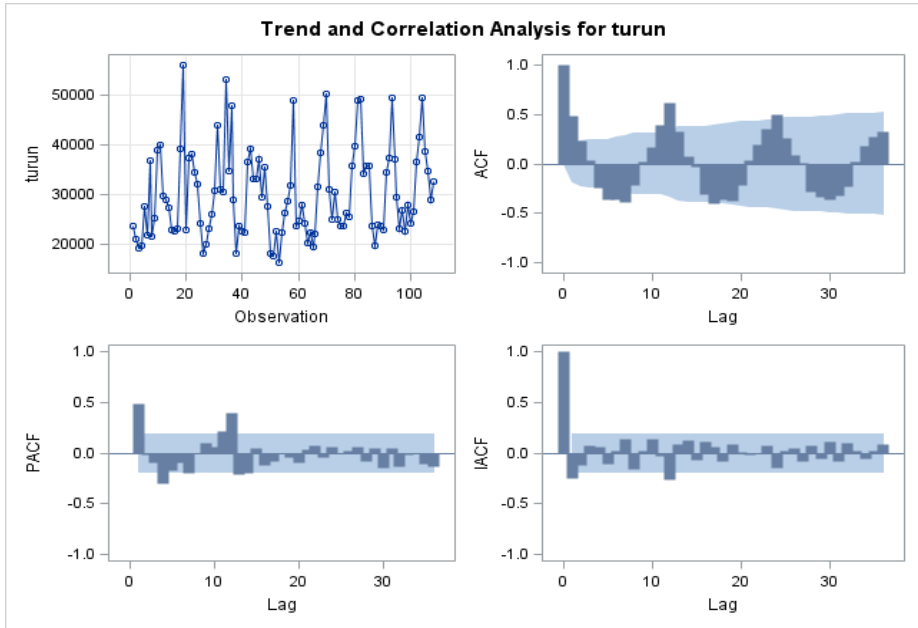
Moving Average Factors	
Factor 1:	$1 - 0.74675 B^{**}(1) - 0.25325 B^{**}(12)$

Lampiran 8 : Hasil diagram Deret Waktu, ACF dan PACF data penumpang turun

The SAS System

The ARIMA Procedure	
Name of Variable = turun	
Mean of Working Series	30352
Standard Deviation	8926.858
Number of Observations	108

Autocorrelation Check for White Noise									
To Lag	Chi-Square	DF	Pr > ChiSq	Autocorrelations					
6	69.37	6	<.0001	0.489	0.231	0.039	-0.244	-0.361	-0.356
12	163.39	12	<.0001	-0.385	-0.221	0.022	0.173	0.398	0.621
18	227.48	18	<.0001	0.320	0.079	-0.033	-0.311	-0.396	-0.363
24	310.85	24	<.0001	-0.377	-0.221	0.033	0.194	0.356	0.496
30	369.71	30	<.0001	0.261	0.087	0.004	-0.284	-0.331	-0.359
36	428.81	36	<.0001	-0.328	-0.227	0.023	0.176	0.276	0.320



Autocorrelation Function: Penumpang_Turun

Lag	ACF	T	LBQ
1	0.489333	5.09	26.59
2	0.230505	1.97	32.54
3	0.039116	0.32	32.71
4	-0.243823	-2.01	39.50
5	-0.361465	-2.88	54.57
6	-0.356432	-2.64	69.37
7	-0.384988	-2.68	86.80
8	-0.220724	-1.45	92.59
9	0.021658	0.14	92.65
10	0.172526	1.11	96.26
11	0.397514	2.52	115.61
12	0.621377	3.73	163.39
13	0.319557	1.71	176.16
14	0.079086	0.41	176.95
15	-0.033017	-0.17	177.09
16	-0.310785	-1.62	189.56
17	-0.396357	-2.02	210.07
18	-0.363132	-1.78	227.48
19	-0.376675	-1.80	246.42
20	-0.221463	-1.03	253.04
21	0.033228	0.15	253.19
22	0.193605	0.89	258.37
23	0.356219	1.62	276.10
24	0.495674	2.20	310.85
25	0.261002	1.11	320.60
26	0.086578	0.36	321.69
27	0.003945	0.02	321.69
28	-0.283610	-1.19	333.63
29	-0.330533	-1.37	350.06
30	-0.359195	-1.47	369.71
31	-0.328429	-1.31	386.36
32	-0.227359	-0.90	394.44
33	0.023241	0.09	394.52
34	0.176426	0.69	399.52
35	0.276373	1.08	411.95
36	0.319702	1.23	428.81

Partial Autocorrelation Function: Penumpang_Turun

Lag	PACF	T
1	0.489333	5.09
2	-0.011758	-0.12
3	-0.091066	-0.95
4	-0.300034	-3.12
5	-0.168637	-1.75
6	-0.093136	-0.97
7	-0.195812	-2.03
8	-0.009960	-0.10
9	0.099830	1.04
10	0.064657	0.67
11	0.218822	2.27
12	0.395330	4.11
13	-0.204979	-2.13
14	-0.197767	-2.06
15	0.045232	0.47
16	-0.117228	-1.22
17	-0.085258	-0.89
18	-0.005605	-0.06
19	-0.049391	-0.51
20	-0.097607	-1.01
21	0.027765	0.29
22	0.073994	0.77
23	-0.048802	-0.51
24	0.059865	0.62
25	-0.009839	-0.10
26	0.015642	0.16
27	0.059933	0.62
28	-0.080582	-0.84
29	0.042381	0.44
30	-0.151431	-1.57
31	0.044177	0.46
32	-0.137031	-1.42
33	-0.016850	-0.18
34	0.000501	0.01
35	-0.111319	-1.16
36	-0.131225	-1.36

Lampiran 9 : Hasil Diagram Deret Waktu, ACF dan PACF data Penumpang Turun hasil diferensiasi satu non-musiman

The SAS System

The ARIMA Procedure

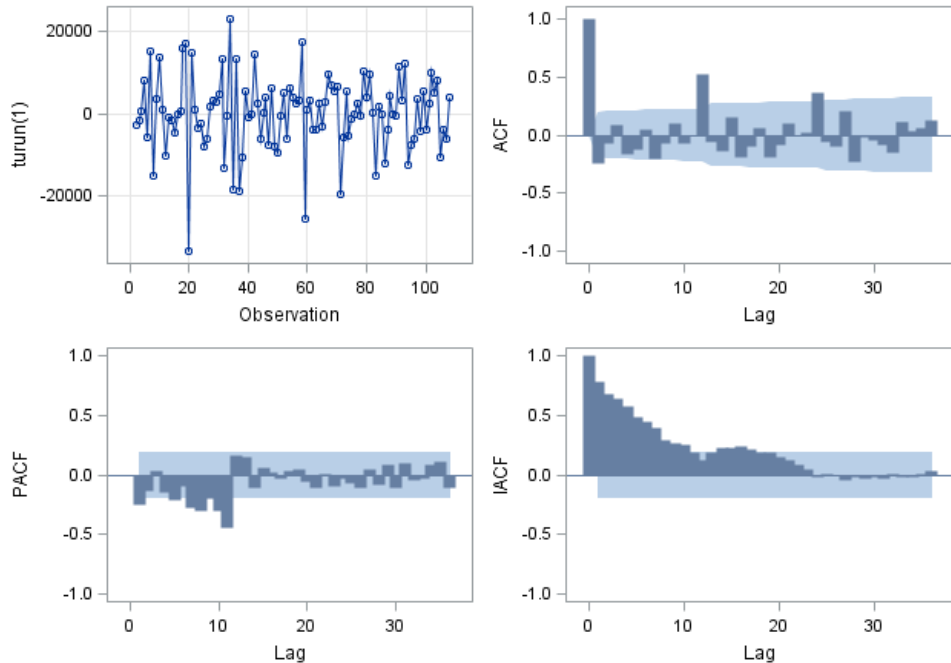
Name of Variable = turun

Period(s) of Differencing	1
Mean of Working Series	84.38318
Standard Deviation	9037.745
Number of Observations	107
Observation(s) eliminated by differencing	1

Autocorrelation Check for White Noise

To Lag	Chi-Square	DF	Pr > ChiSq	Autocorrelations					
6	13.13	6	0.0410	-0.249	-0.070	0.089	-0.160	-0.123	0.046
12	53.10	12	<.0001	-0.199	-0.073	0.099	-0.071	-0.008	0.518
18	65.33	18	<.0001	-0.063	-0.132	0.159	-0.186	-0.104	0.062
24	90.91	24	<.0001	-0.192	-0.087	0.095	-0.006	0.018	0.362
30	107.12	30	<.0001	-0.064	-0.094	0.204	-0.232	-0.013	-0.045
36	117.25	36	<.0001	-0.079	-0.147	0.113	0.038	0.064	0.132

Trend and Correlation Analysis for turun(1)



Autocorrelation Function: C2

Lag	ACF	T	LBQ
1	-0.249064	-2.58	6.83
2	-0.069548	-0.68	7.36
3	0.089310	0.87	8.26
4	-0.159980	-1.54	11.16
5	-0.123329	-1.16	12.89
6	0.045730	0.43	13.13
7	-0.198642	-1.85	17.74
8	-0.073471	-0.66	18.37
9	0.099496	0.89	19.55
10	-0.070543	-0.63	20.15
11	-0.007697	-0.07	20.15
12	0.518063	4.60	53.10
13	-0.063363	-0.48	53.60
14	-0.132079	-0.99	55.79
15	0.159212	1.18	59.00
16	-0.185578	-1.36	63.42
17	-0.104163	-0.75	64.82
18	0.062373	0.45	65.33
19	-0.191536	-1.37	70.20
20	-0.086950	-0.61	71.21
21	0.094755	0.67	72.43
22	-0.005939	-0.04	72.43
23	0.017647	0.12	72.47
24	0.362240	2.53	90.91
25	-0.063564	-0.42	91.49
26	-0.093574	-0.62	92.75
27	0.204009	1.34	98.82
28	-0.232280	-1.50	106.78
29	-0.013497	-0.09	106.81
30	-0.045419	-0.29	107.12
31	-0.079278	-0.50	108.09
32	-0.146911	-0.93	111.44
33	0.113408	0.71	113.47
34	0.038164	0.24	113.70
35	0.064199	0.40	114.37
36	0.132326	0.82	117.25

Partial Autocorrelation Function: C2

Lag	PACF	T
1	-0.249064	-2.58
2	-0.140283	-1.45
3	0.037650	0.39
4	-0.146724	-1.52
5	-0.211960	-2.19
6	-0.092734	-0.96
7	-0.271455	-2.81
8	-0.298699	-3.09
9	-0.203443	-2.10
10	-0.304253	-3.15
11	-0.445551	-4.61
12	0.162455	1.68
13	0.146103	1.51
14	-0.104359	-1.08
15	0.057500	0.59
16	0.026447	0.27
17	-0.027528	-0.28
18	0.039521	0.41
19	0.049049	0.51
20	-0.061761	-0.64
21	-0.111442	-1.15
22	0.005623	0.06
23	-0.100280	-1.04
24	-0.032256	-0.33
25	-0.063666	-0.66
26	-0.106119	-1.10
27	0.050783	0.53
28	-0.079830	-0.83
29	0.091071	0.94
30	-0.103646	-1.07
31	0.098414	1.02
32	-0.042164	-0.44
33	-0.029705	-0.31
34	0.084287	0.87
35	0.106527	1.10
36	-0.107553	-1.11

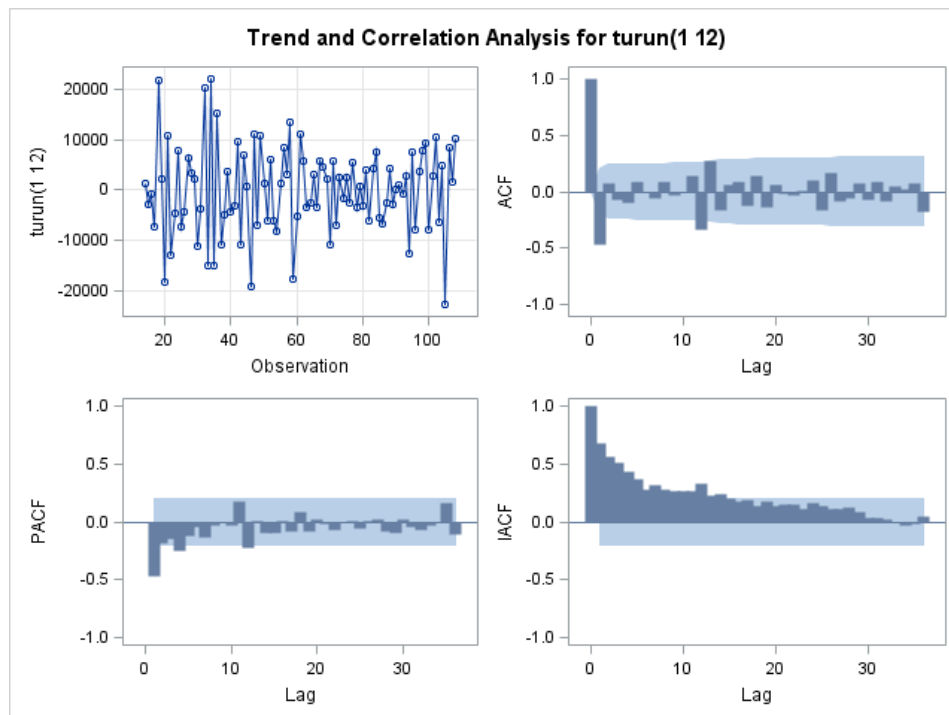
The SAS System

The ARIMA Procedure

Warning: The value of NLAG is larger than 25% of the series length. The asymptotic approximations used for correlation based statistics and confidence intervals may be poor.

Name of Variable = turun	
Period(s) of Differencing	1,12
Mean of Working Series	43.62105
Standard Deviation	8653.753
Number of Observations	95
Observation(s) eliminated by differencing	13

Autocorrelation Check for White Noise									
To Lag	Chi-Square	DF	Pr > ChiSq	Autocorrelations					
6	24.66	6	0.0004	-0.471	0.079	-0.065	-0.099	0.092	-0.005
12	40.29	12	<.0001	-0.057	0.086	-0.036	-0.007	0.144	-0.330
18	57.11	18	<.0001	0.266	-0.170	0.065	0.084	-0.122	0.146
24	61.32	24	<.0001	-0.134	0.054	-0.014	-0.036	0.010	0.106
30	71.59	30	<.0001	-0.162	0.170	-0.090	-0.061	0.073	-0.065
36	79.86	36	<.0001	0.092	-0.084	0.048	0.022	0.068	-0.177



Autocorrelation Function: C3

Lag	ACF	T	LBQ
1	-0.471122	-4.59	21.76
2	0.079476	0.64	22.38
3	-0.064818	-0.52	22.81
4	-0.098629	-0.79	23.79
5	0.092253	0.74	24.66
6	-0.004532	-0.04	24.66
7	-0.057141	-0.45	25.01
8	0.085711	0.68	25.78
9	-0.036491	-0.29	25.93
10	-0.006719	-0.05	25.93
11	0.143834	1.14	28.20
12	-0.329923	-2.57	40.29
13	0.265760	1.94	48.22
14	-0.169576	-1.19	51.49
15	0.064617	0.45	51.98
16	0.083612	0.58	52.79
17	-0.122106	-0.84	54.55
18	0.146309	1.00	57.11
19	-0.134028	-0.91	59.29
20	0.054277	0.36	59.65
21	-0.014444	-0.10	59.68
22	-0.035849	-0.24	59.84
23	0.010003	0.07	59.86
24	0.146301	0.71	61.32
25	-0.162189	-1.08	64.78
26	0.169834	1.12	68.64
27	-0.090062	-0.58	69.74
28	-0.061178	-0.40	70.25
29	0.073166	0.47	71.00
30	-0.064866	-0.42	71.59
31	0.091565	0.59	72.80
32	-0.084342	-0.54	73.84
33	0.047761	0.30	74.18
34	0.021895	0.14	74.25
35	0.068092	0.43	74.97
36	-0.177066	-1.13	79.86

Partial Autocorrelation Function: C3

Lag	PACF	T
1	-0.471122	-4.59
2	-0.183127	-1.78
3	-0.142022	-1.38
4	-0.247708	-2.41
5	-0.121314	-1.18
6	-0.048499	-0.47
7	-0.134993	-1.32
8	-0.033143	-0.32
9	-0.002480	-0.02
10	-0.036445	-0.36
11	0.172440	1.68
12	-0.220635	-2.15
13	0.006170	0.06
14	-0.092416	-0.90
15	-0.092330	-0.90
16	0.010170	0.10
17	-0.076440	-0.75
18	0.088549	0.86
19	-0.082013	-0.80
20	0.024552	0.24
21	-0.019869	-0.19
22	-0.070677	-0.69
23	-0.009944	-0.10
24	0.001880	0.02
25	-0.052827	-0.51
26	0.007723	0.08
27	0.025178	0.25
28	-0.079966	-0.78
29	-0.089102	-0.87
30	0.015031	0.15
31	-0.037780	-0.37
32	-0.072869	-0.71
33	-0.029217	-0.28
34	-0.005120	-0.05
35	0.161184	1.57
36	-0.108285	-1.06

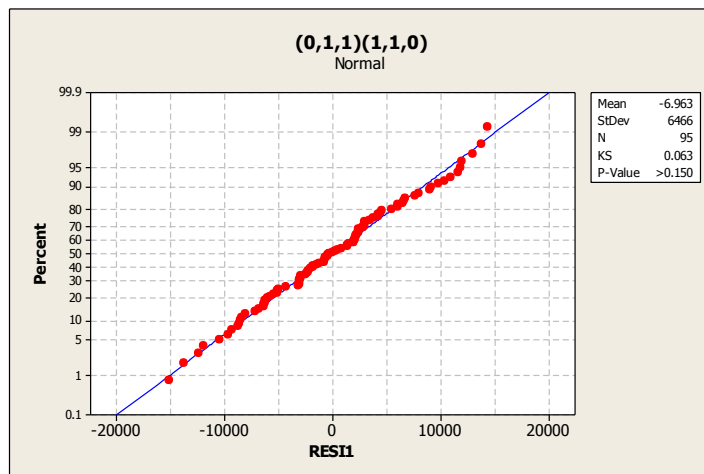
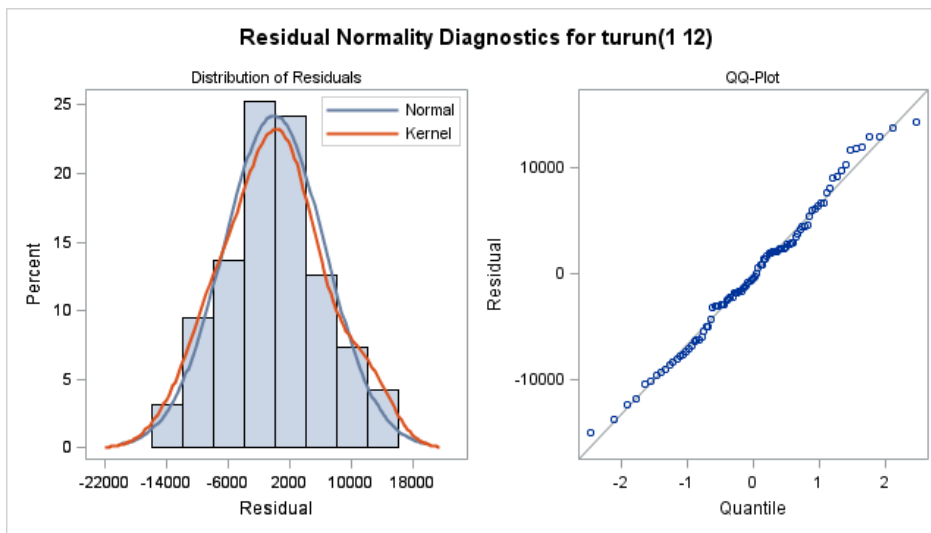
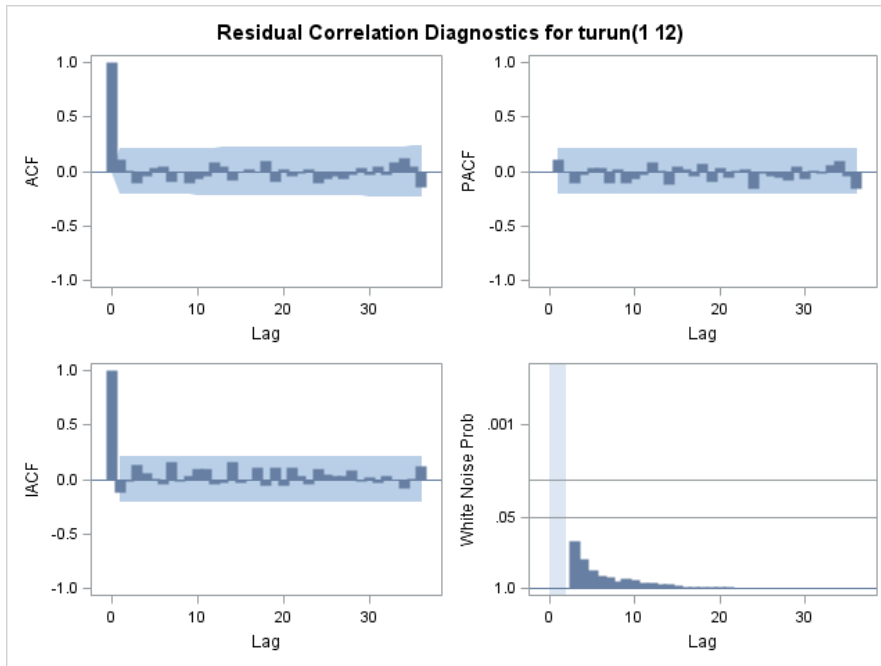
Lampiran 11: ARIMA (01,1)(1,1,0)¹²

Unconditional Least Squares Estimation					
Parameter	Estimate	Standard Error	t Value	Approx Pr > t 	Lag
MU	-29.73523	104.57917	-0.28	0.7768	0
MA1,1	0.79100	0.06554	12.07	<.0001	1
AR1,1	-0.49517	0.10235	-4.84	<.0001	12

Constant Estimate	-44.4592
Variance Estimate	44428990
Std Error Estimate	6665.507
AIC	1949.86
SBC	1957.522
Number of Residuals	95

Correlations of Parameter Estimates			
Parameter	MU	MA1,1	AR1,1
MU	1.000	-0.005	0.029
MA1,1	-0.005	1.000	-0.071
AR1,1	0.029	-0.071	1.000

Autocorrelation Check of Residuals									
To Lag	Chi-Square	DF	Pr > ChiSq			Autocorrelations			
6	2.83	4	0.5862	0.106	0.010	-0.107	-0.050	0.027	0.049
12	6.49	10	0.7723	-0.089	0.001	-0.112	-0.071	-0.041	0.083
18	8.47	16	0.9336	0.041	-0.082	-0.002	0.015	-0.009	0.091
24	11.47	22	0.9673	-0.091	0.018	-0.048	-0.020	0.021	-0.110
30	13.29	28	0.9915	-0.064	-0.043	-0.066	-0.030	0.037	-0.029
36	20.67	34	0.9649	0.047	-0.030	0.089	0.121	0.040	-0.145



Model for variable turun	
Estimated Mean	-29.7352
Period(s) of Differencing	1,12

Autoregressive Factors	
Factor 1:	$1 + 0.49517 B^{**}(12)$

Moving Average Factors	
Factor 1:	$1 - 0.791 B^{**}(1)$

Lampiran 12: hasil peramalan penumpang naik ARIMA (0,1,1)(0,1,1)¹²

Forecasts for variable naik						
Obs	Forecast	Std Error	95% Confidence Limits		Actual	Residual
14	32090.618	13083.4	6447.62	57733.6	32829	738.383
15	29094.628	11613.9	6331.73	51857.5	28693	-401.63
16	28435.305	11185.6	6511.84	50358.8	28171	-264.31
17	29681.116	11023.8	8074.85	51287.4	32491	2809.88
18	32883.186	10957	11407.9	54358.5	32421	-462.19
19	57011.048	10928.4	35591.7	78430.4	40858	-16153
20	26598.822	10916	5203.82	47993.8	33041	6442.18
21	40155.435	10910.6	18771.1	61539.8	25718	-14437
22	41297.755	10908.2	19918	62677.5	61747	20449.2
23	57529.121	10907.2	36151.4	78906.8	27625	-29904
24	25248.767	10906.7	3871.97	46625.6	35540	10291.2
25	36239.372	10763.1	15144	57334.7	35947	-292.37
26	28988.209	10762.9	7893.34	50083.1	26896	-2092.2
27	24067.297	10726.7	3043.4	45091.2	30917	6849.7
28	25680.597	10666.1	4775.51	46585.7	36600	10919.4
29	32638.784	10606.6	11850.3	53427.3	33973	1334.22
30	32841.075	10559.6	12144.6	53537.5	46708	13866.9
31	49133.958	10526.5	28502.3	69765.6	66406	17272
32	44921.917	10504.9	24332.7	65511.1	51443	6521.08
33	43048.533	10491.4	22485.8	63611.3	51739	8690.47
34	76769.746	10483.2	56223	97316.5	71034	-5735.7
35	48106.424	10478.3	27569.3	68643.5	39189	-8917.4
36	51302.817	10475.3	30771.6	71834	61189	9886.18
37	55061.460	10471.6	34537.5	75585.4	44615	-10446
38	44144.954	10468.3	23627.5	64662.4	26896	-17249
39	42102.272	10468.1	21585.1	62619.4	34569	-7533.3

40	43271.707	10466.7	22757.3	63786.1	30399	-12873
41	36810.724	10460.8	16307.9	57313.6	29508	-7302.7
42	44086.829	10450.7	23603.9	64569.8	50439	6352.17
43	61181.753	10438.2	40723.2	81640.3	59599	-1582.8
44	43929.799	10425.6	23495.9	64363.7	50232	6302.2
45	43518.628	10414.4	23106.7	63930.6	50386	6867.37
46	65824.776	10405.3	45430.8	86218.7	51908	-13917
47	32071.981	10398.2	11691.8	52452.1	33752	1680.02
48	51701.188	10393	31331.3	72071.1	44141	-7560.2
49	35229.818	10391.8	14862.2	55597.4	36605	1375.18
50	21836.211	10391.8	1468.7	42203.7	18191	-3645.2
51	30149.158	10391.8	9781.67	50516.6	28294	-1855.2
52	28515.227	10391.8	8147.74	48882.7	30399	1883.77
53	29894.517	10391.5	9527.47	50261.6	19393	-10502
54	46299.391	10390.5	25934.3	66664.5	26408	-19891
55	50247.537	10388.3	29886.8	70608.3	37635	-12613
56	35593.173	10384.9	15239.2	55947.1	42085	6491.83
57	35461.958	10380.4	15116.7	55807.2	44095	8633.04
58	42534.818	10375.5	22199.3	62870.4	46135	3600.18
59	24730.148	10370.5	4404.26	45056	33219	8488.85
60	39135.718	10366	18818.8	59452.7	25164	-13972
61	27337.416	10362.8	7026.66	47648.2	36984	9646.58
62	12246.467	10361.2	-8061	32554	33170	20923.5
63	28316.311	10360.4	8010.21	48622.4	25013	-3303.3
64	28991.212	10360.1	8685.71	49296.7	28350	-641.21
65	20381.430	10359.9	76.3102	40686.5	25570	5188.57
66	33800.884	10359.7	13496.2	54105.5	29693	-4107.9
67	47215.859	10359.3	26912.1	67519.7	42468	-4747.9
68	48896.995	10358.5	28594.7	69199.3	62588	13691
69	52512.747	10357.3	32212.9	72812.6	56035	3522.25
70	54702.286	10355.6	34405.8	74998.8	57860	3157.71
71	40594.022	10353.4	20301.7	60886.3	34981	-5613
72	34651.062	10350.9	14363.6	54938.5	32868	-1783.1
73	43672.225	10348.5	23389.5	63955	38808	-4864.2
74	33331.976	10346.5	13053.2	53610.8	41261	7929.02
75	28098.760	10345	7822.88	48374.6	31816	3717.24
76	32601.455	10344.1	12327.5	52875.4	29068	-3533.5
77	27591.933	10343.4	7319.2	47864.7	29341	1749.07
78	33215.790	10343	12943.9	53487.7	32000	-1215.8
79	46886.808	10342.6	26615.6	67158	45407	-1479.8
80	63178.754	10342.2	42908.3	83449.2	66637	3458.25

81	56627.435	10341.8	36357.9	76897	70056	13428.6
82	61199.340	10341.2	40931	81467.6	61235	35.66
83	39752.518	10340.3	19485.8	60019.2	37383	-2369.5
84	37483.206	10339.3	17218.6	57747.8	44072	6588.79
85	46428.009	10338	26165.8	66690.2	44072	-2356
86	46306.372	10336.7	26046.7	66566	40534	-5772.4
87	34411.799	10335.5	14154.6	54669	29858	-4553.8
88	31344.655	10334.4	11089.6	51599.7	30502	-842.65
89	30943.726	10333.5	10690.4	51197.1	30297	-646.73
90	33723.590	10332.8	13471.6	53975.6	30944	-2779.6
91	46756.417	10332.3	26505.5	67007.4	44281	-2475.4
92	66439.538	10331.9	46189.4	86689.6	70003	3563.46
93	67365.498	10331.5	47116.2	87614.8	65352	-2013.5
94	57933.723	10331.1	37685.2	78182.3	39546	-18388
95	29745.779	10330.6	9498.08	49993.5	38020	8274.22
96	36833.401	10330.1	16586.7	57080.1	34814	-2019.4
97	36779.582	10329.5	16534.1	57025.1	44287	7507.42
98	36570.624	10328.8	16326.5	56814.7	32336	-4234.6
99	25853.756	10328.1	5611.14	46096.4	30327	4473.24
100	27816.653	10327.3	7575.57	48057.7	30344	2527.35
101	28381.609	10326.5	8142	48621.2	34585	6203.39
102	31315.189	10325.8	11076.9	51553.5	57952	26636.8
103	52265.450	10325.3	32028.3	72502.6	79207	26941.6
104	84223.652	10324.7	63987.5	104460	72836	-11388
105	77191.466	10324.3	56956.2	97426.7	37452	-39739
106	45671.612	10323.9	25437.1	65906.1	45018	-653.61
107	41913.942	10323.6	21680.1	62147.7	39247	-2666.9
108	38529.414	10323.2	18296.3	58762.5	41732	3202.59
109	46530.317	10273.7	26817.2	67089.3	.	.
110	37071.497	10598	15300.6	56844.2	.	.
111	33128.819	10912.8	11551.1	54328.3	.	.
112	33351.723	11218.6	10325.7	54301.9	.	.
113	36499.672	11516.4	12402.6	57546	.	.
114	54294.051	11806.7	28429.2	74710.5	.	.
115	75371.468	12089.9	42212.4	89604.1	.	.
116	73763.509	12366.8	38021.3	86498.1	.	.
117	47897.918	12637.5	12037.6	61575.7	.	.
118	48114.139	12902.6	19214.9	69791.9	.	.
119	42894.934	13162.3	13577.1	65172.3	.	.
120	44064.522	13417	14725.2	67318.8	.	.
121	49468.494	16898.7	13088.1	79329.6	.	.

122	40009.674	17097.8	1782.56	68804.6	.	.
123	36066.997	17294.6	-1770.3	66023.3	.	.
124	36289.901	17489.2	-2812	65744.5	.	.
125	39437.850	17681.7	-563.18	68747.9	.	.
126	57232.228	17872.1	15624.8	85682.3	.	.
127	78309.645	18060.5	29559.6	100356	.	.
128	76701.686	18247	25511.1	97038	.	.
129	50836.096	18431.6	-338.03	71912.4	.	.
130	51052.316	18614.3	6966.2	79932.9	.	.
131	45833.112	18795.3	1448.4	75124.5	.	.
132	47002.699	18974.5	2710.03	77088.7	.	.

Lampiran 13: hasil peramalan penumpang turun ARIMA (0,1,1)(1,1,0)¹²

Forecasts for variable turun						
Obs	Forecast	Std Error	95% Confidence Limits		Actual	Residual
14	26287.2648	9782.142	7114.618	45459.91	27516	1228.7352
15	25128.4042	8546.109	8378.338	41878.47	23006	-2122.4042
16	24937.2741	8124.596	9013.359	40861.19	22760	-2177.2741
17	32171.0099	7927.759	16632.89	47709.13	23335	-8836.0099
18	23985.0967	7822.936	8652.425	39317.77	39184	15198.9033
19	42515.9512	7763.232	27300.3	57731.61	56188	13672.0488
20	30377.977	7727.926	15231.52	45524.43	22846	-7531.977
21	32365.3534	7706.584	17260.73	47469.98	37389	5023.6466
22	47117.0006	7693.51	32038	62196	38146	-8971.0006
23	46211.9599	7685.438	31148.78	61275.14	34517	-11694.9599
24	33619.995	7680.428	18566.63	48673.36	32251	-1368.995
25	32467.811	7158.51	18437.39	46498.23	24240	-8227.811
26	27695.4912	6937.297	14098.64	41292.34	18261	-9434.4912
27	21957.6818	6823.82	8583.241	35332.12	20009	-1948.6818
28	21612.1391	6760.465	8361.872	34862.41	23226	1613.8609
29	26145.1817	6723.423	12967.51	39322.85	26148	2.8183
30	31197.7177	6701.182	18063.64	44331.79	30764	-433.7177
31	47033.51	6687.614	33926.03	60140.99	44121	-2912.51
32	21997.6148	6679.257	8906.512	35088.72	31031	9033.3852
33	33032.9631	6674.078	19952.01	46113.92	30492	-2540.9631
34	39616.3067	6670.858	26541.67	52690.95	53371	13754.6933
35	41146.4307	6668.85	28075.72	54217.14	34864	-6282.4307
36	33645.7506	6667.597	20577.5	46714	47911	14265.2494
37	32115.7531	6666.814	19049.04	45182.47	29015	-3100.7531
38	27636.8925	6666.325	14571.14	40702.65	18261	-9375.8925

39	24280.3086	6666.019	11215.15	37345.47	23634	-646.3086
40	25602.9186	6665.827	12538.14	38667.7	22584	-3018.9186
41	26687.1213	6665.708	13622.57	39751.67	22404	-4283.1213
42	35925.5542	6665.633	22861.15	48989.95	36710	784.4458
43	51207.9523	6665.586	38143.64	64272.26	39293	-11914.9523
44	25554.8918	6665.557	12490.64	38619.14	33144	7589.1082
45	34025.782	6665.508	20961.63	47089.94	33315	-710.782
46	45757.6054	6665.508	32693.45	58821.76	37088	-8669.6054
47	32761.3794	6665.508	19697.22	45825.53	29567	-3194.3794
48	37513.7572	6665.508	24449.6	50577.91	35735	-1778.7572
49	23591.4773	6665.508	10527.32	36655.63	27759	4167.5227
50	16028.4555	6665.508	2964.301	29092.61	18339	2310.5445
51	20044.898	6665.508	6980.743	33109.05	17667	-2377.898
52	20566.36	6665.508	7502.205	33630.51	22584	2017.64
53	22299.5999	6665.508	9235.445	35363.75	16302	-5997.5999
54	30509.4595	6665.508	17445.3	43573.61	22450	-8059.4595
55	36698.5713	6665.508	23634.42	49762.73	26274	-10424.5713
56	24889.434	6665.508	11825.28	37953.59	28663	3773.566
57	25453.0653	6665.508	12388.91	38517.22	31874	6420.9347
58	39984.2901	6665.508	26920.14	53048.44	49090	9105.7099
59	28881.9463	6665.508	15817.79	41946.1	23794	-5087.9463
60	37348.4038	6665.508	24284.25	50412.56	24909	-12439.4038
61	21320.8894	6665.508	8256.735	34385.04	27932	6611.1106
62	12577.5709	6665.508	-486.584	25641.73	24181	11603.4291
63	17279.4939	6665.508	4215.339	30343.65	20189	2909.5061
64	19805.4274	6665.508	6741.273	32869.58	22516	2710.5726
65	17066.9998	6665.508	4002.845	30131.15	19432	2365.0002
66	27704.4198	6665.508	14640.27	40768.57	22228	-5476.4198
67	29724.9016	6665.508	16660.75	42789.06	31713	1988.0984
68	28257.1803	6665.508	15193.03	41321.33	38574	10316.8197
69	32074.5805	6665.508	19010.43	45138.74	44049	11974.4195
70	45092.1523	6665.508	32028	58156.31	50499	5406.8477
71	29683.3643	6665.508	16619.21	42747.52	31100	1416.6357
72	33552.0745	6665.508	20487.92	46616.23	25180	-8372.0745
73	29334.4989	6665.508	16270.34	42398.65	30660	1325.5011
74	23008.9419	6665.508	9944.787	36073.1	25172	2163.0581
75	21068.5208	6665.508	8004.366	34132.68	23849	2780.4792
76	25214.664	6665.508	12150.51	38278.82	23733	-1481.664
77	20192.9863	6665.508	7128.832	33257.14	26257	6064.0137
78	25871.6965	6665.508	12807.54	38935.85	25551	-320.6965
79	32442.0514	6665.508	19377.9	45506.21	35852	3409.9486

80	37756.8558	6665.508	24692.7	50821.01	39709	1952.1442
81	42474.3213	6665.508	29410.17	55538.48	49131	6656.6787
82	55602.092	6665.508	42537.94	68666.25	49356	-6246.092
83	31933.2001	6665.508	18869.05	44997.35	34301	2367.7999
84	29947.1286	6665.508	16882.97	43011.28	35909	5961.8714
85	35412.0447	6665.508	22347.89	48476.2	35909	496.9553
86	30843.5589	6665.508	17779.4	43907.71	23737	-7106.5589
87	26669.2436	6665.508	13605.09	39733.4	19846	-6823.2436
88	26292.4529	6665.508	13228.3	39356.61	23972	-2320.4529
89	25510.1099	6665.508	12445.96	38574.26	23718	-1792.1099
90	26119.1939	6665.508	13055.04	39183.35	23036	-3083.1939
91	35327.2989	6665.508	22263.14	48391.45	34475	-852.2989
92	40449.205	6665.508	27385.05	53513.36	37472	-2977.205
93	47250.0818	6665.508	34185.93	60314.24	49657	2406.9182
94	51016.0975	6665.508	37951.94	64080.25	37230	-13786.0975
95	30884.3716	6665.508	17820.22	43948.53	29625	-1259.3716
96	28457.0631	6665.508	15392.91	41521.22	23342	-5115.0631
97	30057.1094	6665.508	16992.95	43121.26	26989	-3068.1094
98	20509.1473	6665.508	7444.993	33573.3	22619	2109.8527
99	18286.2381	6665.508	5222.084	31350.39	28000	9713.7619
100	22297.4063	6665.508	9233.252	35361.56	24246	1948.5937
101	23781.7804	6665.508	10717.63	36845.94	26672	2890.2196
102	23647.4826	6665.508	10583.33	36711.64	36585	12937.5174
103	37182.414	6665.508	24118.26	50246.57	41607	4424.586
104	41485.5243	6665.508	28421.37	54549.68	49460	7974.4757
105	53924.5453	6665.508	40860.39	66988.7	38865	-15059.5453
106	44570.5947	6665.508	31506.44	57634.75	34870	-9700.5947
107	31204.724	6665.508	18140.57	44268.88	28923	-2281.724
108	28307.7847	6665.508	15243.63	41371.94	32790	4482.2153
109	27865.5922	6665.508	17977.05	44105.36	.	.
110	27739.8962	6809.525	9417.001	36109.85	.	.
111	31019.24419	6950.559	9885.897	37131.59	.	.
112	28305.91921	7088.787	9718.461	37505.99	.	.
113	30216.60816	7224.371	10507.2	38826.22	.	.
114	40384.77473	7357.457	14868.57	43709.27	.	.
115	53195.98904	7488.178	22767.41	57776.33	.	.
116	45280.4239	7616.656	27919.59	52120.53	.	.
117	42570.00866	7743.002	28312.49	58664.5	.	.
118	38590.34922	7867.32	19854.09	50693.41	.	.
119	32635.75304	7989.703	12801.77	44120.83	.	.
120	36506.51444	8110.24	11362.08	43153.64	.	.

121	31580.2441	9402.907	9707.084	46565.8	.	.
122	31455.47037	9633.756	2867.407	40631.04	.	.
123	34734.36168	9859.201	5421.856	44069.21	.	.
124	32021.26284	10079.61	3138.784	42650.11	.	.
125	33931.83981	10295.29	4405.205	44762.01	.	.
126	44100.06183	10506.55	11188.74	52373.66	.	.
127	56911.26228	10713.65	17342.04	66309.17	.	.
128	48995.68355	10916.81	23516.05	59338.76	.	.
129	46285.27517	11116.27	18157.69	61732.65	.	.
130	42305.61906	11312.21	11603.95	55946.98	.	.
131	36351.02123	11504.81	4798.092	49896.11	.	.
132	40221.78345	11694.24	5689.649	51530.22	.	.



TIM VALIDASI PROGRAM STUDI MATEMATIKA

Fakultas Sains dan Teknologi

Universitas Islam Negeri Alauddin Makassar

Kampus II : Jalan Sultan Alauddin No. 36, Romang Polong, Gowa. Telp:(0411) 8221400

SURAT KETERANGAN

VALIDASI PENILAIAN KELAYAKAN DAN SUSBTANSI PROGRAM

No : 037/Val / M / 358_2015

Yang bertanda tangan dibawah ini Tim Valiadasi penilaian kelayakan dan susbtansi program mahasiswa Jurusan Matematika, Fakultas Sains dan Teknologi, Universitas Islam Negeri Alauddin Makassar menerangkan bahwa karya ilmiah mahasiswa :

Nama

Wahida Yanti Moh. Nasir

NIM

60600111071

Jurusan

Matematika

Judul Karya ilmiah

“ Peramalan (*forecasting*) Jumlah Penumpang dari Pelayaran dalam Negri di Pelabuhan Kota Makassar dengan Metode *Seasonal Autoregressive Integrated Moving Average (SARIMA)* “

Berdasarkan hasil penelitian kelayakan dan substansi program mahasiswa bersangkutan dengan ini dinyatakan **Valid**.

Demikian surat keterangan ini dibuat untuk digunakan sebagaimana mestinya.

Makassar, 30 Juni 2015

Kepala TIM Validasi
Program Studi Matematika

Wahidah Alwi, S.Si, M.Si
NIP. 1979020 1200912 2 002



KEMENTERIAN AGAMA
UNIVERSITAS ISLAM NEGERI (UIN) ALAUDDIN MAKASSAR
FAKULTAS SAINS & TEKNOLOGI

Kampus I: Jl. Sultan Alauddin No. 63 Telp. 864924 (Fax 864923)
Kampus II: Jl. Sultan Alauddin No. 36 Telp. 5622375-424835 (Fax 424836)

Nomor : ST.VI.1/ PP.009/2064/2015
Perihal : Penting
Lamp : -
Hal : izin Penelitian
Untuk Menyusun Skripsi

Samata Gowa, 28 Mei 2015

Kepada Yth.
General Manager PT. Pelindo IV Cab. Makassar
Di -

Makassar

Assalamu Alaikum Wr. Wb

Dengan hormat kami sampaikan, bahwa mahasiswa UIN Alauddin Makassar yang tersebut namanya dibawah ini:

Nama	: Wahida Yanti Moh. Nasir
NIM	: 60600111071
Semester	: VIII
Fakultas	: Sains & Teknologi UIN Alauddin Makassar
Jurusan	: Matematika
Pembimbing	: 1. Try Azizah Nurman, S.Pd., M.Pd. 2. Faihatu Zuhairah, S.Si., M.Sc.

Bermaksud melakukan penelitian dalam rangka penyusunan skripsi berjudul **"Peramalan Jumlah Penumpang dari Pelayaran dalam Negeri di Pelabuhan Kota Makassar Menggunakan Metode Seasonal Autoregressive Integrated Moving Average"** sebagai salah satu syarat penyelesaian Studi akhir Sarjana/ S.1.

Untuk maksud tersebut kami mengharapkan kiranya kepada mahasiswa yang bersangkutan diberi izin untuk penelitian di **PT. Pelindo IV Cab. Makassar**.

Demikian harapan kami, atas perhatian dan kerjasamanya kami ucapkan terima kasih.



Muhammad Khalifah Mustami, M.Pd.
NIM 10412 200003 1 001



Nomor : 4 / k p . 2 0 1 / 2 / M k s - 2 0 1 5
Klasifikasi :
Lampiran :
Perihal : Telah Melaksanakan Izin Penelitian

Makassar, 22 JUN 2015

Kepada

Yth. Dekan Fakultas Sains & Tehnologi
Universitas Islam Negeri (UIN)
Alauddin Makassar

di

Makassar

1. Menunjuk surat saudara Nomor ST.VI.1/PP/009/2064/2015 tanggal 28 Mei 2015 perihal permohonan penelitian a.n. mahasiswa :

No	Nama	NIM	Jurusan
1.	Wahidah Yanti Moh.Nasir.	60600111071	Matematika

Dengan ini kami sampaikan bahwa mahasiswa tersebut telah melaksanakan penelitian pada Divisi PBAU PT Pelabuhan Indonesia IV (Persero) Cabang Makassar pada bulan Juni 2015;

2. Demikian disampaikan, atas kerja samanya diucapkan terima kasih.

a.n. GENERAL MANAGER
MANAGER SDM DAN UMUM,



PT. PELABUHAN INDONESIA IV (PERSERO)
CABANG MAKASSAR

Jl. Soekarno No. 1 Makassar 90173 Telepon (0411) 3616549 - 3619046
Fax (0411) 3619046 Kotak Pos 1070 Mks Website : www.inaport4.co.id

RIWAYAT HIDUP



Wahida Yanti Moh. Nasir, lahir di Tolitoli 07 Februari 1994. Anak pertama dari pasangan Moh. Nasir dan Hj. Darnawati Tahape. Mengawali pendidikan di SDN 23 Tolitoli pada tahun 1999-2005, kemudian di SMPN 1 Tolitoli pada tahun 2005-2008, lalu SMAN 1 Tolitoli pada tahun 2008-2011 dan tercatat sebagai mahasiswi Jurusan Matematika Fakultas Sains dan Teknologi di Perguruan Tinggi Islam “UIN Alauddin Makassar” pada September 2011- sekarang. Diangkat menjadi Asisten di Laboratorium Jurusan Matematika sejak tahun 2012-sekarang. melanjutkan studi dengan bantuan beasiswa dari pemerintah “BIDIKMISI” selama 8 Semester dan merupakan dewan kehormatan dalam organisasi “BIDIKMISI” UIN Alauddin Makassar “HIMABIM”, dimulai pada tahun 2012-2013 menjabat sebagai Wakil Sekretaris Umum dan pada tahun 2013-2014 menjabat sebagai Kepala Divisi Akhlak dan Moral.